

WISSENSCHAFTLICHE ERGEBNISSE
DER
DEUTSCHEN TIEFSEE-EXPEDITION

AUF DEM DAMPFER „VALDIVIA“ 1898-1899

IM AUFTRAGE DES REICHSAMTES DES INNERN

HERAUSGEGEBEN VON

CARL CHUN

PROFESSOR DER GEOLOGIE IN JENA
LEITER DER EXPEDITION

SECHSTER BAND

MIT EINEM ATLAS VON 58 TAFELN EINER TEXTTAFEL
UND 68 FIGUREN UND KARTEN IM TEXT

ATLAS



JENA

VERLAG VON GUSTAV FISCHER

1904

0 0301 0087697 5

WISSENSCHAFTLICHE ERGEBNISSE
DER
DEUTSCHEN TIEFSEE-EXPEDITION

AUF DEM DAMPFER „VALDIVIA“ 1898-1899

IM AUFTRAGE DES REICHSAMTES DES INNERN

HERAUSGEGEBEN VON

CARL CHUN

PROFESSOR DER ZOOLOGIE IN LEIPZIG

LEITER DER EXPEDITION

S E C H S T E R B A N D

ATLAS



J E N A
VERLAG VON GUSTAV FISCHER

1904

WISSENSCHAFTLICHE ERGEBNISSE DER DEUTSCHEN TIEFSEE-EXPEDITION
AUF DEM DAMPFER „VALDIVIA“ 1898-1899. BAND VI

BRACHYURA

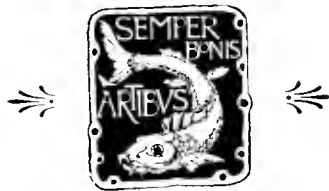
BEARBEITET VON

DR. FRANZ DOFLEIN

PRIVATDOZENT AN DER UNIVERSITÄT MÜNCHEN
II. KONSERVATOR DER ZOOLOGISCHEN STAATSSAMMLUNG

MIT 58 TAFELN, EINER TEXTTAFEL
UND 68 FIGUREN UND KARTEN IM TEXT

ATLAS



J E N A
VERLAG VON GUSTAV FISCHER

1904

Uebersetzungsrecht vorbehalten

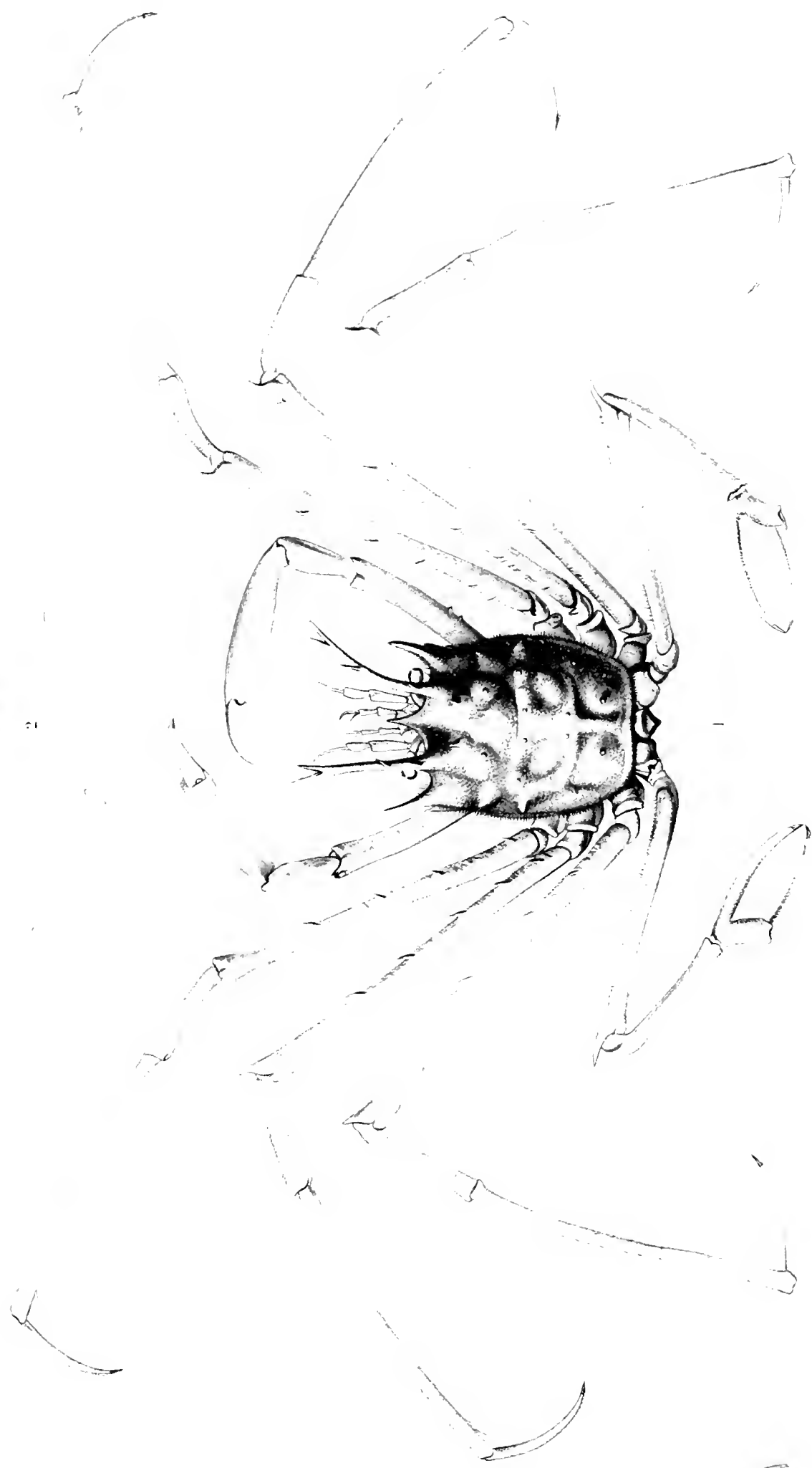
Tafel I.

Tafel I.

- Fig. 1. *Homolochunia Valdiviae* n. sp. Erwachsenen Exemplar, ♂. S. 4.
„ 2. Junges ♂. S. 6.

Beide in natürlicher Größe. Ostafrikanische Küste.

Gemalt von GUSEAV KELLER nach von F. WINTER während der Expedition nach dem Leben gemachten Farbenskizzen.



1 u. 2. *Homolochania valdiviae* n. g. n. sp. ♂ u. & juv.

Zeichn. von Oscar Reuter

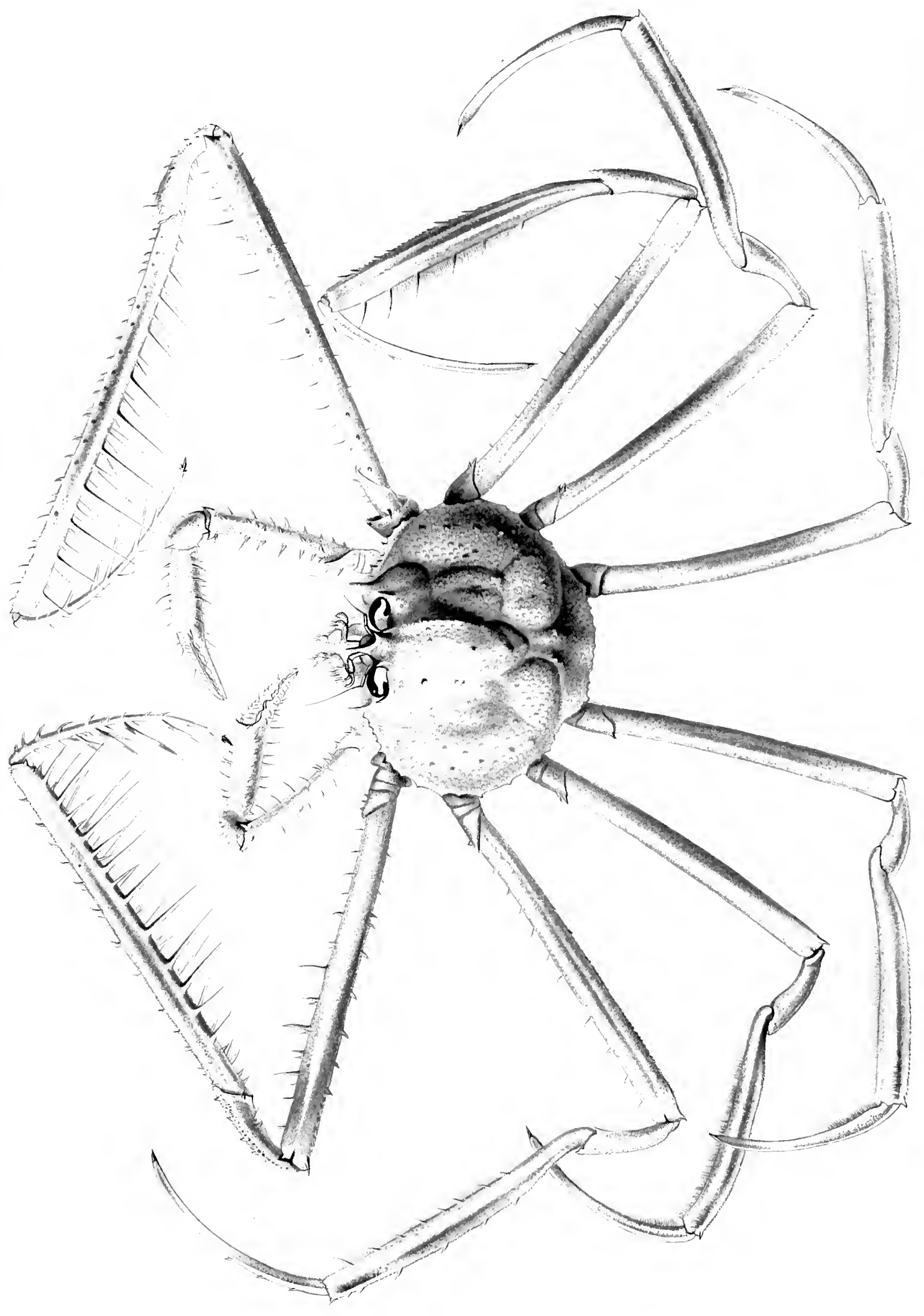


Tafel II.

Tafel II.

Platymaia Wyville-Thomsoni MIERS, ♂. Natürliche Größe. Westlich von Sumatra. S. 67.

Gemalt von GUSTAV KELLER nach einer von F. WINTER während der Expedition nach dem Leben angefertigten Farbenskizze.



Platymata eyville-thomsoni Miers ♀

Platymata eyville-thomsoni Miers ♀

Tafel III.



Geryon affinis M.-E. u. Bott.



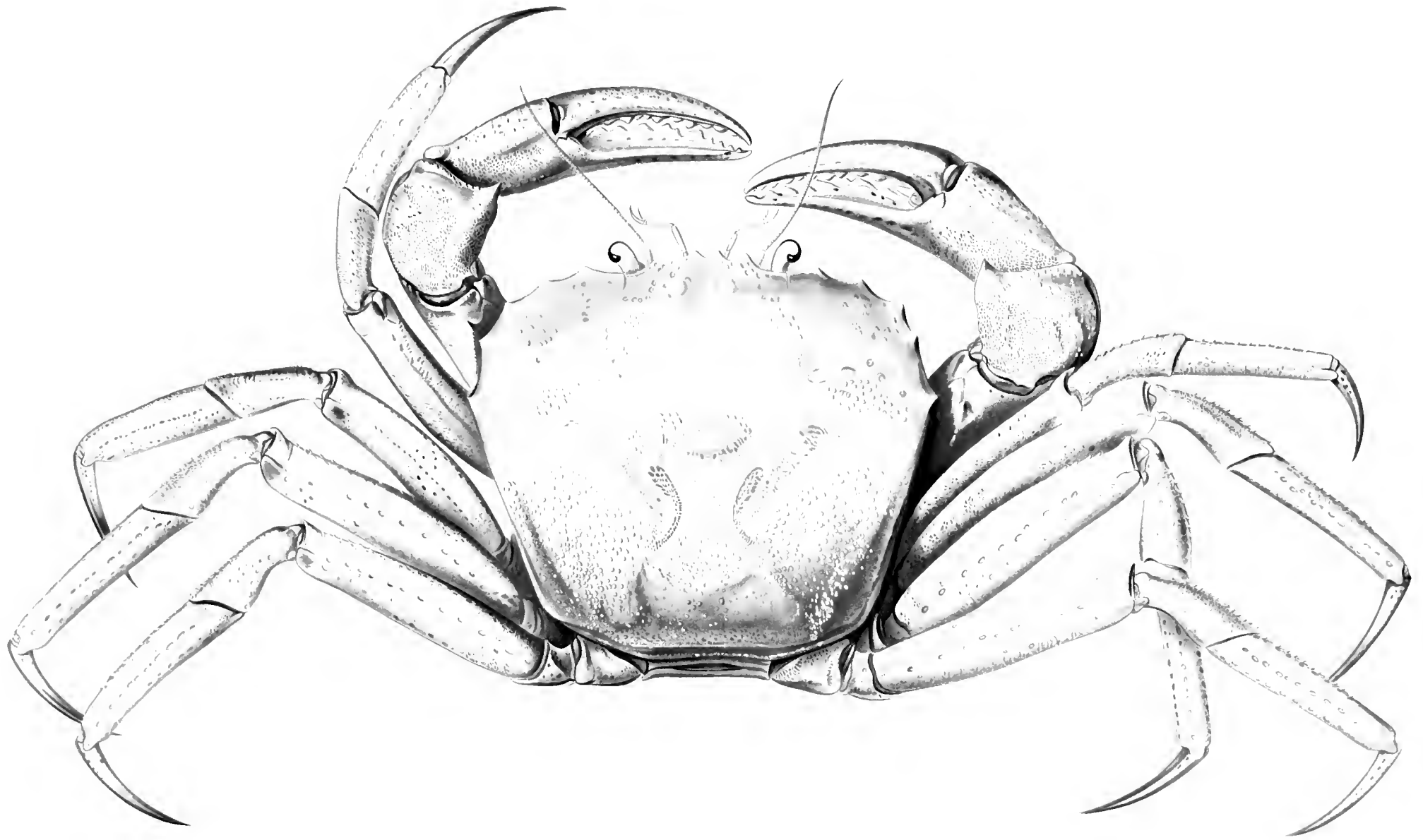
Tafel IV.

Tafel IV.

Gezyon affinis M.-E. u. BOUV, großes ♂. Ostafrikanische Küste. Natürliche Größe. S. 109.

Nach einer von F. WINTER während der Expedition nach dem Leben angefertigten
Farbenskizze gemalt von GUSTAV KELLER.





Tafel V.

Tafel V.

- Fig. 1. *Homolodromia Bouzvieri* n. sp., ♂, von oben. Ostafrikanische Küste. S. 4.
„ 2. Dasselbe Exemplar von unten.
„ 3. Dasselbe Exemplar mit gestrecktem Abdomen; zu beachten sind die männlichen Geschlechtsfüße.
„ 4. *Homola barbata orientalis* HEND., ♂. Exemplar von der Nordwestküste von Sumatra = *H. andamanica* ALCOCK. S. 14.
„ 5. *Homola barbata orientalis* HEND., ♂. Exemplar aus der Sagami-bai, Japan.



1



2



3



4



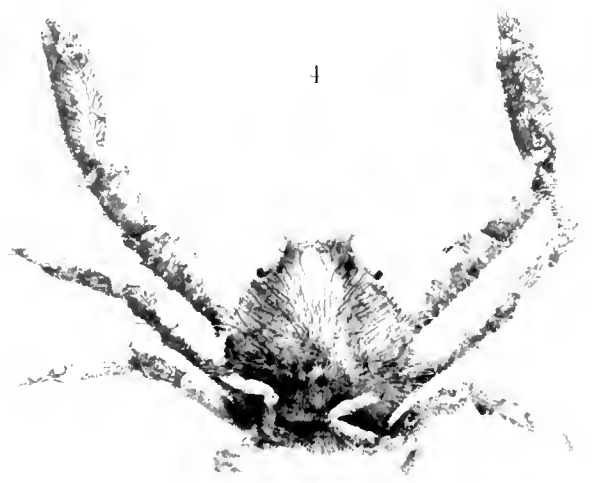
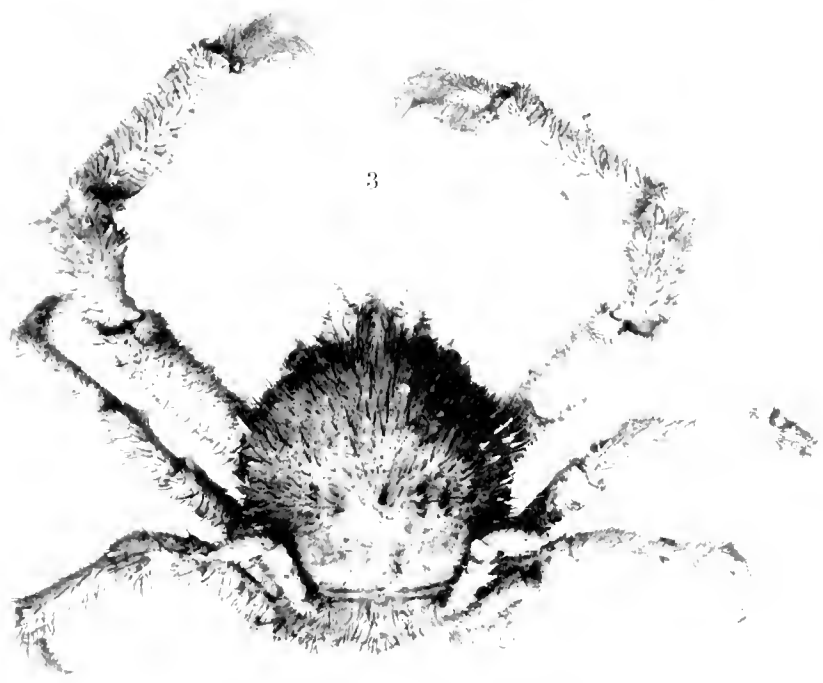
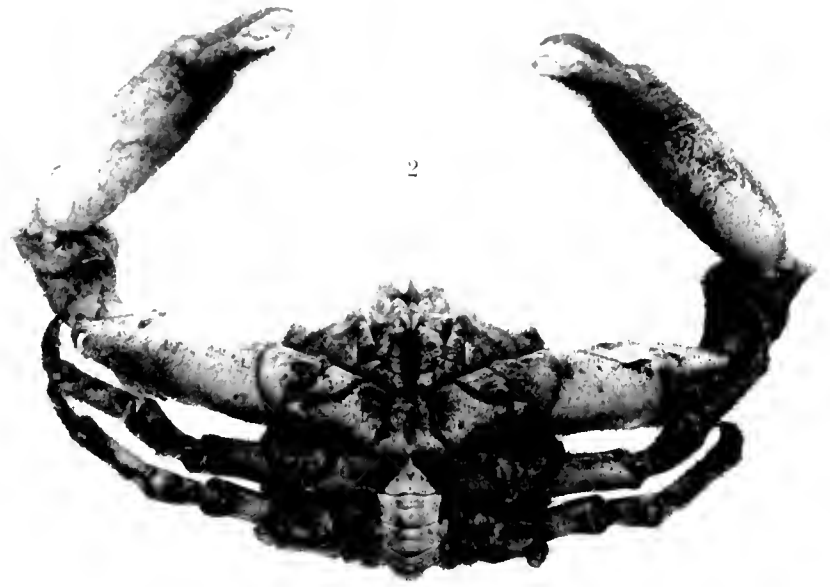
5

Homolodromia bouvieri n. sp. Fig. 1-3.
Homola barbata var. *orientalis* Hend. Fig. 4 & 5.

Tafel VI.

Tafel VI.

- Fig. 1. *Dromia spinosa* (STUDER), ♂, von oben. Vergr. 1,4 : 1. Kapregion. S. 9.
„ 2. Dasselbe Exemplar von unten. Vergr. 1,4 : 1.
„ 3. *Dromia bicornis* (STUDER), ♂, von oben. Vergr. 2,25 : 1. Kapregion. S. 8.
„ 4. *Dromia bicornis* (STUDER), ♂, kleines Exemplar, von oben. Vergr. 2,25 : 1.
„ 5. Dasselbe Exemplar wie Fig. 3 von unten. Vergr. 2,4 : 1.

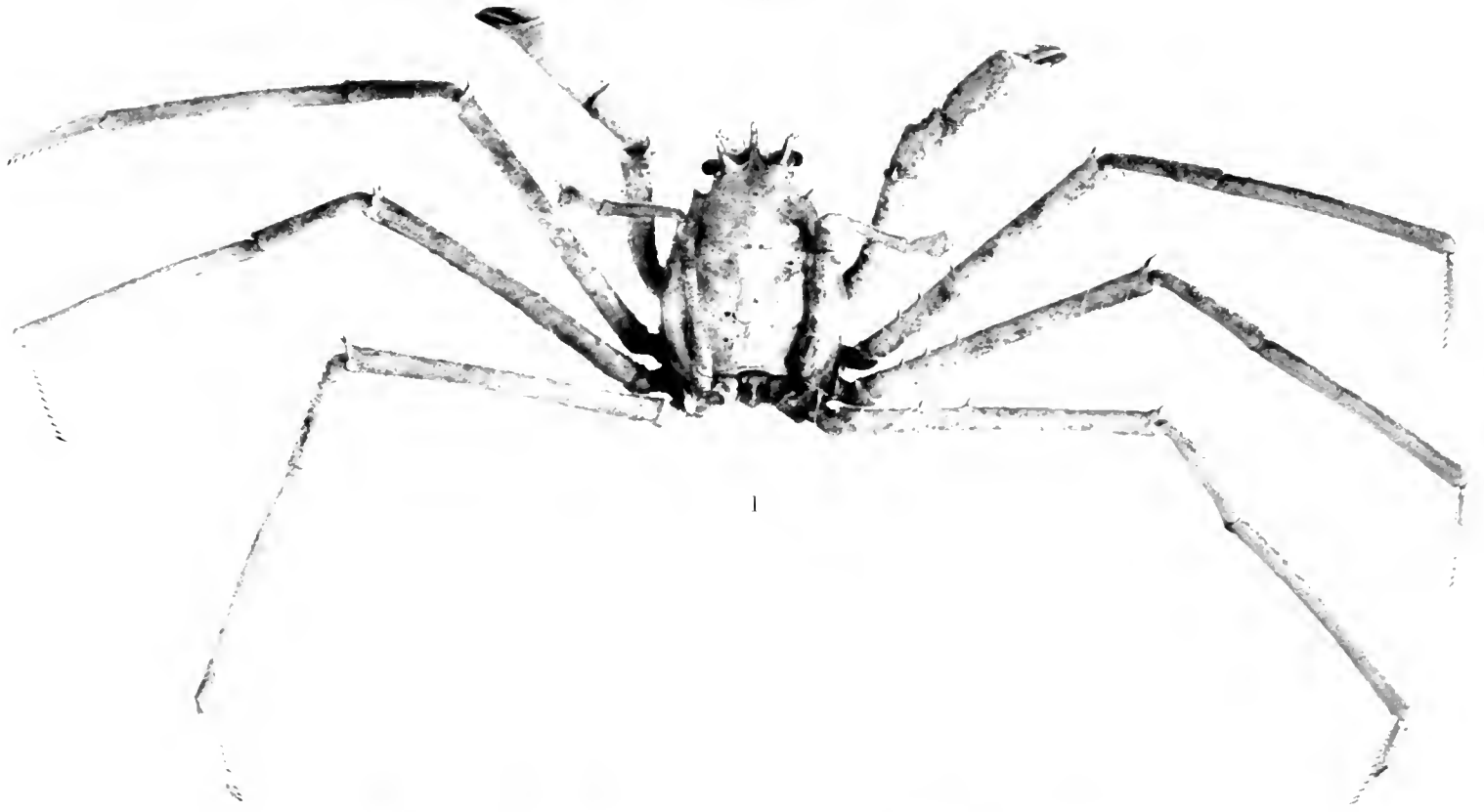


Dromia spinosa Studer Fig. 1 & 2. *Dromia bicornis* Studer Fig. 3 & 5.

Tafel VII.

Tafel VII.

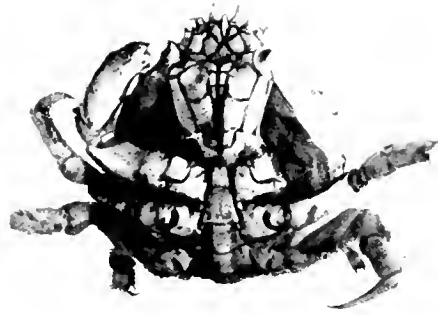
- Fig. 1. *Paramola profundorum* Alc. u. AND., ♂, von oben. Vergr. 1,4 : 1. Ostafrikanische Küste. S. 16.
- „ 2. Dasselbe Exemplar von unten. Vergr. 1,4 : 1.
- „ 3. *Dromia atlantica* n. sp., ♂, von oben. Vergr. 3,2 : 1. Kongomündung. S. 10.
- „ 4. Dasselbe Exemplar von unten. Vergr. 3,2 : 1.
- Fig. 3 u. 4 sind besonders an den Konturen ziemlich stark retouchiert, da sie wegen der hellen Färbung des Objektes sich schlecht vom weißen Hintergrund abhoben.



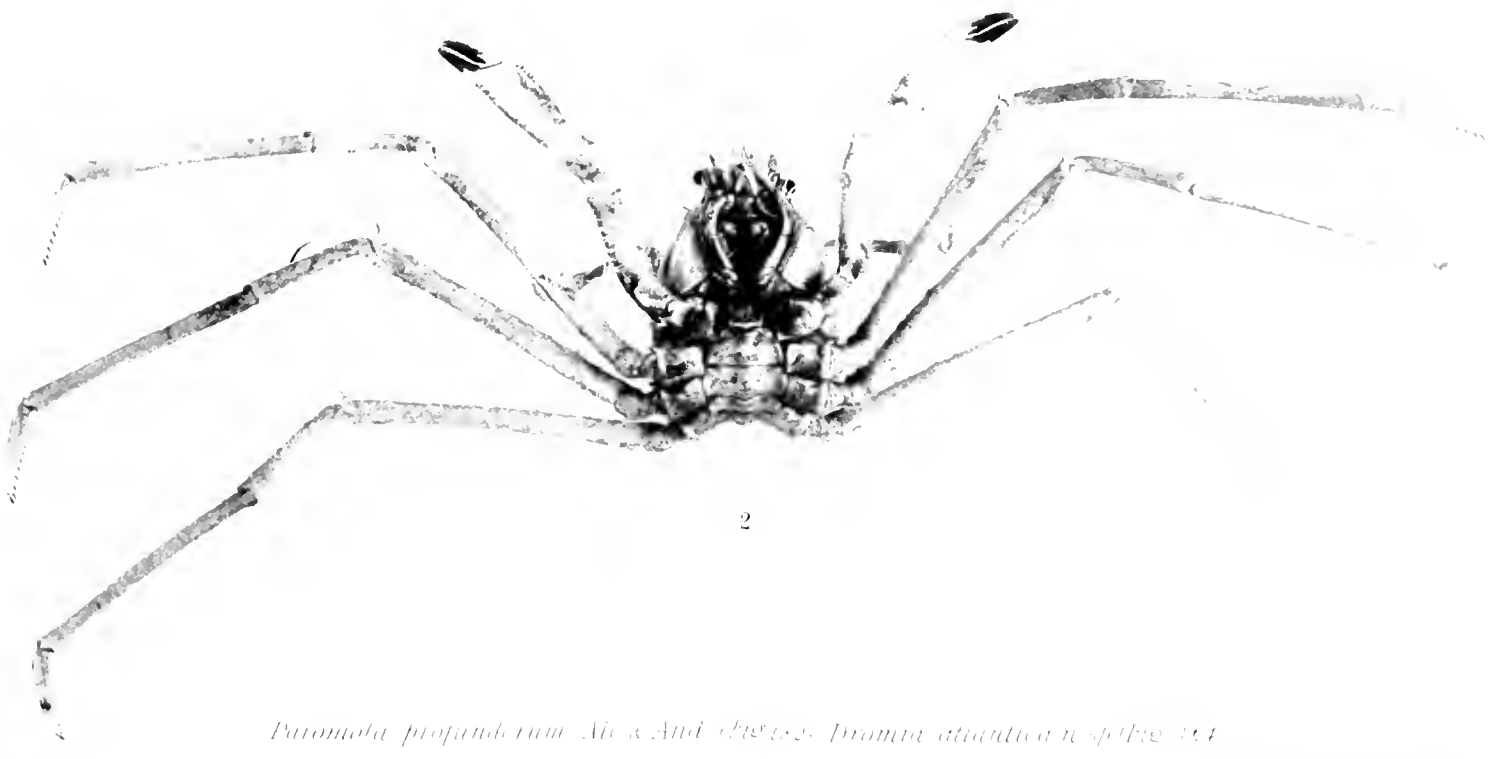
1



3



4



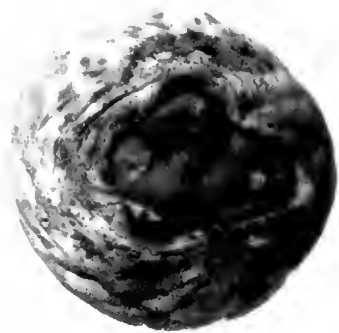
2

Paromola profundorum Alcock & Anderson, *Promia atlantica* n. sp. figs. 1, 2

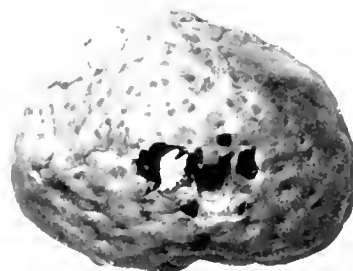
Tafel VIII.

Tafel VIII.

- Fig. 1. *Pseudodromia latens* SEM. in dem von *Synandrocarpa domunculus* gebildeten Gehäuse.
„ 2. Dasselbe.
„ 3. Dasselbe Tier, aus dem Gehäuse herausgenommen, ♂, von oben.
„ 4. ♂, von der Seite, stärker vergrößert.
„ 5. ♀, von unten.
„ 5a. Ein Pleopod desselben, Kapregion. S. 12.
„ 6. ♂, von unten. Ostafrika. S. 12.



1



2



5



3



5a



6



4

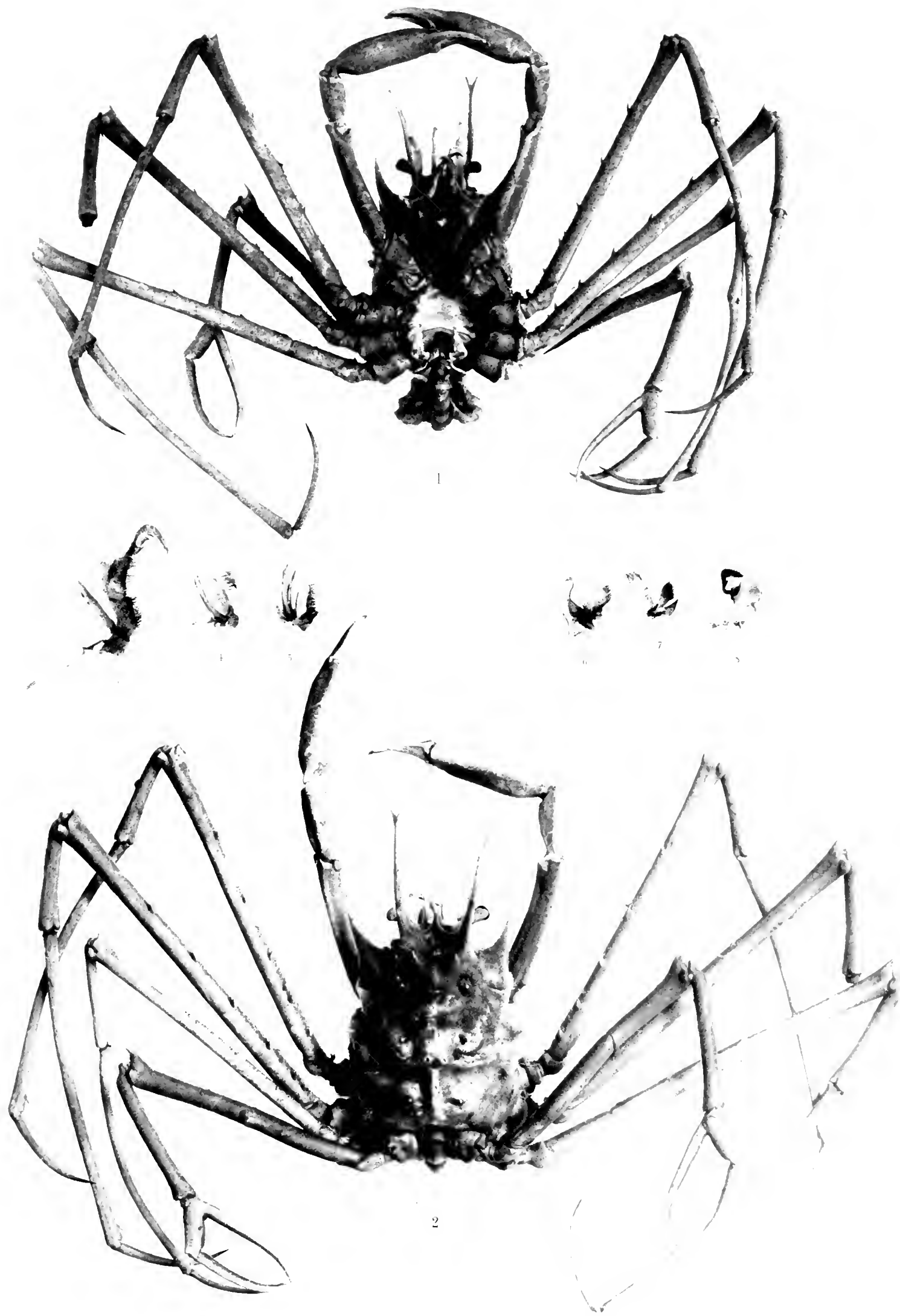
Pseudodromia latens Stimpson ♂ & ♀ (Fig. 1-6.)

Tafel IX.

Tafel IX.

- Fig. 1. *Homolochunia Valdiviac* n. g. n. sp., ♂, von unten S. 4.
„ 2. *Homolochunia Valdiviac*, dasselbe Exemplar von oben.
„ 3. 2. Gnathopod eines weiblichen Exemplars.
„ 4. 1. Gnathopod von demselben.
„ 5. 3. Maxille von demselben.
„ 6. 2. Maxille von demselben.
„ 7. 1. Maxille von demselben.
„ 8. Mandibel von demselben.

Beide von der ostafrikanischen Küste.

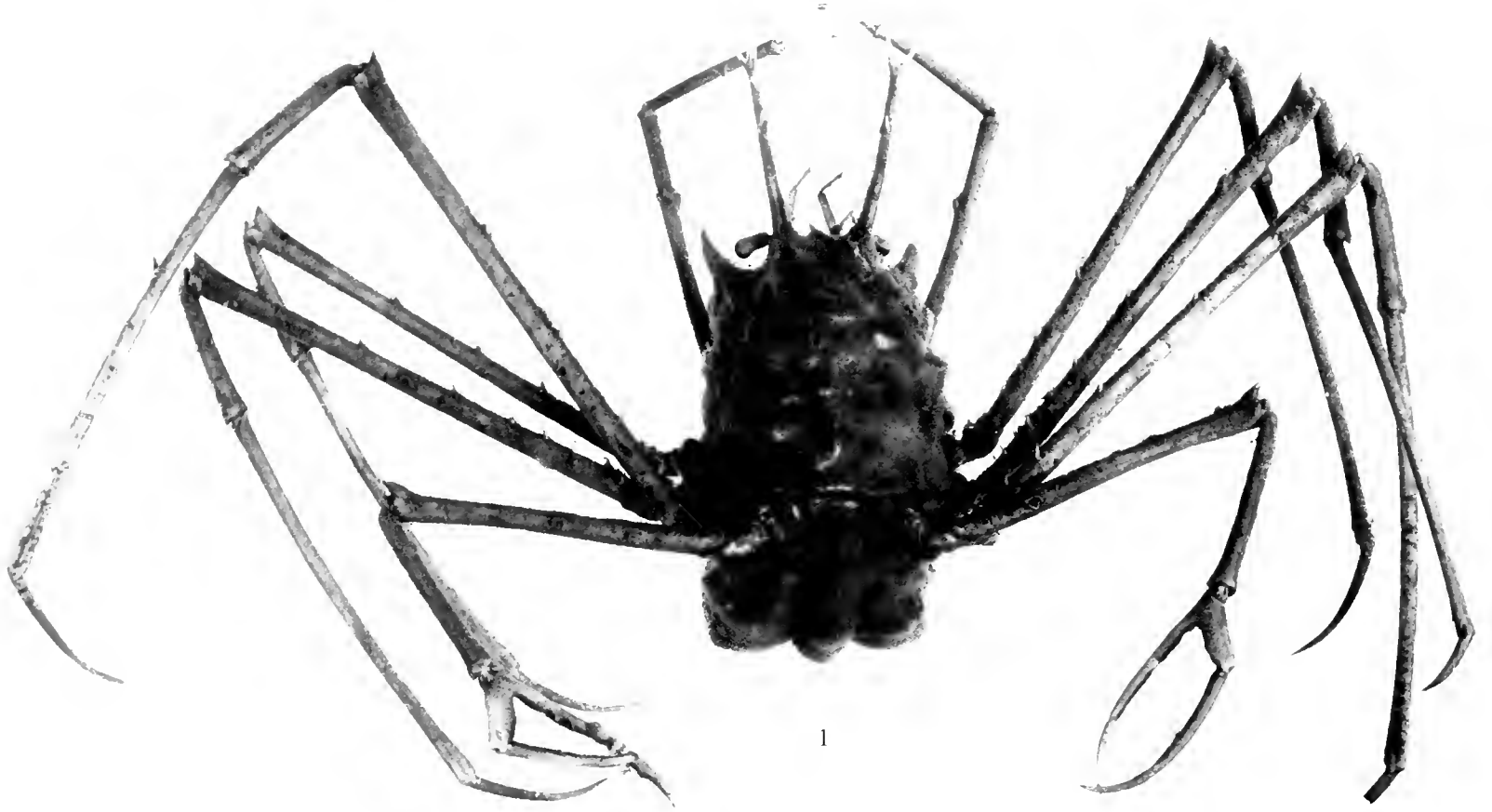


Homolochunia valdiviae n. g. n. sp. ♂.

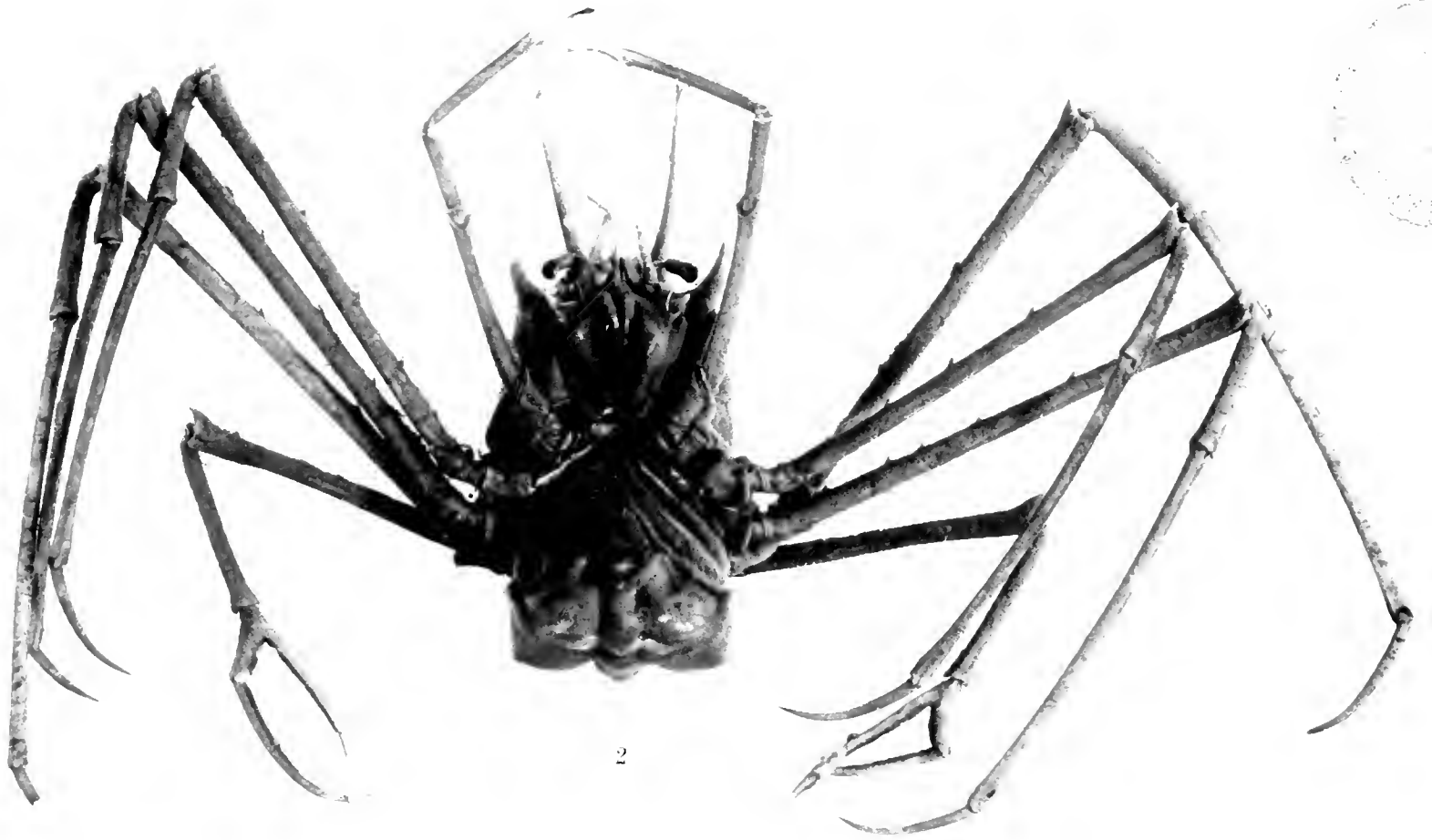
Tafel X.

Tafel X.

- Fig. 1. *Homolochunia Valdiviae* n. g. n. sp., ♀, mit Eiern. S. 4.
„ 2. Dasselbe Exemplar von unten.
Ostafrikanische Küste.



1



2

Homolochunia radditae n. g. n. sp. ♀

Tafel XI.

Tafel XI.

- Fig. 1. *Hypsophrys longipes* ALC. u. AND., ♀, Westlich von Sumatra. S. 17.
„ 2. Dasselbe Exemplar von unten. S. 17.
„ 3. *Homologenus Braueri* n. sp., ♂, Ostafrika. S. 18.
„ 4. Dasselbe Exemplar von unten. S. 18.
„ 5. *Cymonomus granulatus* Valdivia LANKESTER, Ostafrika. S. 33.

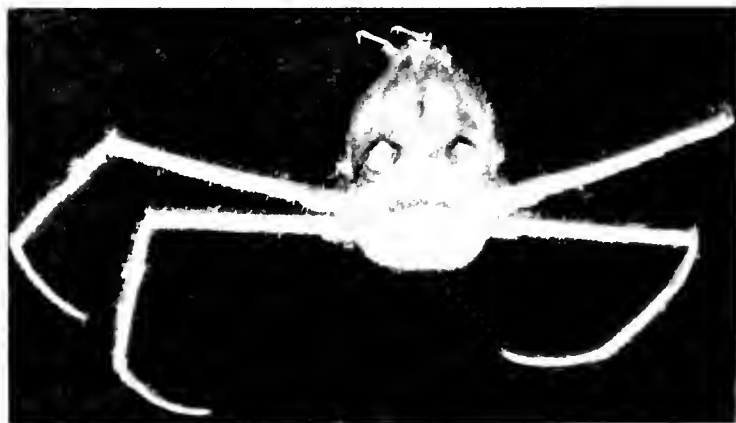
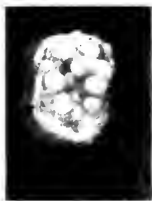
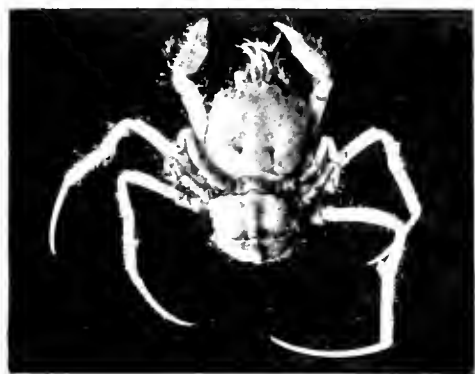
FA 1107



Tafel XII.

Tafel XII.

- Fig. 1. *Cymonomus granulatus* (NORM.), ♀. Vergr. 3,5 : 1. Ostafrika. S. 33.
„ 2. Dasselbe Exemplar von unten. Vergr. 3,5 : 1. S. 33.
„ 3. Abdomen desselben Exemplares um die Größe der Eier zu zeigen. Vergr. 3,1 : 1.
„ 4. *Cyclodorippe uncifera glaucomma* ALC., ♂. Ostafrika. Vergr. 3,5 : 1. S. 34.
„ 5. Dasselbe Exemplar von unten. Vergr. 3,5 : 1. S. 34.
„ 6. *Cyclodorippe uncifera melanomma* ALC., ♀, von unten. Ostafrika. Vergr. ca. 4 : 1. S. 34.
„ 7. *Cyclodorippe uncifera melanomma* DOFL., ♂. Japan. Vergr. 3,1 : 1. S. 34.
„ 8. *Cyclodorippe dromioides* ORIM., ♀. Japan. Vergr. 3,1 : 1.



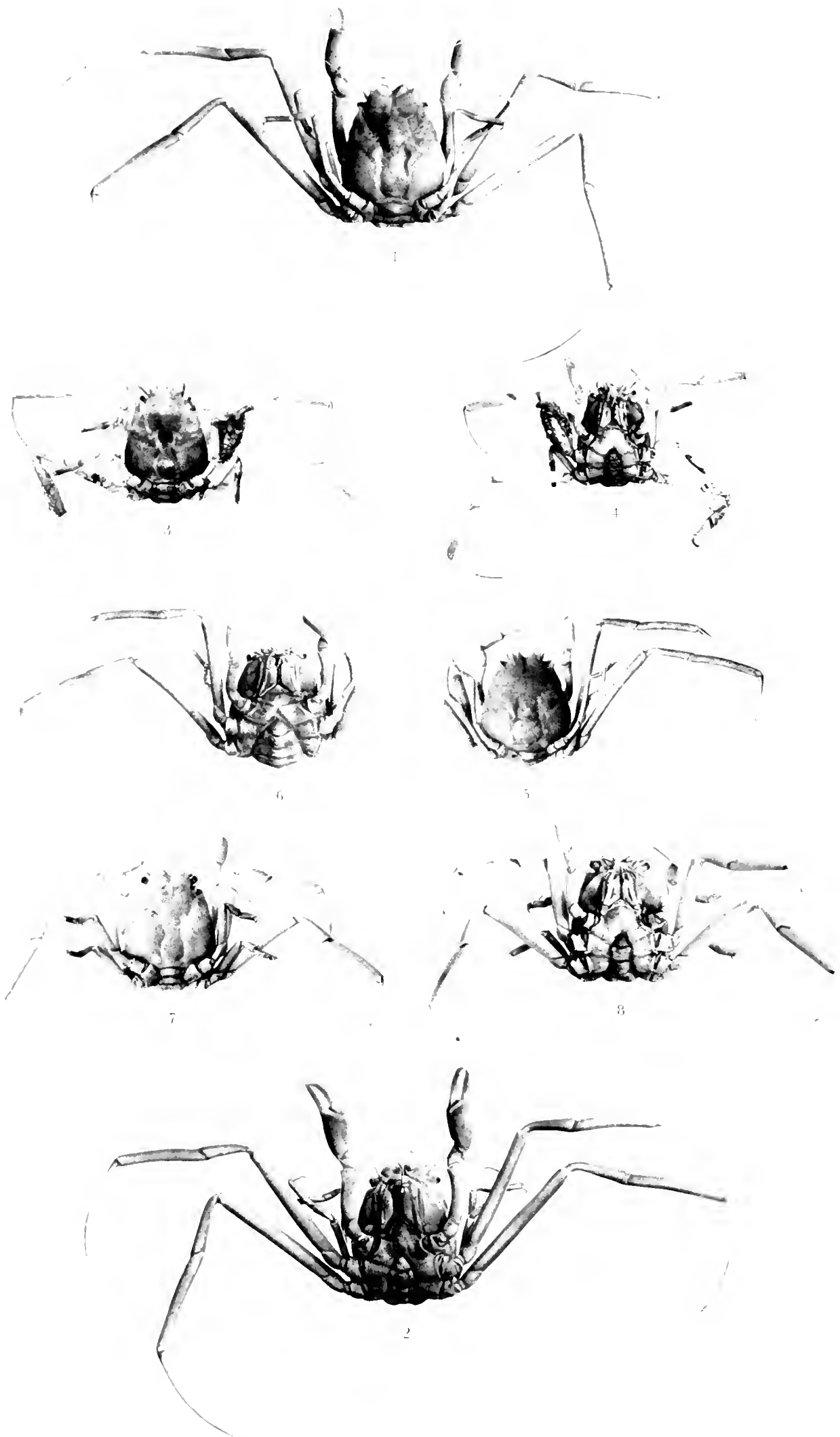
7

Cymonomus granulatus Norm. ♀ Fig. 1. 3. *Cyclodorippe uncinifera* Ortm. ♂ Fig. 4. 5. 7. ♀ Fig. 6.
Cyclodorippe diomoides Ortm. ♀ Fig. 8.

Tafel XIII.

Tafel XIII.

- Fig 1. *Ethusa (Ethusina) abyssicola* S. J. SMITH, 3. Ostafrika. Vergr. 2,2 : 1. S. 31.
.. 2. Dasselbe Exemplar von unten. Vergr. 2,2 : 1. S. 31.
.. 3. *Ethusa Zurstrasseni* n. sp. 2. Ostafrika. Vergr. 2,2 : 1. S. 28.
.. 4. Dasselbe Exemplar von unten. Vergr. 2,2 : 1. S. 28.
.. 5. *Ethusa somalica* n. sp. 4. Vergr. 2,47 : 1. Ostafrika. S. 30.
.. 6. Dasselbe Exemplar von unten. Vergr. 2,64 : 1. S. 30.
.. 7. *Ethusa andamanica* ALG. Vergr. 2,47 : 1. Nikobaren. S. 27.
.. 8. Dasselbe Exemplar von unten. Vergr. 2,64 : 1. S. 27.

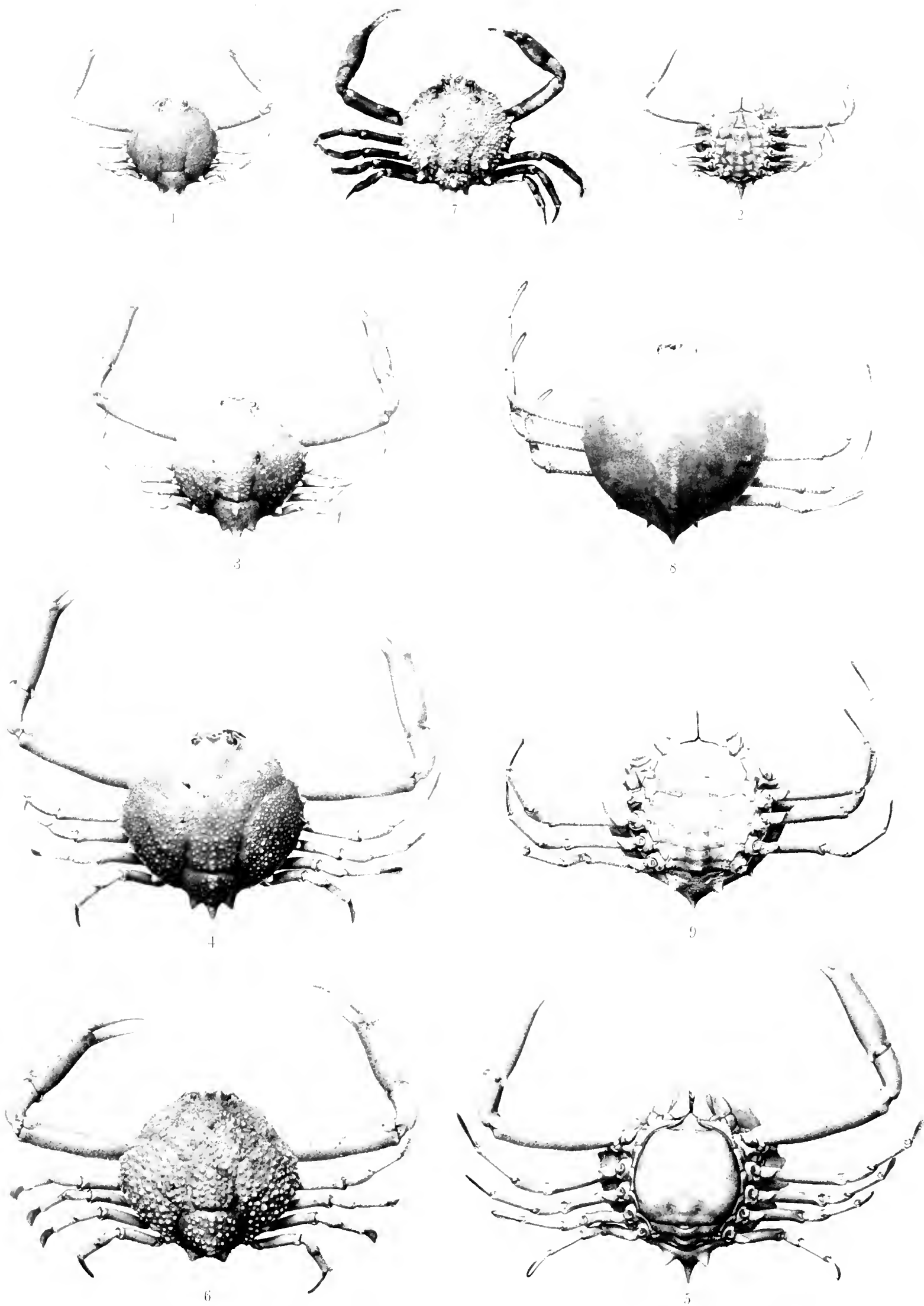


Ethusa (*Ethusia*) *abyssicola* S. J. Smith ♂ Fig. 1 & 2. *E. zurstrasseni* n. sp. ♂ Fig. 3 & 4.
E. somalica n. sp. ♀ Fig. 5 & 6. *E. andamanica* Mc. Fig. 7 & 8.

Tafel XIV.

Tafel XIV.

- Fig. 1. *Randallia pustulosa* WOOD-MASON, ♀, juv. Stadium I. Ostafrika. S. 42.
„ 2. Dasselbe Exemplar von der Bauchseite.
„ 3. *Randallia pustulosa* W.-M., ♀, juv. Stadium II. Ostafrika. S. 43.
„ 4. *Randallia pustulosa* W.-M., ♀, fast erwachsen. Stadium III. Ostafrika. S. 43.
„ 5. Dasselbe Exemplar von der Bauchseite.
„ 6. *Randallia pustulosa* W.-M., erwachsenes ♀, Stadium IV. Groß-Nikobar. S. 43.
„ 7. *Pariphiculus coronatus* ALCOCK u. ANDERSON, ♂. Bei Groß-Nikobar. S. 41.
„ 8. *Parilia Alcocki* W.-M., ♀. Nias-Nordkanal. S. 44.
„ 9. Dasselbe Exemplar von der Bauchseite, mit ♂ gestaltetem Abdomen.



Randallia pustulosa Wood-Mason ♂ & ♀ Fig. 1-6. *Puriphiculus coronatus* Alc. & Aud. ♂ Fig. 7. *Purilia alcocki* W. M. ♂ Fig. 8 & 9.

Tafel XV.

Tafel XV.

- Fig. 1. *Philyra punctata* BELL, ♂, Südafrika. Vergr. 2,2 : 1. S. 45.
„ 2. Dasselbe Exemplar von der Bauchseite. Vergr. 2,2 : 1. S. 45.
„ 3. *Philyra punctata* BELL, ♂, vom Rücken. Vergr. 2,2 : 1. S. 45.
„ 4. Dasselbe Exemplar von der Bauchseite. Vergr. 2,2 : 1. S. 45.
„ 5. *Philyra laminata* n. sp., ♂, von unten. Nias-Nordkanal. Vergr. 3,52 : 1. S. 46.
„ 6. Dasselbe Exemplar von oben. Vergr. 3,52 : 1. S. 46.
„ 7. *Atlantollos* n. g. *rhombitar* n. s., ♂, von unten. Kongomündung. Vergr. 3,52 : 1. S. 50.
„ 8. Dasselbe Exemplar von oben. Vergr. 3,52 : 1. S. 50.



1



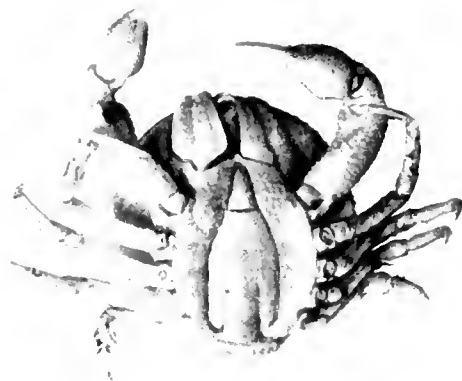
2



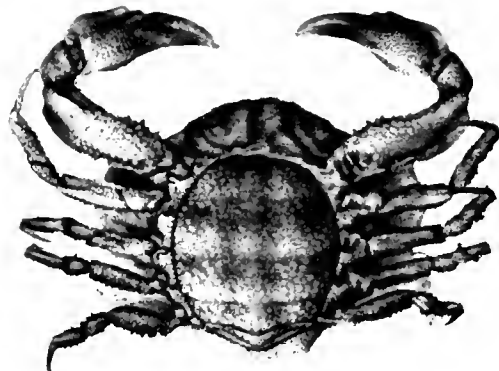
3



4



5



7



6



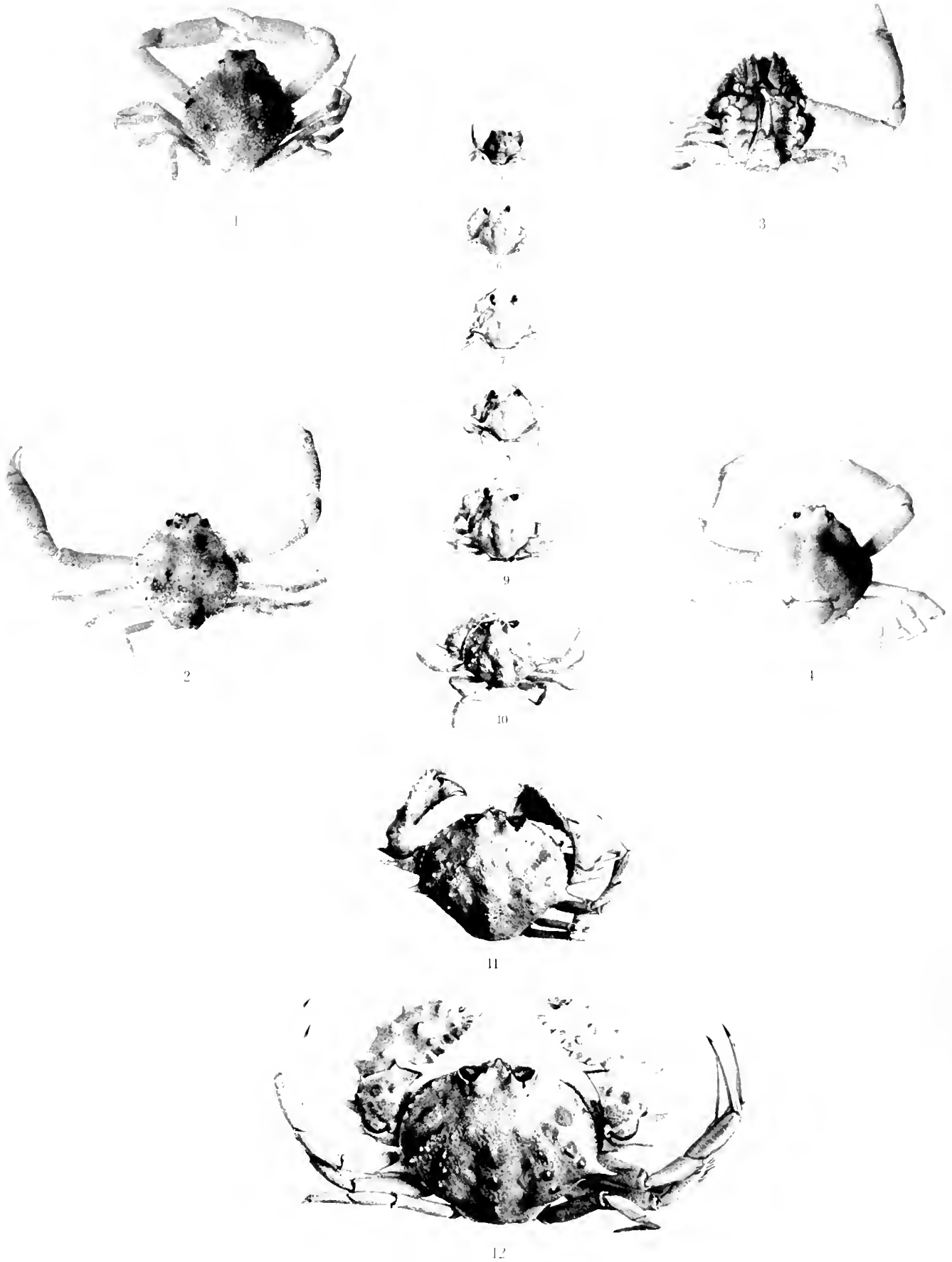
8

Philyra punctata Bell ♂ ♀ Fig. 1-4. *P. laminata* n. sp. ♂ ♀ Fig. 5 & 6. *Allantollos* n. g. *rhombifer* n. sp. ♀ Fig. 7 & 8.

Tafel XVI.

Tafel XVI.

- Fig. 1. *Ebalia salamensis* n. sp., ♂, von oben. Ostafrika. Vergr. 3,2 : 1. S. 47.
„ 2. *Ebalia salamensis* n. sp., ♂, von oben. Vergr. 3,2 : 1. S. 47.
„ 3. *Ebalia salamensis* n. sp., ♂, von unten. Vergr. 3,2 : 1. S. 47.
„ 4. *Ebalia (Phlyvia) atlantica* M.-E. u. B., ♀, Seinebank. Vergr. 3,2 : 1. S. 46.
„ 5—12. *Mursia cristimana* LAIR. Wachstumsstadien, welche die allmähliche Veränderung der Proportionen und der Skulptur des Cephalothorax zeigen. Cap Agulhas. Sämtliche vergrößert 1,3 : 1.

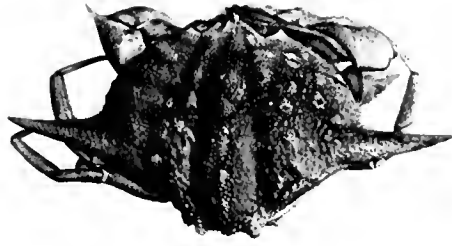


Ebalia salmensis n. sp. Fig. 1-3. *Ebalia Polyxia atlantica* M. E. & B. Fig. 4. *Mursia cristimana* Latr. Fig. 5-12

Tafel XVII.

Tafel XVII.

- Fig. 1. *Mursia armata typica* DE HAAN, ♂, juv. Japan. Vergr. 1,1 : 1. S. 40.
„ 2. *Mursia armata curtispina* MIERS, ♂. Nias. Vergr. 1,1 : 1. S. 41.
„ 3. *Mursia armata bicristimana* ALC. u. AND., ♀. Groß-Nikobar. Vergr. 1,1 : 1.



1



2



3

Mursia armata de Haan var. *typica* ♂ juv. (Fig. 1.) var. *curtisima* Miers ♂ (Fig. 2.)
var. *bicristimana* Alc. & Aud. ♀ (Fig. 3.)

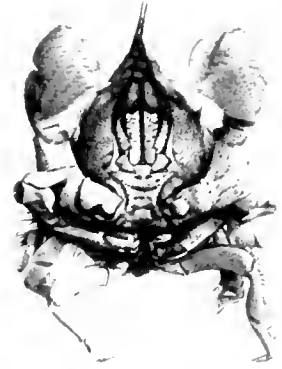
Tafel XVIII.

Tafel XVIII.

- Fig. 1. *Mursia cristimana* LAUR. Linke Schere. S. 38.
„ 2. *Mursia armata typica* DE HAAN. Rechte Schere. S. 40.
„ 3. *Mursia armata curtispina* MIERS. Linke Schere. S. 40.
„ 4. *Mursia armata bicristimana* ALC. u. AND., ♀, von unten. S. 41.
„ 5. *Cosmonotus Grayi* AD. u. WH. ♂, von oben, Augen eingezogen. Ostafrika. Vergr. 1,5 : 1. S. 51.
„ 6. *Cosmonotus Grayi* AD. u. WH. ♂, von unten, Augen eingezogen. Vergr. 1,5 : 1. S. 51.
„ 7. *Cosmonotus Grayi* AD. u. WH., kleines ♂, von oben, mit herausgeklappten Augenstielen. Vergr. 1,5 : 1. S. 51.
„ 8. *Cosmonotus Grayi* AD. u. WH., kleines ♂, von der Seite, mit vorgezogenen Augenstielen. Vergr. 1,5 : 1. S. 51.



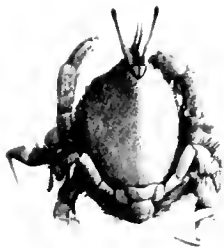
5



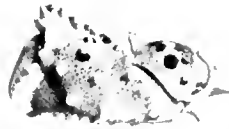
6



3



7



1



2



4



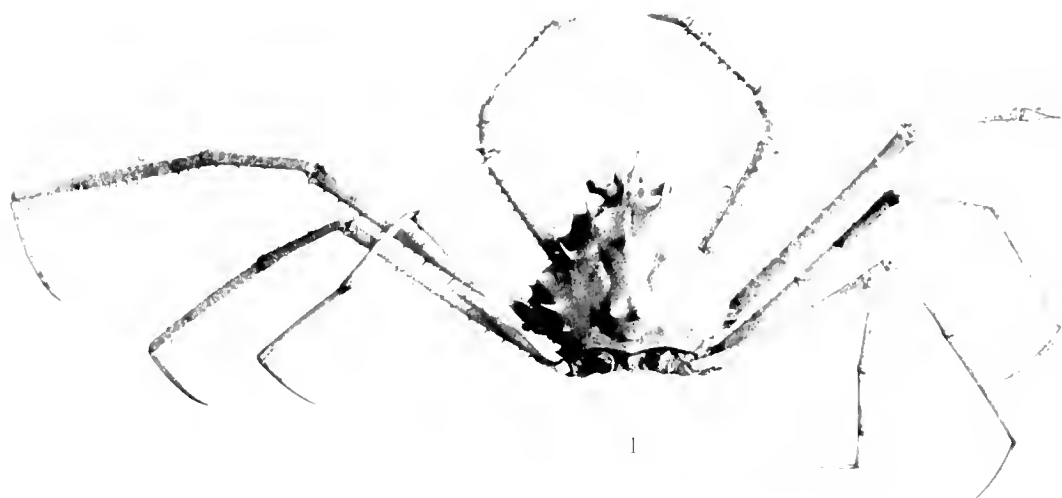
8

Mursia crastina Latr. Fig. 1. *Mursia armata* d. H. var. *typica* Fig. 2. var. *curtispinia* Miers Fig. 3. var. *bicristimama* Alc. & And. Fig. 4. *Cosmonotus grayi* Ad. & Wh. Fig. 5-8.

Tafel XIX.

Tafel XIX.

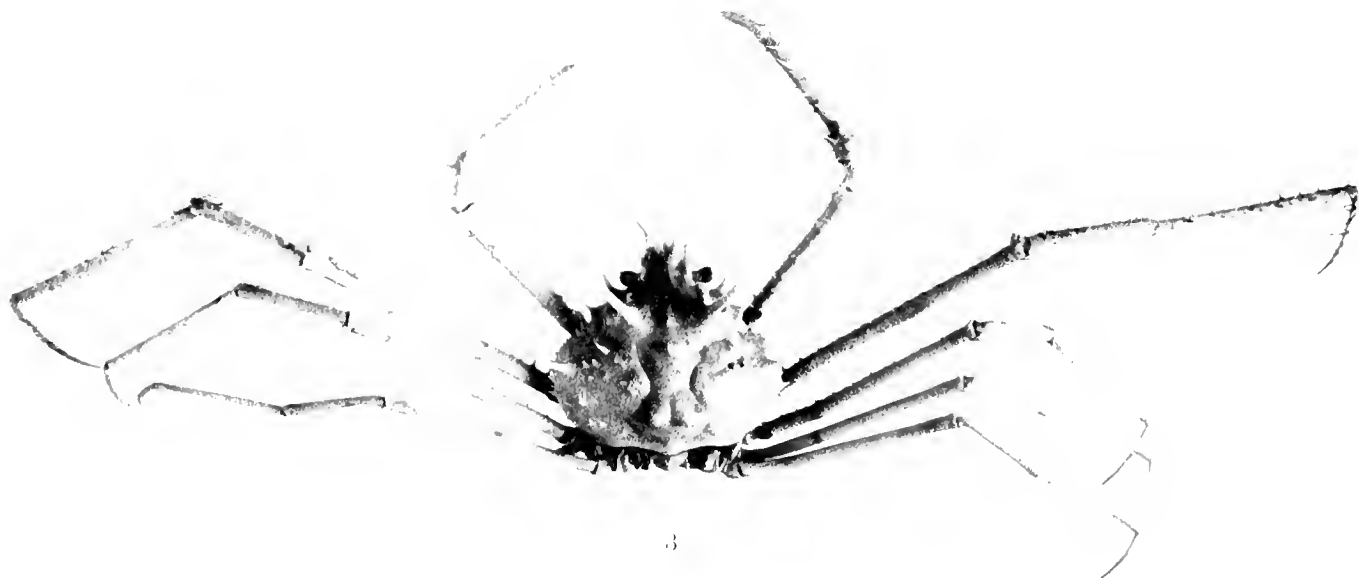
- Fig. 1. *Cyrtomaia Suhmi typica* Miers, ♂, juv. Nias. Vergr. 1,3 : 1. S. 54.
„ 2. Dasselbe Exemplar von unten. Vergr. 1,3 : 1. S. 54.
„ 3. *Cyrtomaia Suhmi platyceros* n. sbsp., ♂. Ostafrika. Vergr. 1,3 : 1. S. 55.



1



2



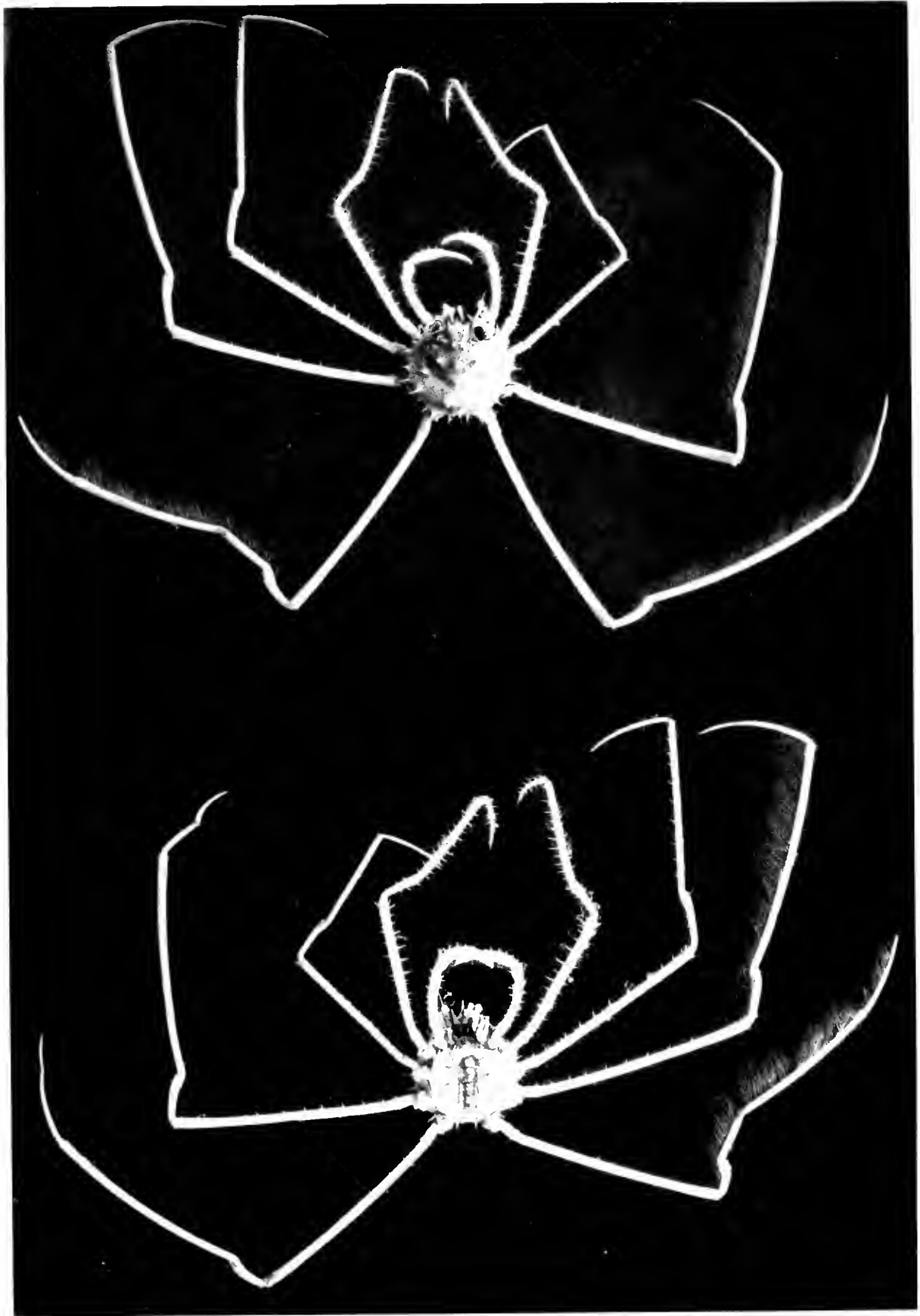
3

Cyrtomata submi typica Miers. ♂. Fig. 1 & 2. *Cyrtomata submi platyceros* n. sp. ♂. Fig. 3.

Tafel XX.

Tafel XX.

Platymia Wyville-Thomsoni MIERS. Stadium I. Dasselbe Exemplar von oben und von unten.
Vergr. 2,3 : 1. Ostafrikanische Küste. S. 60.



Platymara nyvelli thomsoni Miers Stadium I

Tafel XXI.

Tafel XXI.

- Fig. 1. *Platymaia Wyville-Thomsoni* MIERS. Stadium I. Ostafrikanische Küste. S. 60.
„ 2. *Platymaia Wyville-Thomsoni* MIERS. Stadium II. Groß-Nikobar. S. 62.
„ 3. *Platymaia Wyville-Thomsoni* MIERS. Stadium III. Ostafrikanische Küste. S. 63.
„ 4. *Platymaia Wyville-Thomsoni* MIERS. Stadium IV. Sansibar-Kanal. S. 63.

Alle annähernd 1 : 1.



Platymera myrillo-thomsoni Miers. Stadium I-II. Fig. 1-3.

Tafel XXII.

Tafel XXII.

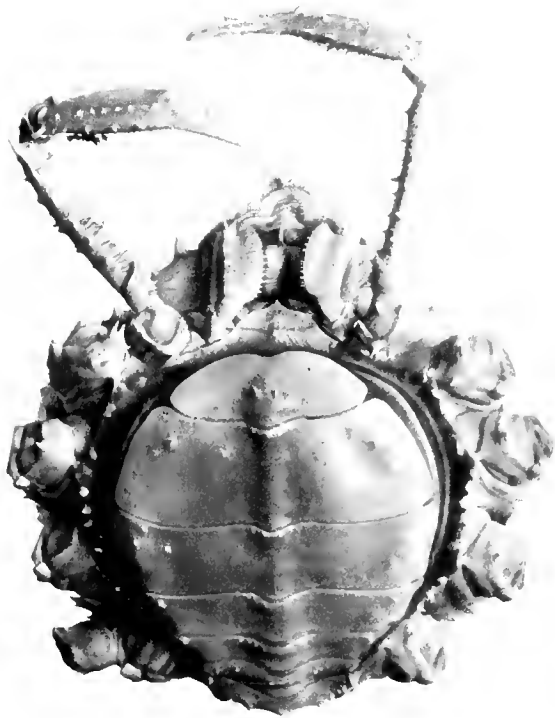
Fig. 1. *Platymaia Wyzville-Thomsoni* MEERS, ♂. Stadium V. S. 64.

„ 2. *Platymaia Wyzville-Thomsoni* MEERS, ♀. Stadium IX. Westlich von Sumatra. S. 65.

Beide Figuren annähernd 1 : 1.



1



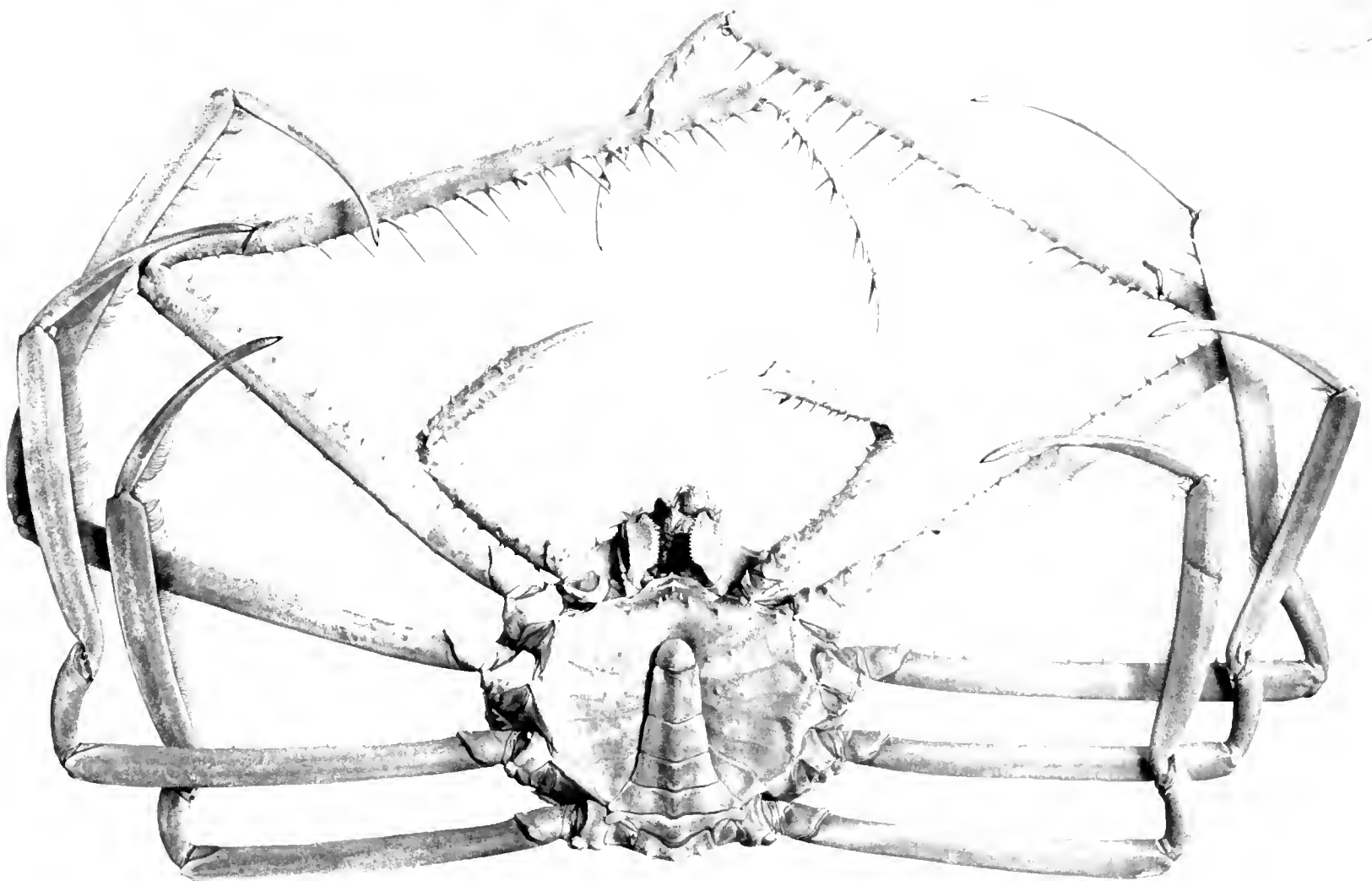
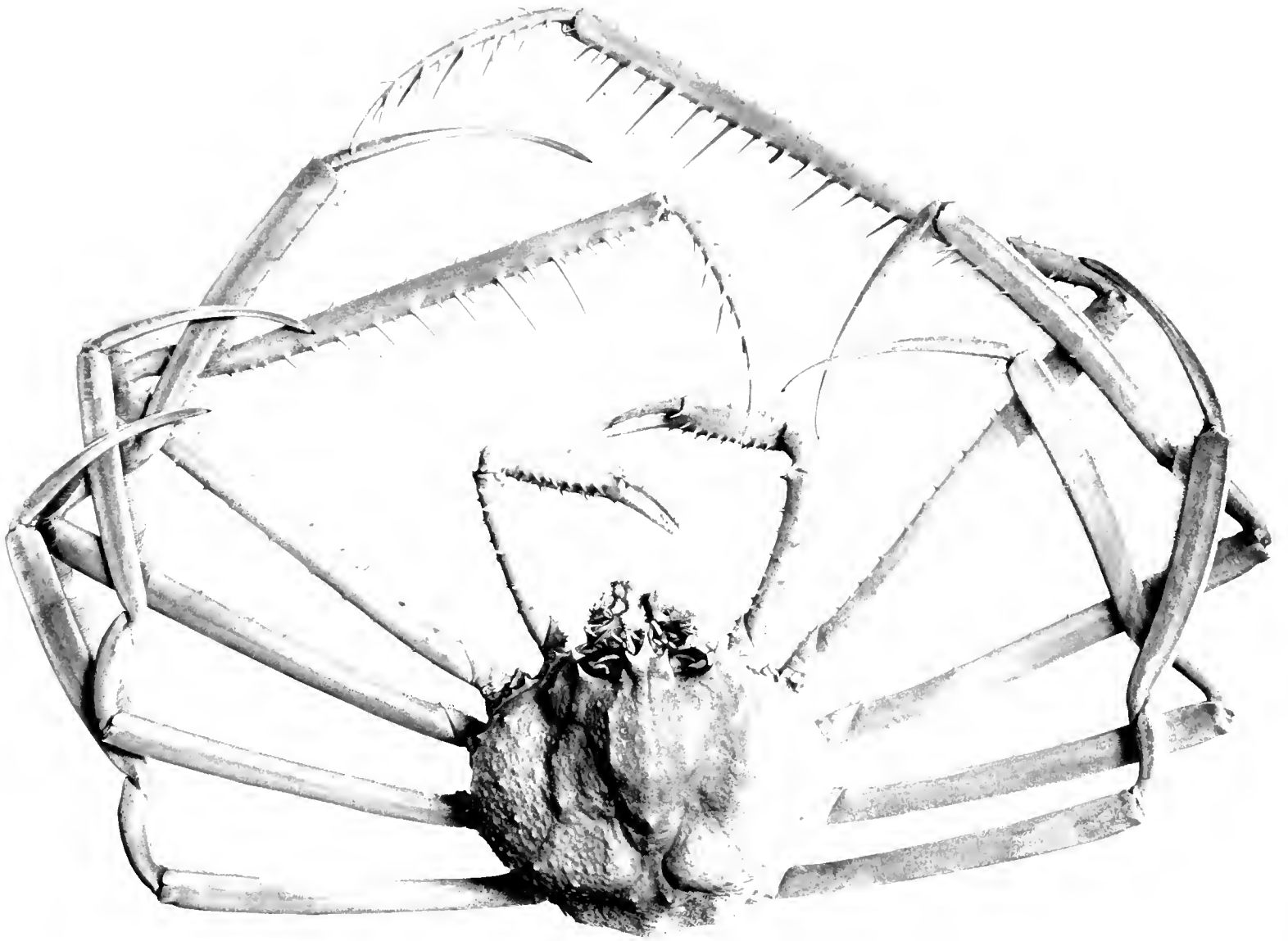
2

Platymaia myrille-thomsoni Miers. Stadium V. ♂ Fig. 1. Stadium IX. ♀ Fig. 2.

Tafel XXIII.

Tafel XXIII.

Platymaia Wyville-Thomsoni MIERS, ♂. Stadium VII. Groß-Nikobar. Dasselbe Tier von oben und von unten. Verkleinerung 9:10. S. 64.



Platymaia nyville-thomsoni Miers. ♂ Stadium VII.

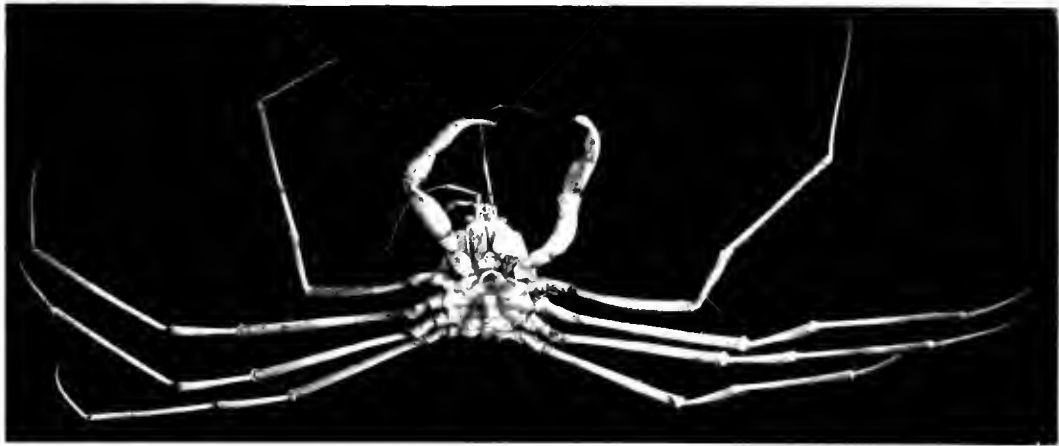
Tafel XXIV.

Tafel XXIV.

- Fig. 1. *Physachaeus denurus* AND., ♂. Groß-Nikobar. Ca. 1,5 : 1. S. 71.
„ 2. Dasselbe Exemplar von unten. Ca. 1,5 : 1. S. 71.
„ 3. Ein anderes ♂, mit abgenommenem Abdomen. Ca. 1,5 : 1. S. 71.
„ 4. *Physachaeus denurus* AND., ♀, von unten. Ca. 1,5 : 1. S. 71.
„ 5. *Pleistacantha Moseleyi* MERS. Stadium I. Vergr. 1,25 : 1. Ostafrika. S. 77.
„ 6. *Pleistacantha Moseleyi* MERS. Stadium II. Vergr. 1,25 : 1. Ostafrika. S. 77.



1



2



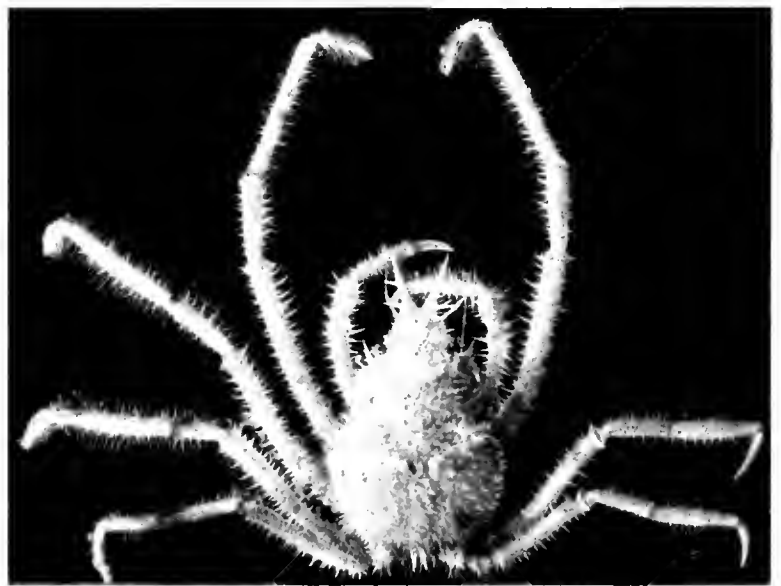
3



4



5



6

Physachacus clavurus And ♂ & ♀ Fig 1-4. *Plistacantha moschelyi* Miers Stadium I & II, Fig. 5 & 6

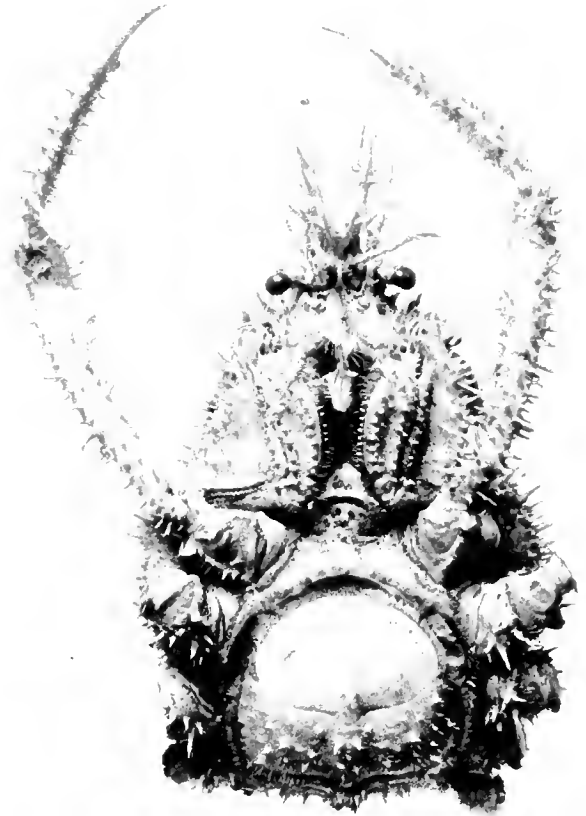
Tafel XXV.

Tafel XXV.

- Fig. 1. *Pleistacantha Mosleyi* (MIERS), ♀. Stadium III. S. 77.
„ 2. Dasselbe Tier von unten.
„ 3. *Pleistacantha Mosleyi* (MIERS), ♂. Stadium IV. Bei Groß-Nikobar. S. 78.
Beide ein wenig verkleinert.



1



2



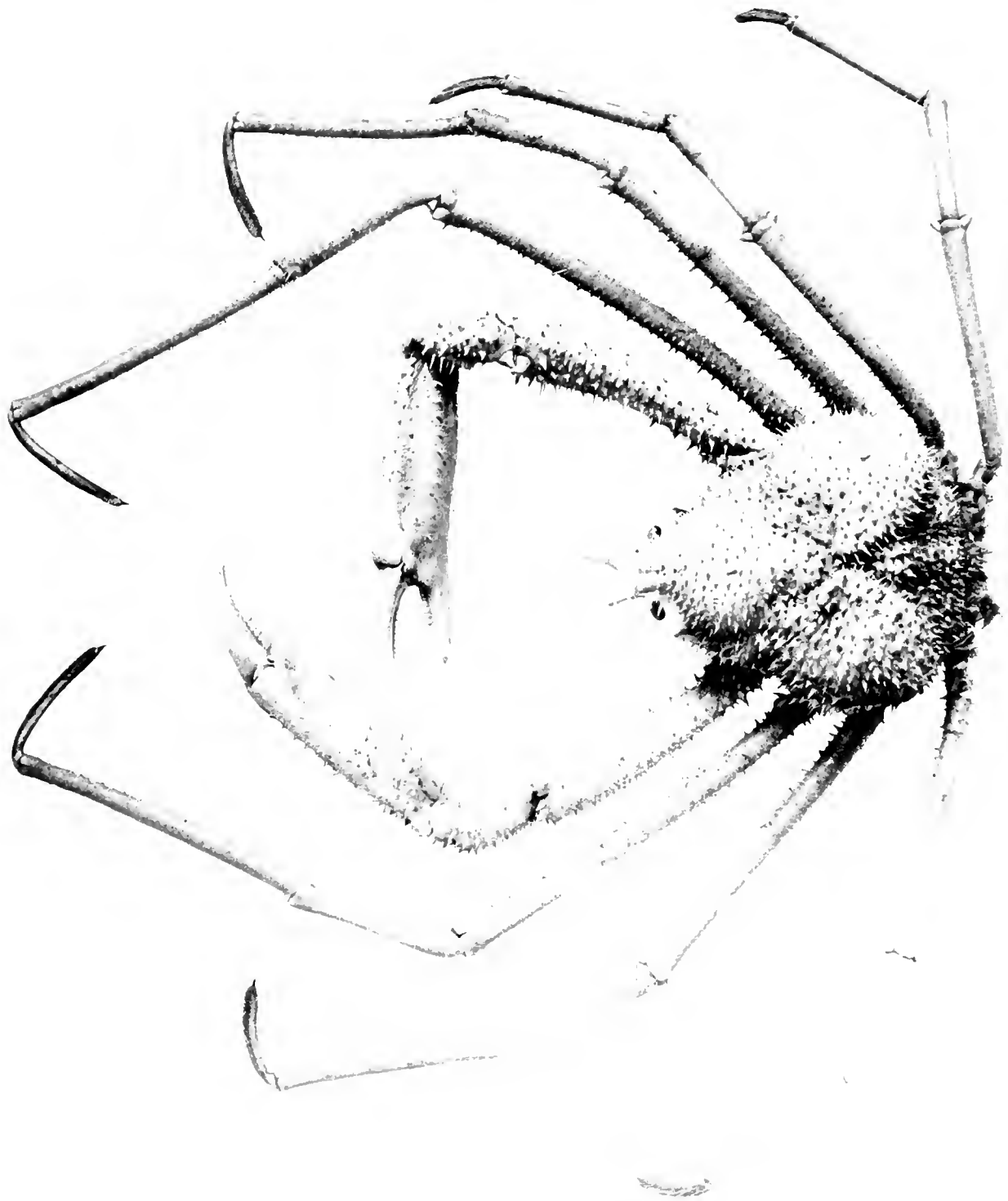
3

Plistacantha moseleyi Miers. Stadium III. ♀ Fig. 1 & 2. Stadium IV. ♂ Fig. 3.

Tafel XXVI.

Tafel XXVI.

Pleistacantha Mosleyi (MIERS), ♂. Stadium IV. Bei Groß-Nikobar. Verkleinerung 1 : 1,67.



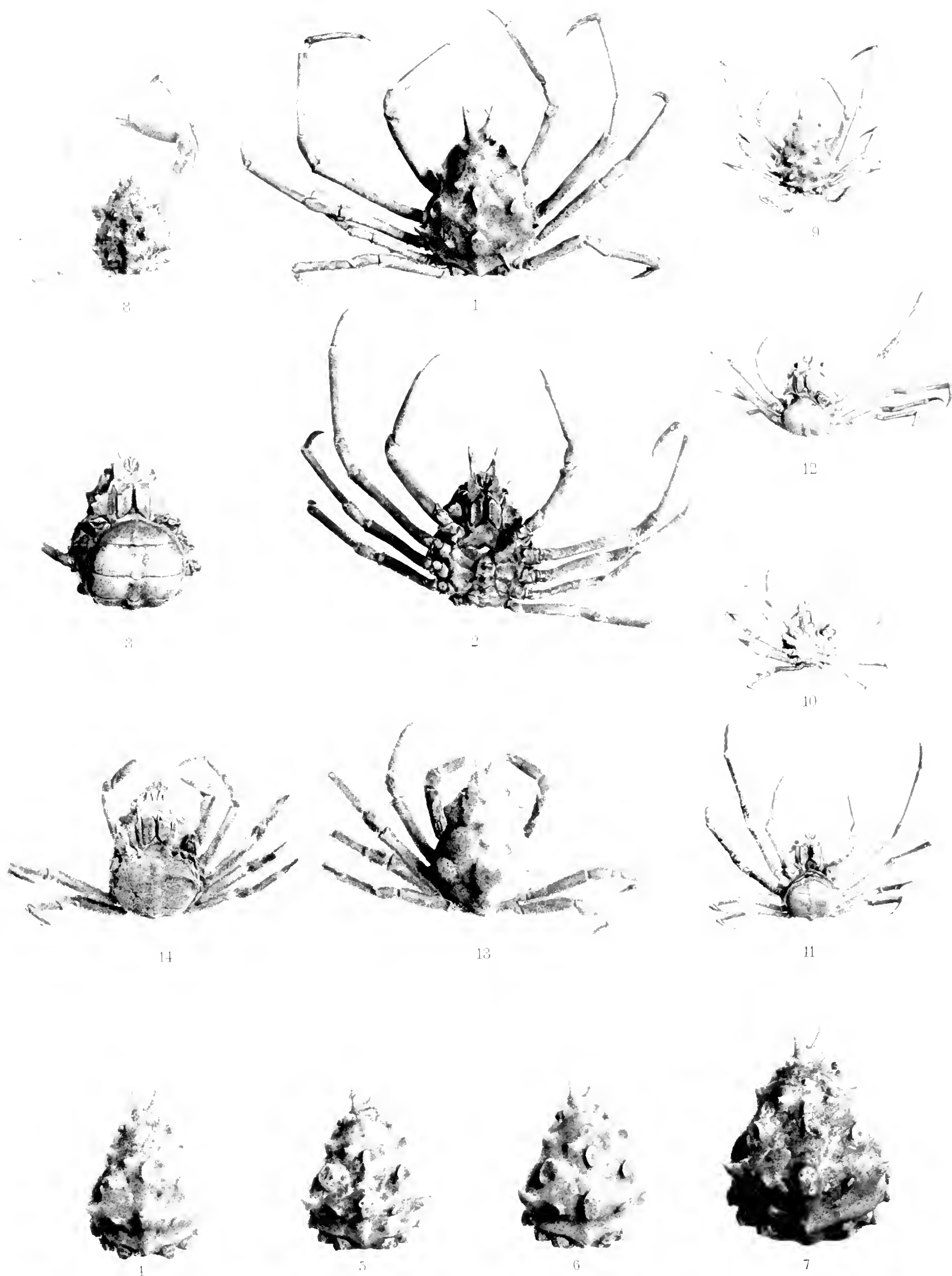
Ph. istvanthi moschelyi Miers & Stadium W.



Tafel XXVII.

Tafel XXVII.

- Fig. 1. *Scyramathia Hertwigi* n. sp., ♂. Vergr. 4,9 : 3. Kapregion. S. 81.
.. 2. Dasselbe Exemplar von unten. Vergr. 1,3 : 1. S. 81.
.. 3. *Scyramathia Hertwigi* n. sp., ♀ von unten. Vergr. 1,3 : 1. S. 81.
.. 4. Variationen des Cephalothorax. Vergr. 4,1 : 3. S. 81.
.. 5. Desgleichen. Vergr. 4,1 : 3. S. 81.
.. 6. Desgleichen. Vergr. 4,1 : 3. S. 81.
.. 7. Desgleichen. Vergr. 1,3 : 1. S. 81.
.. 8. *Scyramathia Rivers-Andersoni* ALCOCK, ♂. Vergr. 1,3 : 1. Ostafrika. S. 84.
.. 9. *Scyramathia Rivers-Andersoni* ALC., jüngeres ♂. Vergr. 1,3 : 1. Ostafrika. S. 84.
.. 10. Dasselbe von unten. Vergr. 1,3 : 1. S. 84.
.. 11. *Scyramathia Rivers-Andersoni* ALC., ♀, von unten. Vergr. 1,3 : 1. Ostafrika. S. 84.
.. 12. *Scyramathia pulchra* MIERS, ♀, von unten. Ostafrika. S. 84.
.. 13. *Ilyastenus brevirostris* n. sp., ♀, von oben. Vergr. 4,1 : 3. Bei Sumatra. S. 85.
.. 14. Dasselbe Exemplar von unten. Vergr. 1,3 : 1. S. 85.

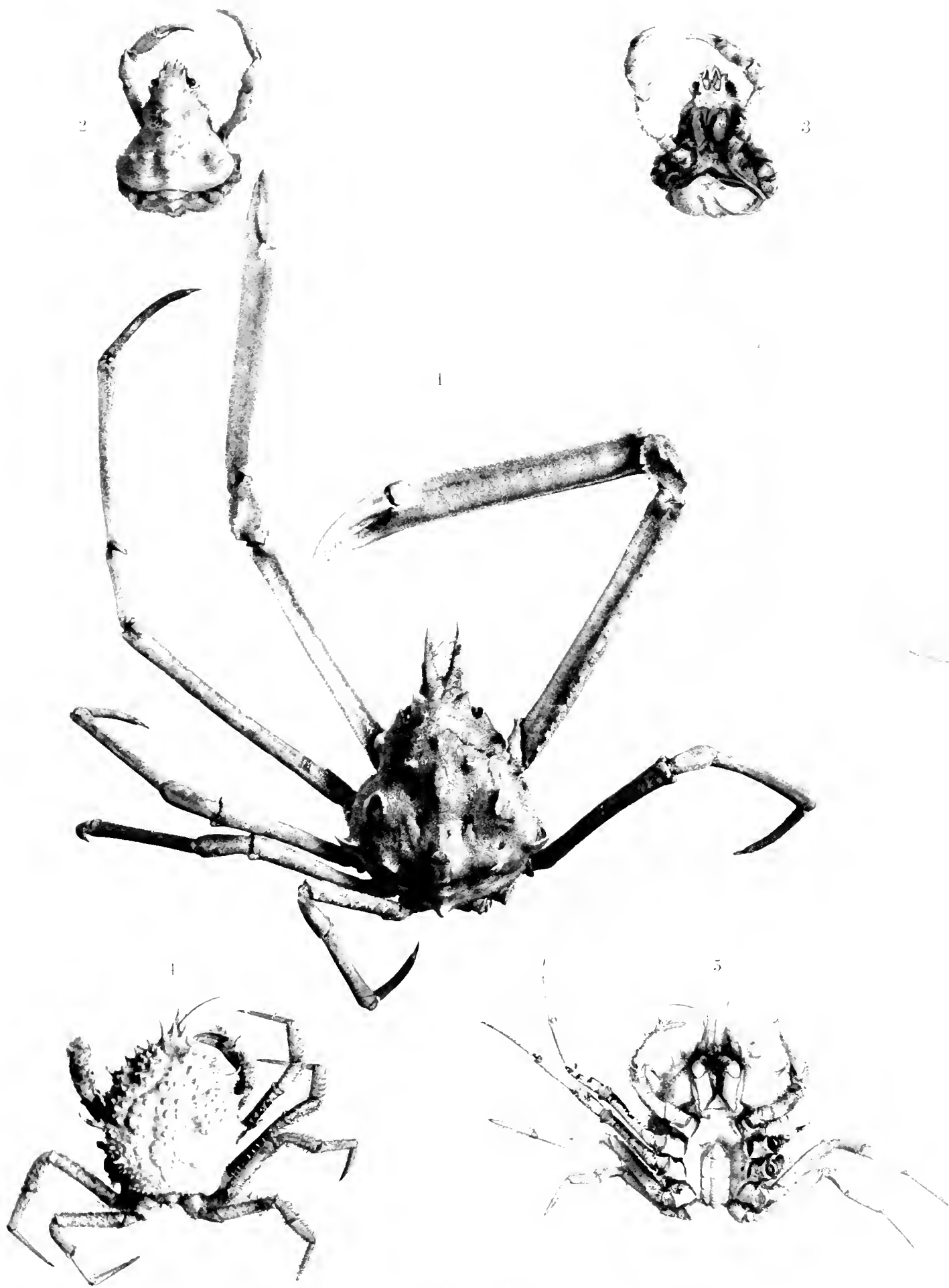


Scyramathia hirtongi n. sp. Fig. 1-7. *Scyramathia rivers-andersoni* Alcock ♂ & ♀ Fig. 8-11.
Scyramathia pulchra Miers ♀ Fig. 12. *Hyastenus brevirostris* n. sp. Fig. 13-14.

Tafel XXVIII.

Tafel XXVIII.

- Fig. 1. *Scyramathia Hertwigi* n. sp., ♂ adult. Kapregion. S. 81.
„ 2. *Inachus antarcticus* n. sp., ♀. Kapregion. S. 74.
„ 3. Dasselbe Exemplar von unten. S. 74.
„ 4. *Trichopeltarium Alcocki* n. sp., ♂. Westlich von Sumatra. S. 88.
„ 5. Dasselbe Exemplar von unten. S. 88.



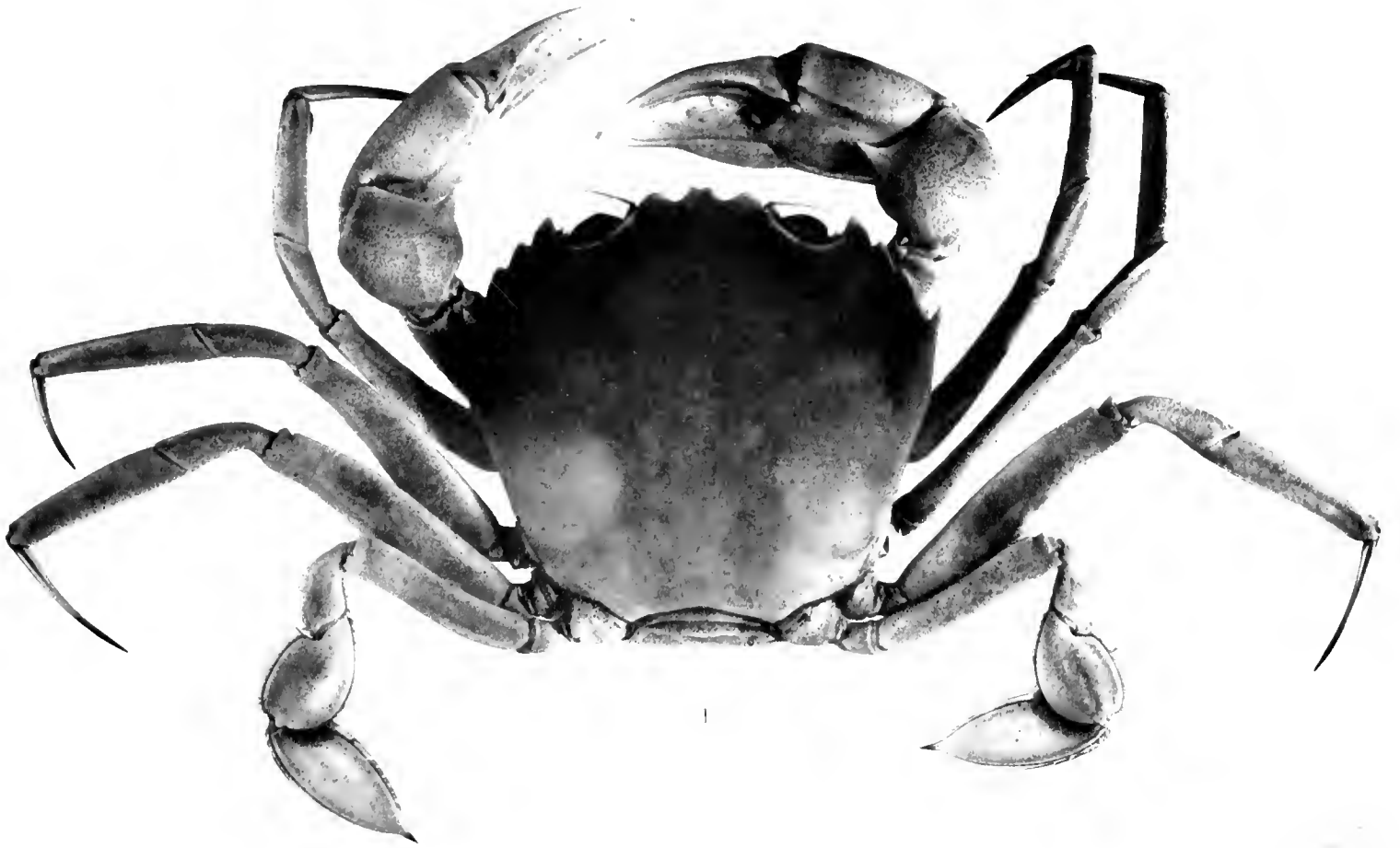
Scyramathia hertwigi n. sp. ♂ adult. Fig. 1. *Inachus antarcticus* n. sp. ♂
Fig. 2 & 3. *Trichopeltarium alcocki* n. sp. ♂ Fig. 4 & 5.

Tafel XXIX.

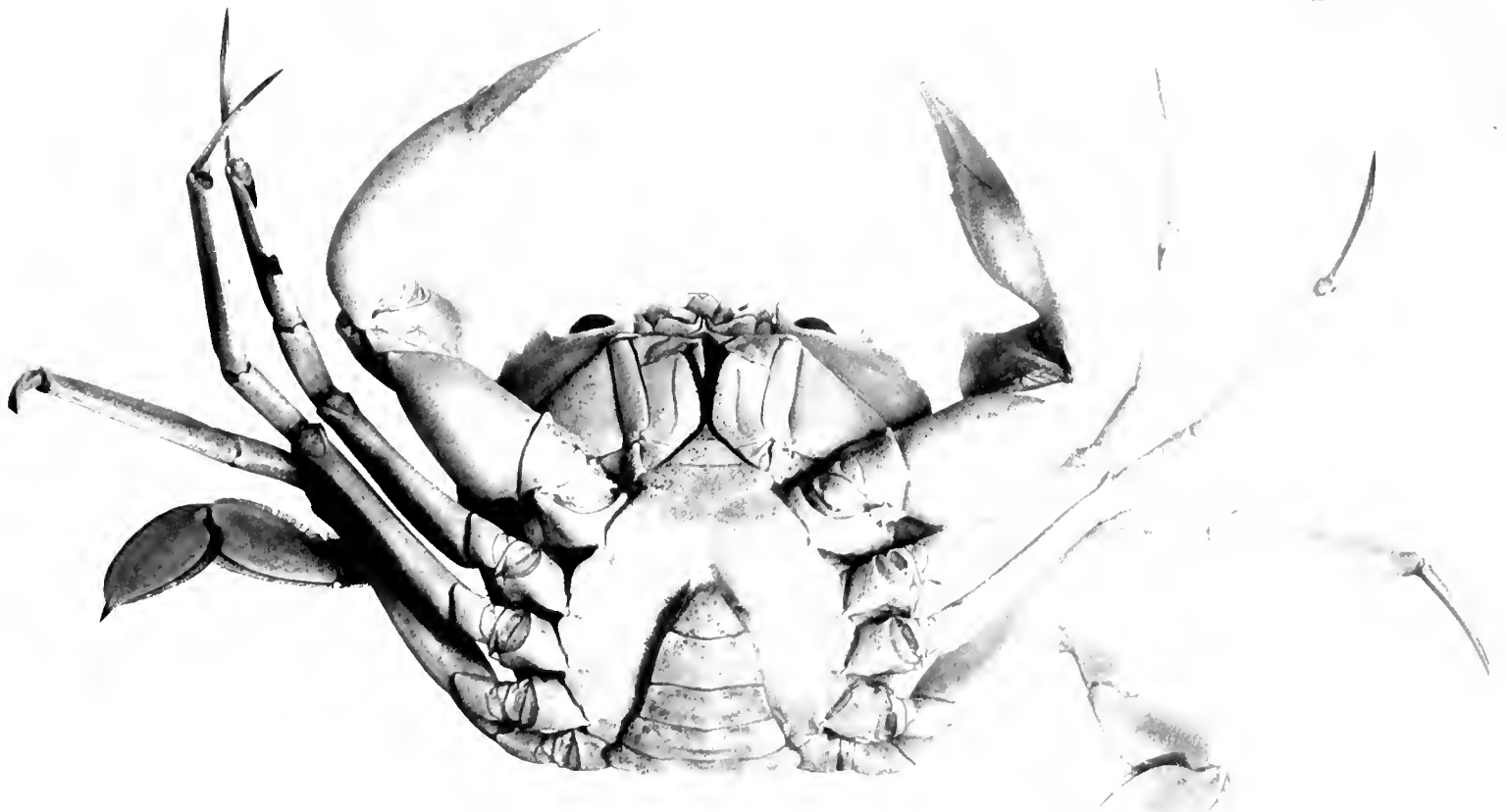
171

Tafel XXIX.

- Fig. 1. *Benthochascon Hemingi* Alc., *fl.* Vergr. 4 : 3. Bei Groß-Nikobar. S. 90.
„ 2. Dasselbe von unten. Vergr. 4 : 3. S. 90.



1



2

Benthochascom hemingi Alc. ♂. Fig. 1 & 2

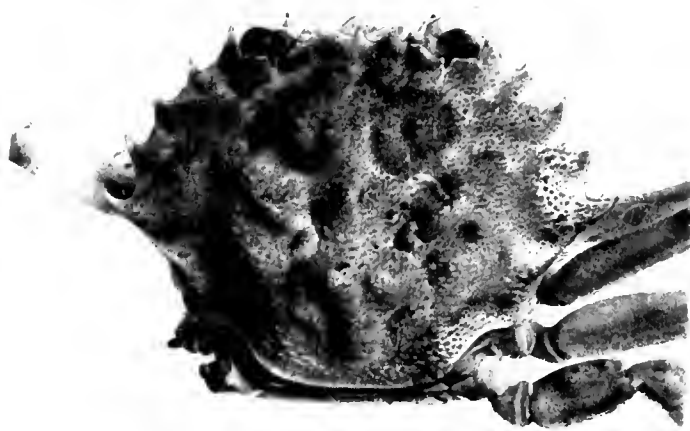
Tafel XXX.

Tafel XXX.

- Fig. 1. *Elliptodactylus rugosus* n. g. n. sp. Westafrika. S. 94.
„ 2. *Elliptodactylus rugosus*. Cephalothorax eines größeren Exemplares. Westafrika. S. 94.
„ 3. *Elliptodactylus rugosus*. Schere. S. 94.
„ 4. *Psopheticus stridulans* W.-M. Bei Groß-Nikobar. S. 118.



1



2



3



4

Elliptodactylus rugosus n. g. n. sp. (Fig. 1-3.) *Psopheticus stridulans* W.-M. (Fig. 4.)

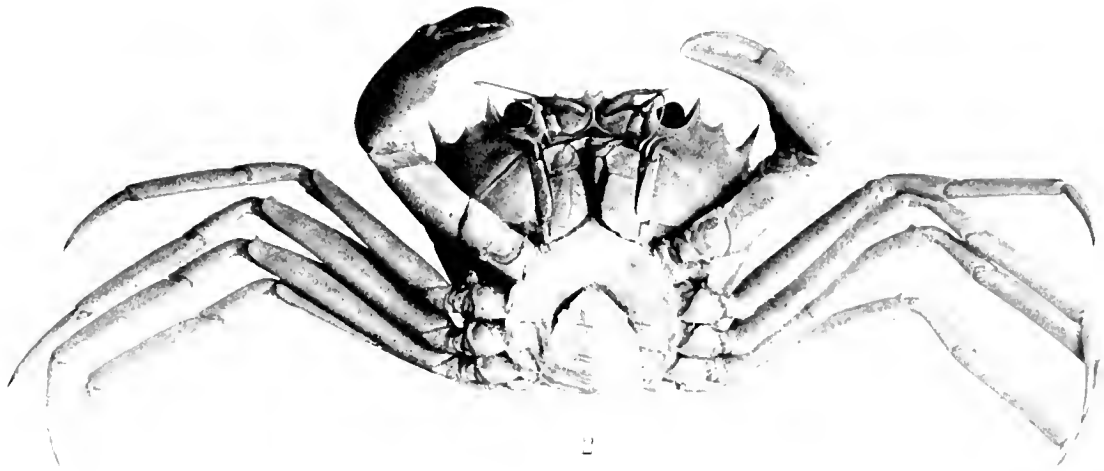
Tafel XXXI.

Tafel XXXI.

- Fig. 1. *Gervon paulensis* n. sp., ♀. Nördlich von St.Paul und Amsterdam. S. 112.
„ 2. Dasselbe Exemplar von unten. S. 112.
„ 3. *Hexaplax megalops* nov. gen. n. sp., ♂. Vergr. 2 : 1. S. 122.
„ 4. Dasselbe Exemplar von unten. Vergr. 2 : 1. S. 122.



1



2



3



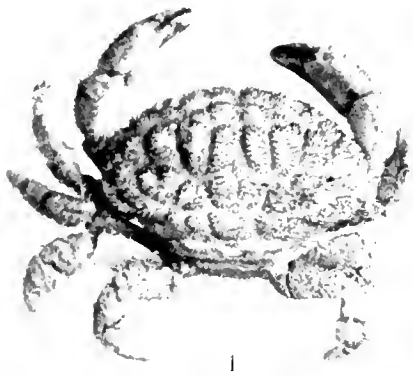
4

Geryon paulensis n. sp. ♀ Fig. 1 & 2. *Hexaplax megalois* nov. gen. n. sp. ♂ Fig. 3 & 4.

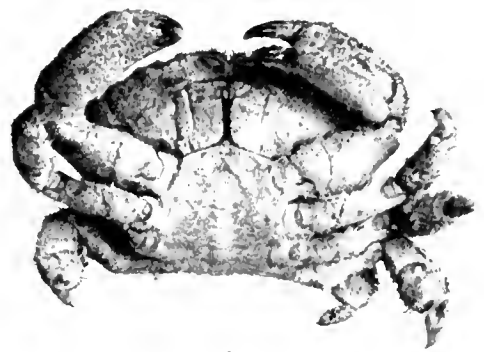
Tafel XXXII.

Tafel XXXII.

- Fig. 1. *Actaea hirsutissima* (RÜPP.) ♂. Indopazifik. S. 102.
„ 2. Dasselbe Exemplar von unten.
„ 3. *Pilumnus verrucosipes* SEM, ♀. Kapregion S. 100.
„ 4. Dasselbe Exemplar von unten.
„ 5. *Limbrus macrocheles* (HBSL.) ♂. Atlantik. S. 87.
„ 6. *Ovalipes trimaculatus* (P. H.), juv. Südafrika. S. 92.
„ 7. *Elliptodactylus rugosus* n. g. n. sp., ♂. Westafrika. S. 94.



1



2



3



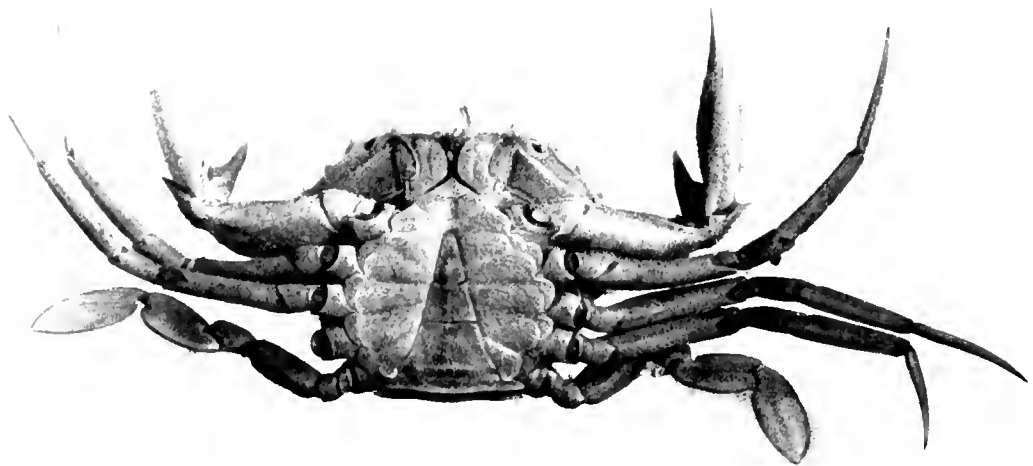
4



5



6



7

Actaea hirsutissima (Rupp.) ♂, Fig. 1 & 2. *Pilumnus verrucosipes* Stm. ♀, Fig. 3 & 4. *Lambrus macrochelus* Hbst. ♂, Fig. 5. *Ovalipes trimaculatus* (d. H.) juv., Fig. 6. *Elliptodactylus rugosus* n. g. n. sp. ♂, Fig. 7.

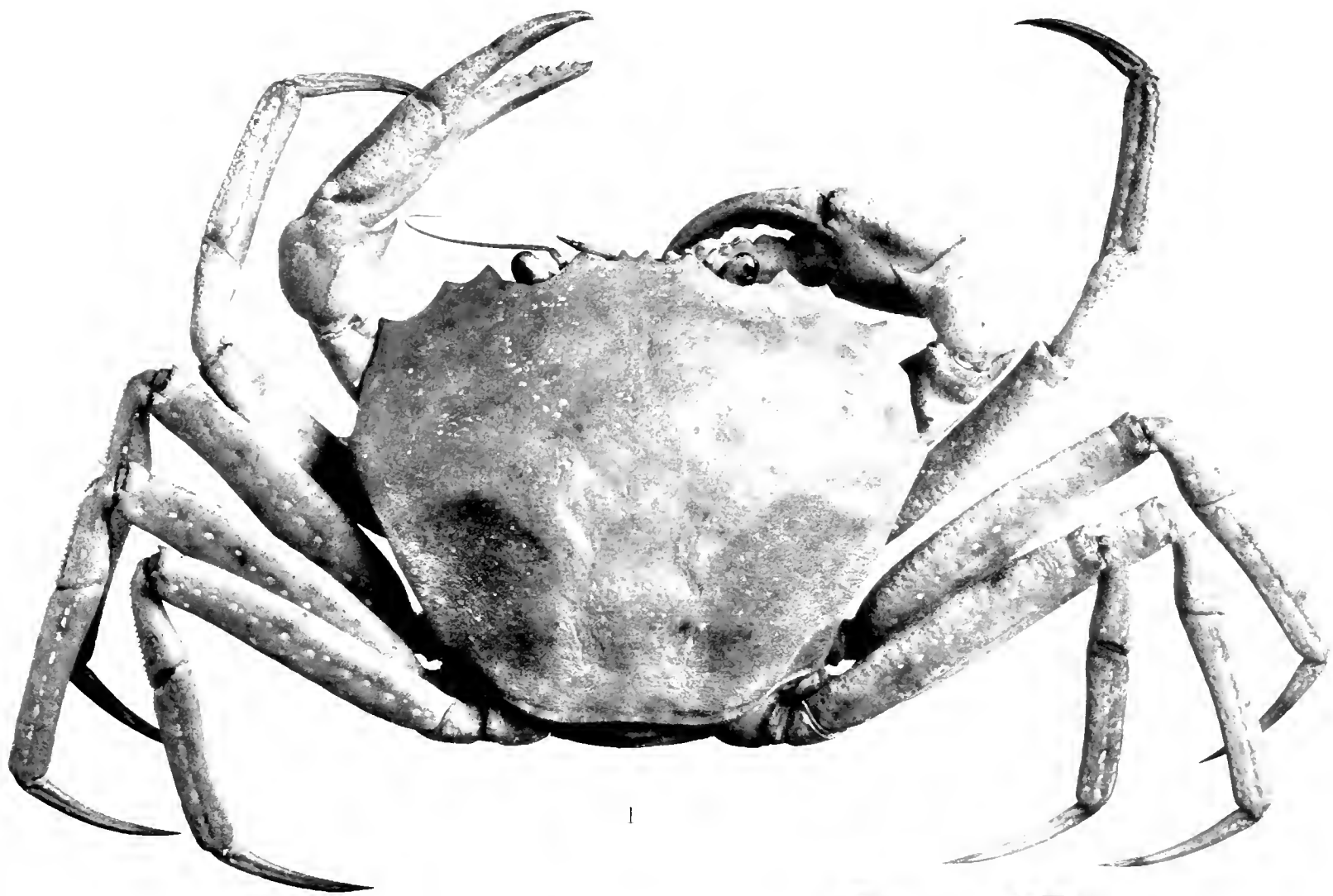
Tafel XXXIII.

Tafel XXXIII.

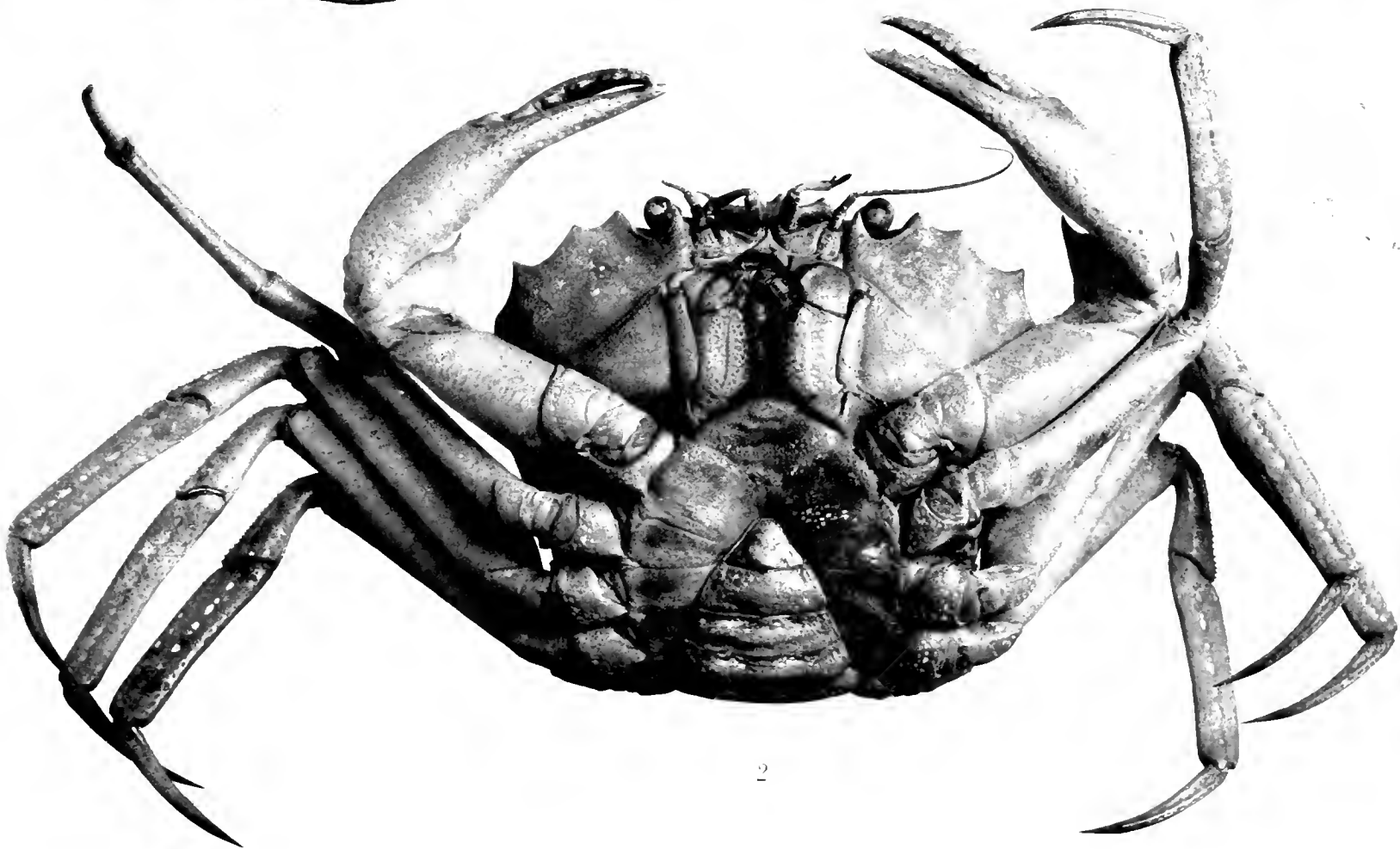
Fig. 1. *Geryon affinis* M.-E. u. Botv., ♂. Südatlantik. S. 106.

„ 2. Dasselbe Tier von unten. S. 106.

Etwas verkleinert.



1



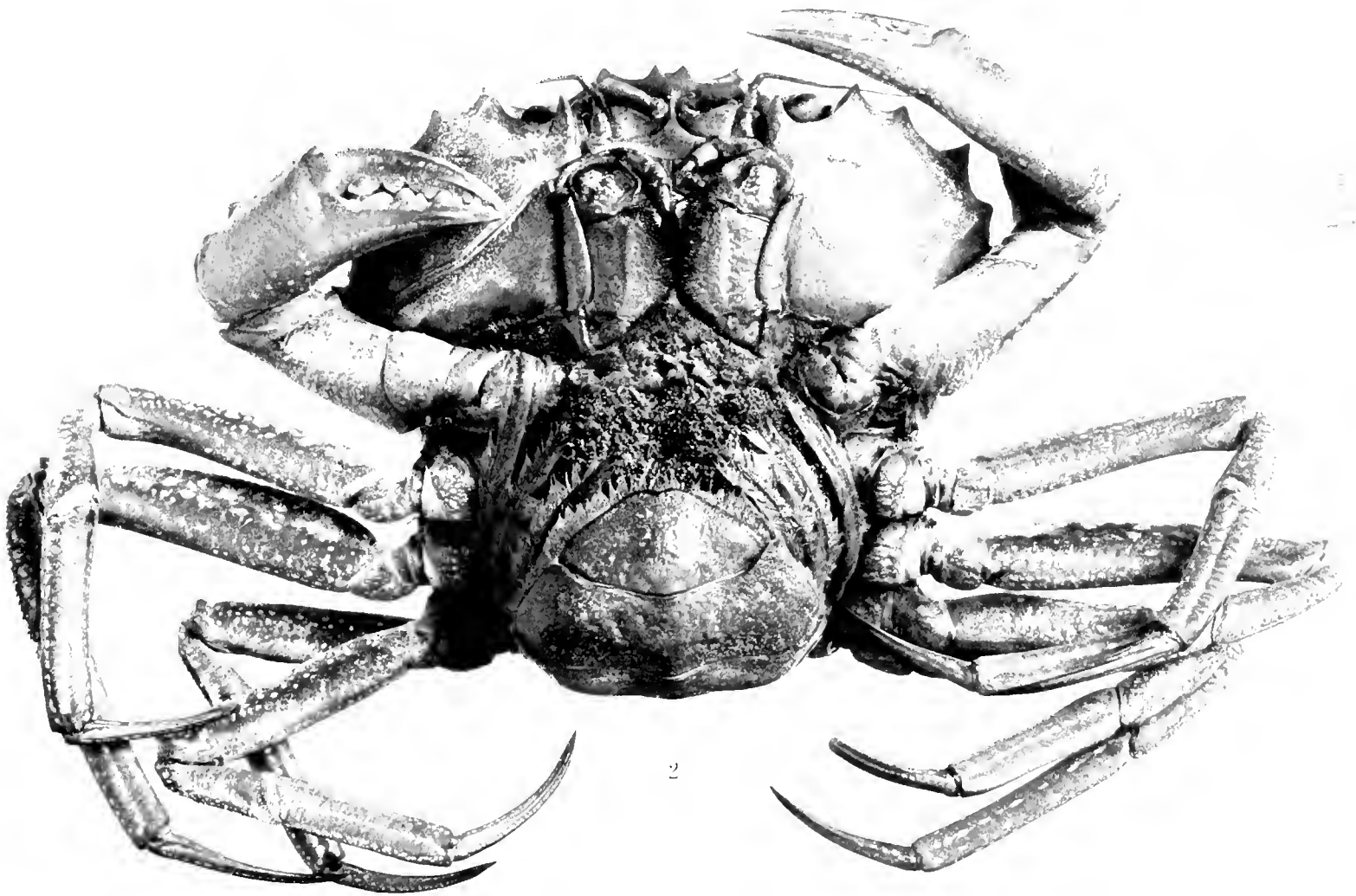
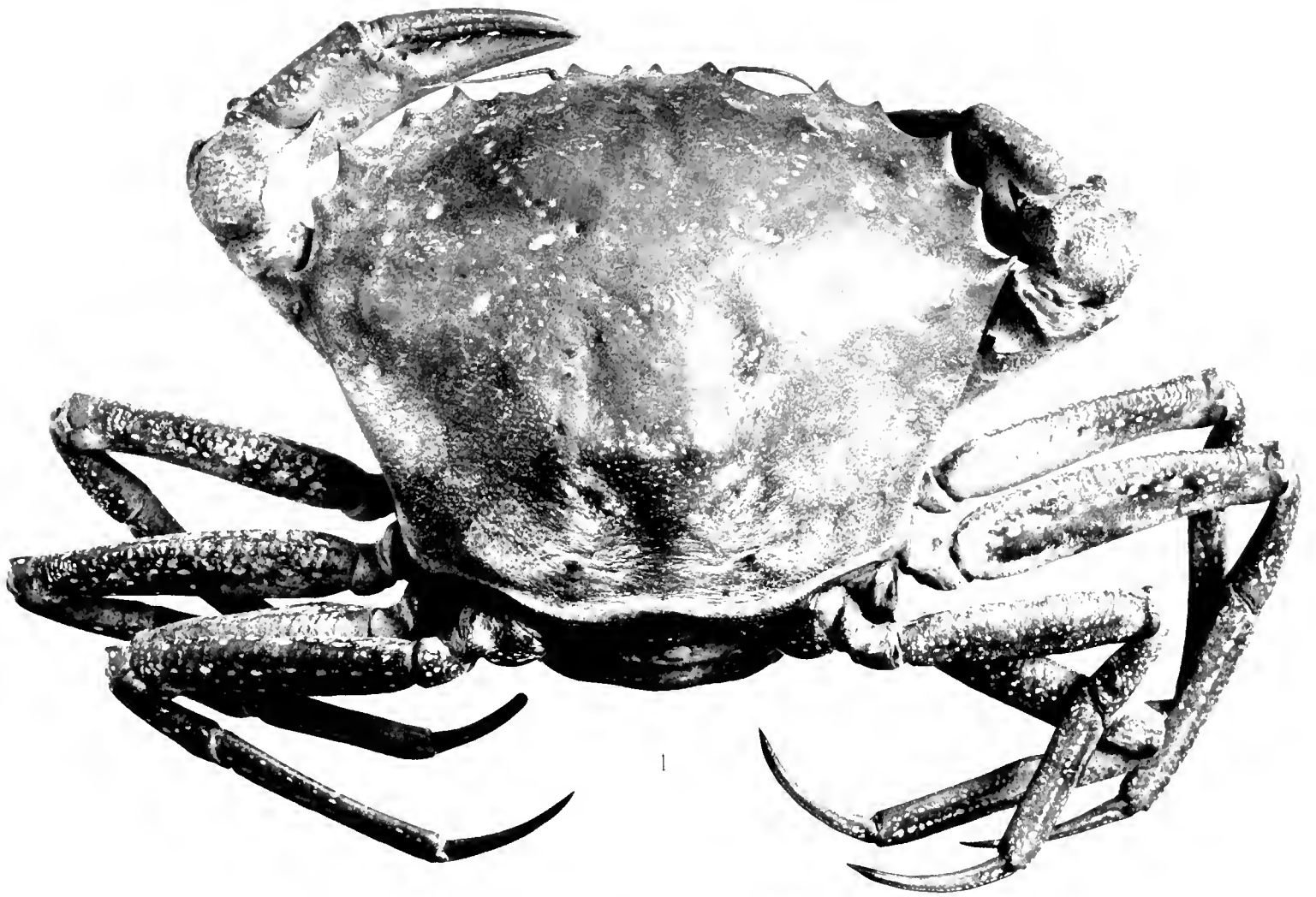
2

Geryon affinis M. E. S. Bour. d.

Tafel XXXIV.

Tafel XXXIV.

- Fig. 1. *Geryon affinis* M.-E. s. Bouv., ♀. Südatlantik. S. 106.
„ 2. Dasselbe Tier von unten, mit Eiern.

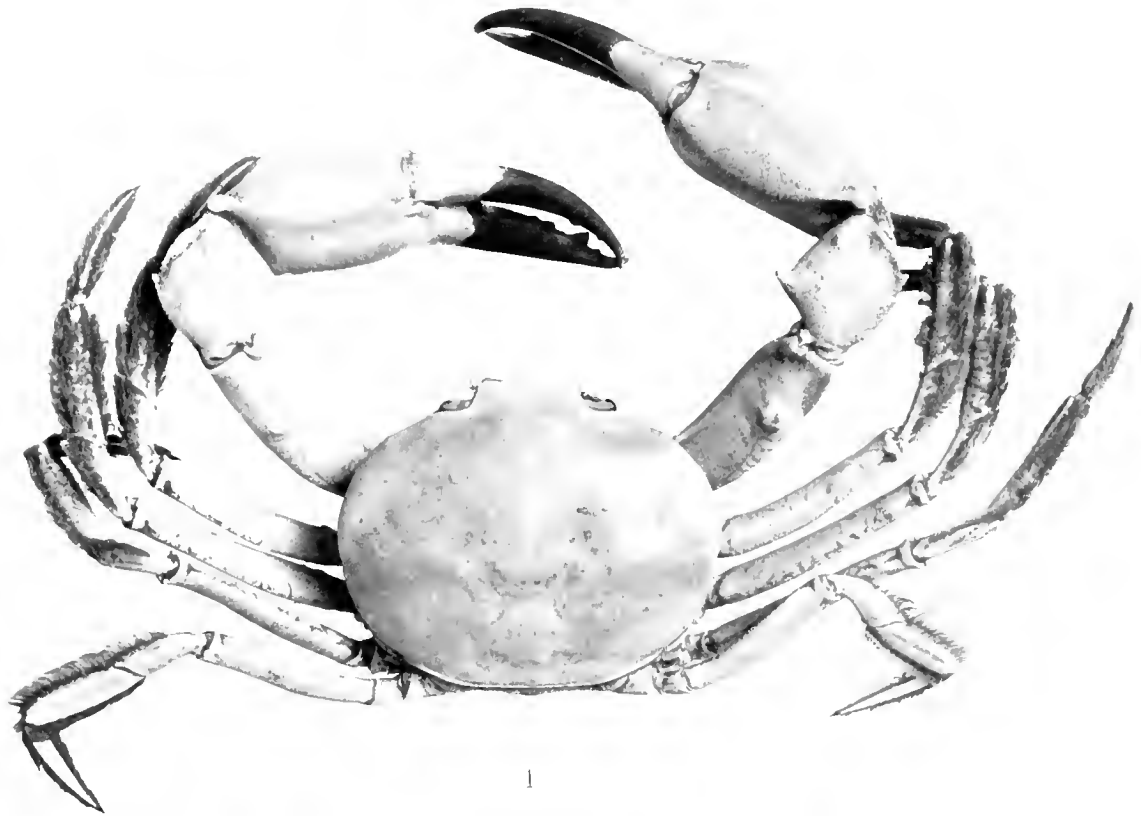


Geryon affinis M. E. s. Bour. ♀

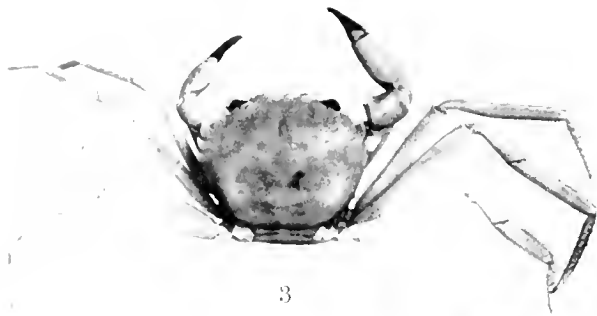
Tafel XXXV.

Tafel XXXV.

- Fig. 1. *Carcinoplax longimanus indicus* n. sbsp., ♂ juv. Nikobaren. S. 114.
„ 2. Dasselbe Tier von unten. S. 114.
„ 3. *Pilumnoplax americana* RAHBERG, ♂. Westlich von Sumatra. S. 118.
„ 4. Dasselbe Tier von unten. S. 118.



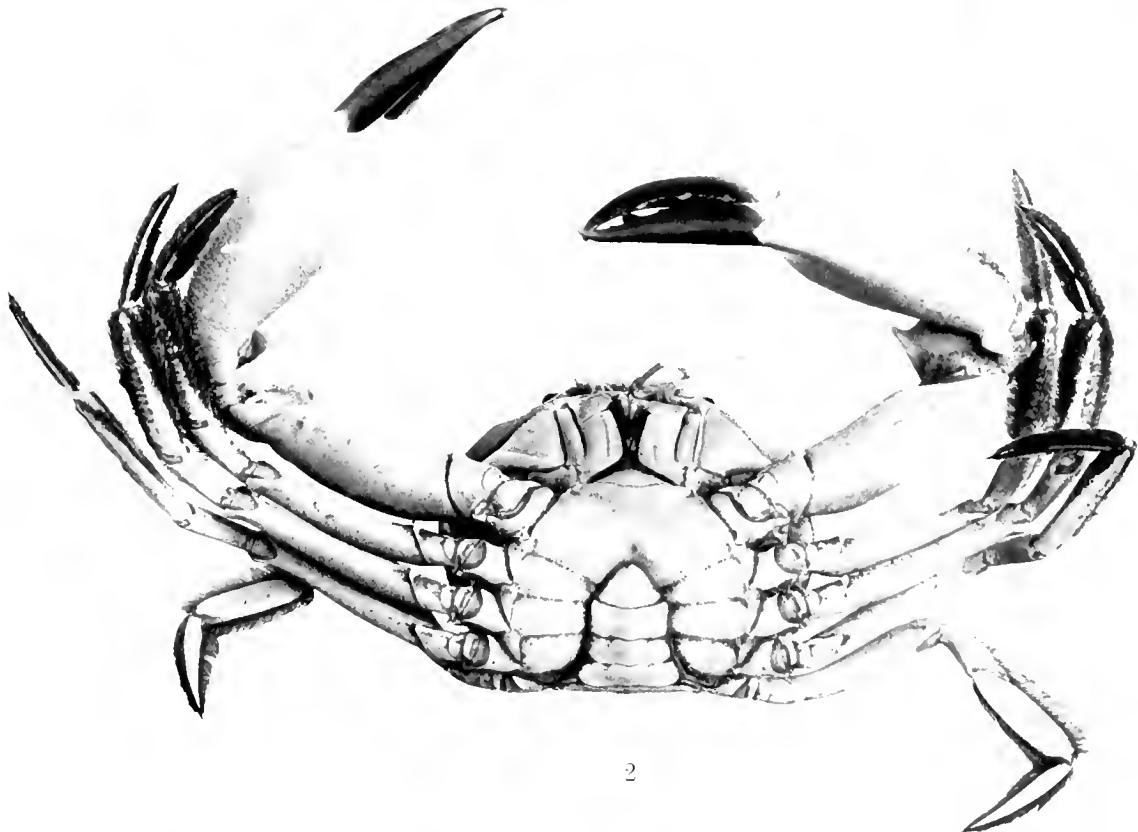
1



3



4



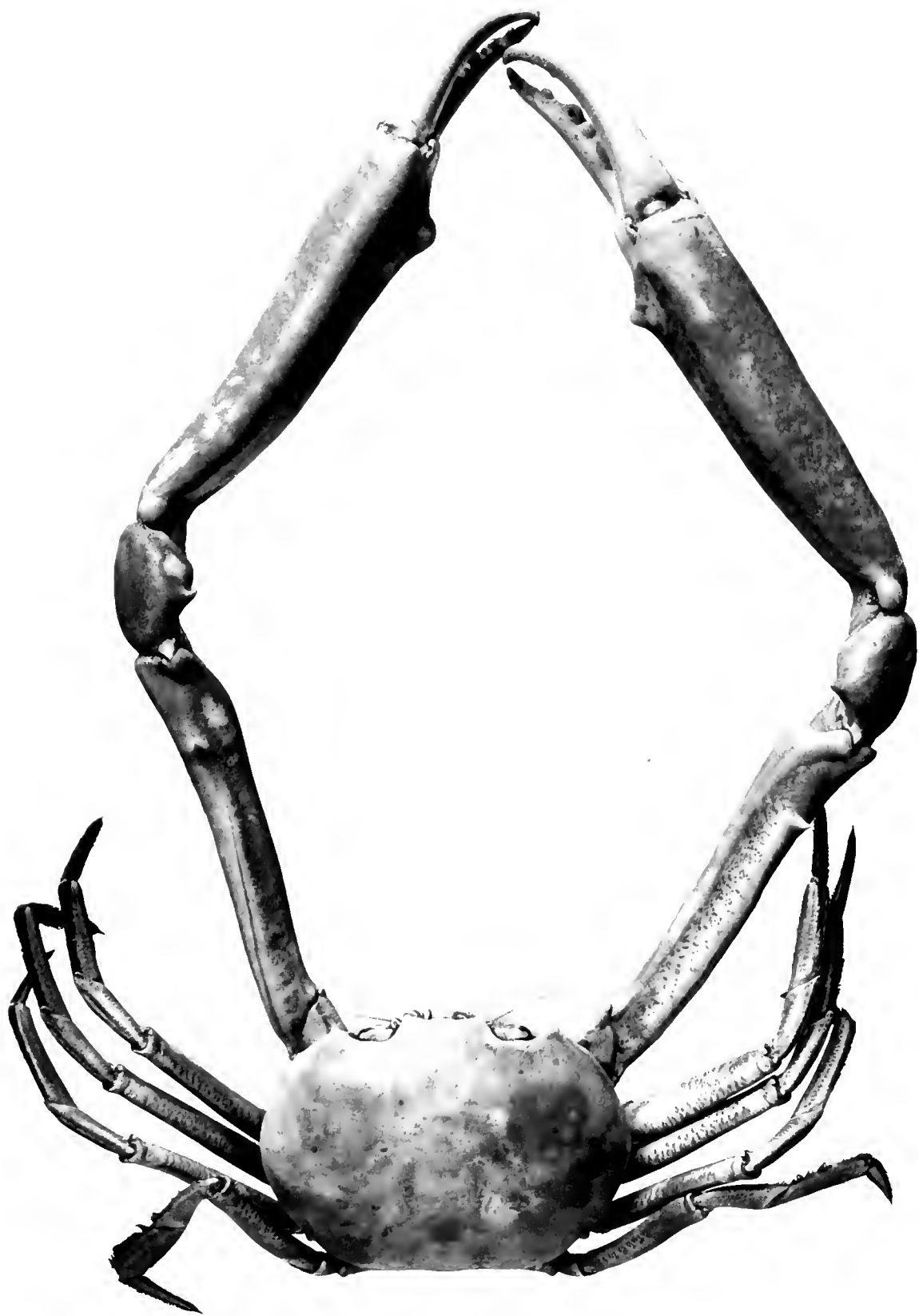
2

Carcinoplax longimanus indicus n. sbsp. ♂ juv., Fig. 1 & 2. *Pilumnoplax americana* Rathbun ♂ Fig. 3 & 4

Tafel XXXVI.

Tafel XXXVI.

Carcinoplaa longimanus typicus DE HAAN, ♂ adult. Japan. S. 115.

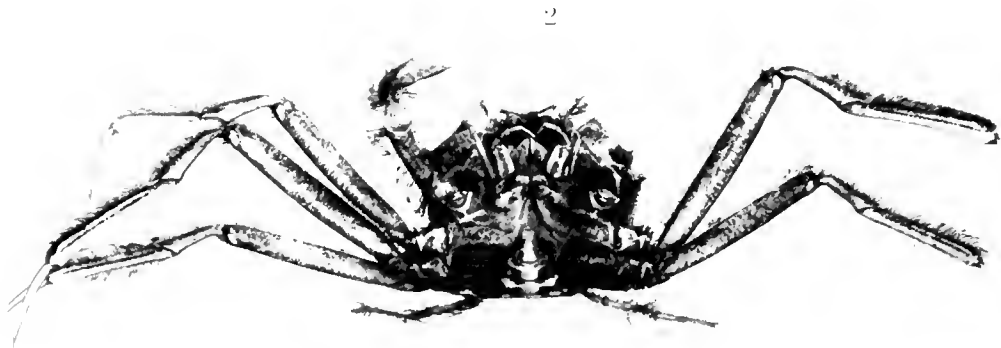


Carcinoplax longimanus typicus de Haan ♂ adult.

Tafel XXXVII.

Tafel XXXVII.

- Fig. 1. *Retrophuma Chuu* n. sp. Westlich von Sumatra. S. 131.
.. 2. Dasselbe Tier von unten. S. 131.
.. 3. *Pinnotheres* sp. 4. Algoabai. S. 124.
.. 4. Dasselbe Tier von unten. S. 124.
.. 5. *Pinnotheres villosissimus* n. sp. 2, aus *Muelleria lecanora* JAGG. Emmahaten. S. 125.
.. 6. Dasselbe Tier von unten. S. 125.



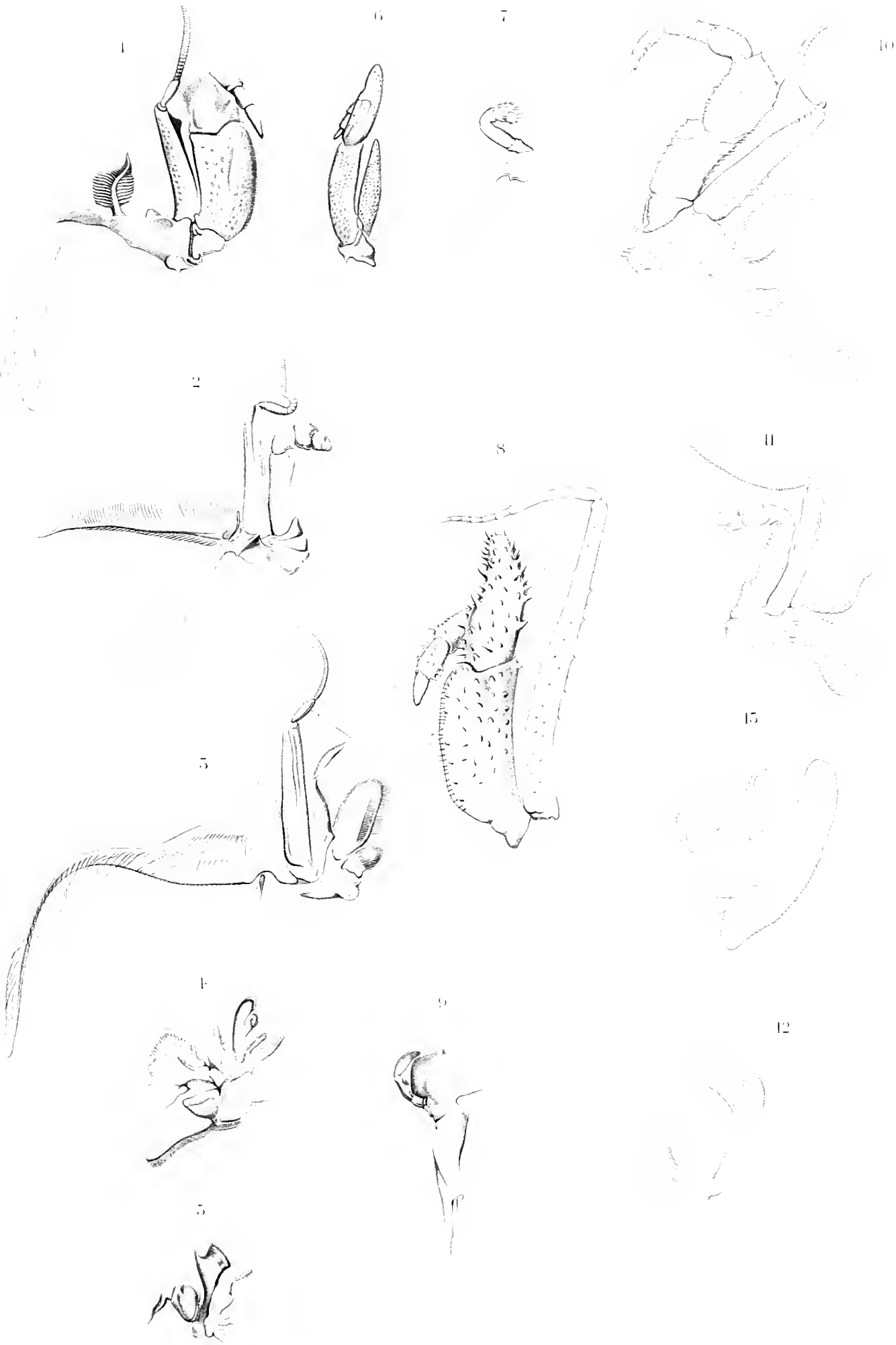
Retropluma chuni n. sp. (Fig. 1 & 2) *Pinnotheres* sp. 9 (Fig. 3 & 4)
Pinnotheres villosissimus n. sp. 6 (Fig. 5 & 6)

Tafel XXXVIII.

Tafel XXXVIII.

Mundgliedmaßen.

- Fig. 1. 2. Gnathopod von *Geryon affinis*.
.. 2. 1. Gnathopod von *Geryon affinis*.
.. 3. 3. Maxille von *Geryon affinis*.
.. 4. 2. Maxille von *Geryon affinis*.
.. 5. 1. Maxille von *Geryon affinis*.
.. 6. 2. Gnathopod von *Cyclodorippe uncinata*.
.. 7. 1. Gnathopod von *Cyclodorippe uncinata*.
.. 8. 2. Gnathopod von *Cymonomus granulatus* *Valdiviae*. Ostafrika.
.. 9. Mandibel von *Geryon affinis*.
.. 10. 2. Gnathopod von *Homolodromia Bouvieri* DÖF.
.. 11. 1. Gnathopod von *Homolodromia Bouvieri* DÖF.
.. 12. 3. Maxille von *Homolodromia Bouvieri* DÖF.
.. 13. 2. Maxille von *Homolodromia Bouvieri* DÖF.

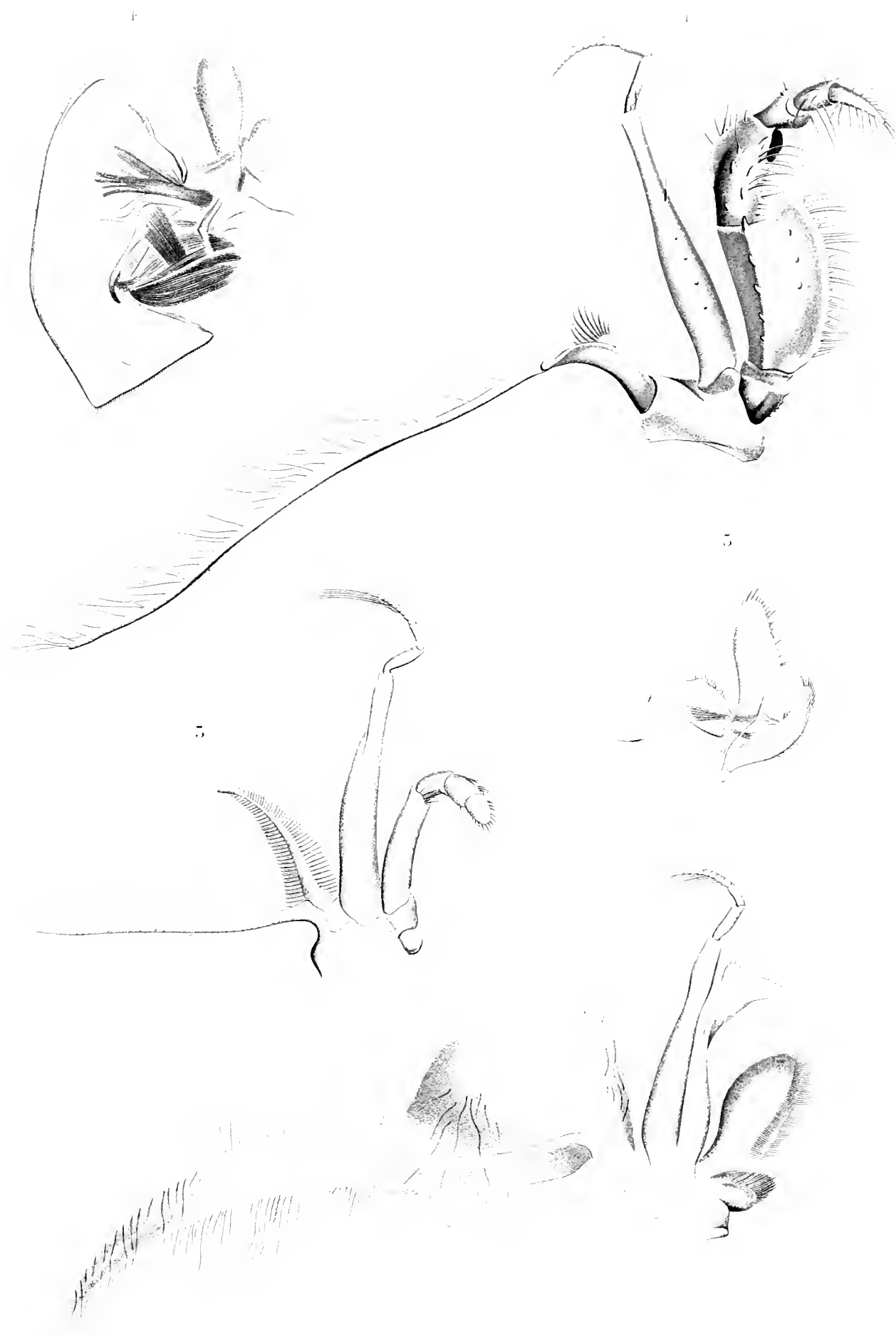


Tafel XXXIX.

Tafel XXXIX.

Mundgliedmaßen von *Piatymaia Wyville-Thomsoni* MEERS.

- Fig. 1. 2. Gnathopod.
" 2. 3. Maxille.
" 3. 1. Gnathopod.
" 4. 2. Maxille.
" 5. 1. Maxille.



Tafel XL.

Tafel XL.

Mundgliedmaßen von *Cyrtomaja Suhmi platyceros* MIERS.

- Fig. 1. 2. Gnathopod.
.. 2. 1. Gnathopod.
.. 3. Abdominalfuß (Pleopod). (Im Text S. 58 irrtümlich als Fig. 7 bezeichnet).
.. 4. 3. Maxille. (Im Text S. 57 irrtümlich als Fig. 3 bezeichnet).
.. 5. 1. Maxille.
.. 6. Mandibel.
.. 7. 2. Maxille. (Im Text S. 57 irrtümlich als Fig. 4 bezeichnet).



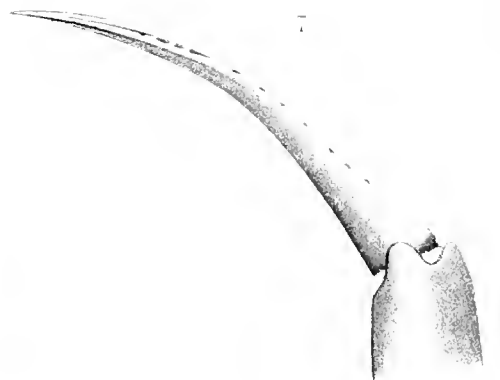
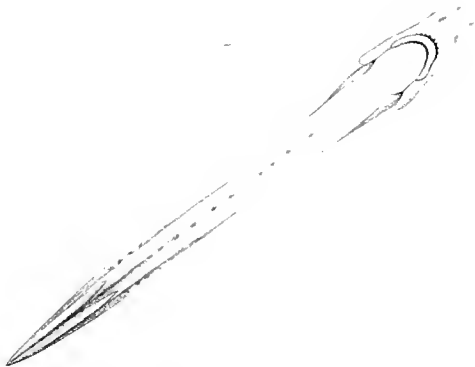
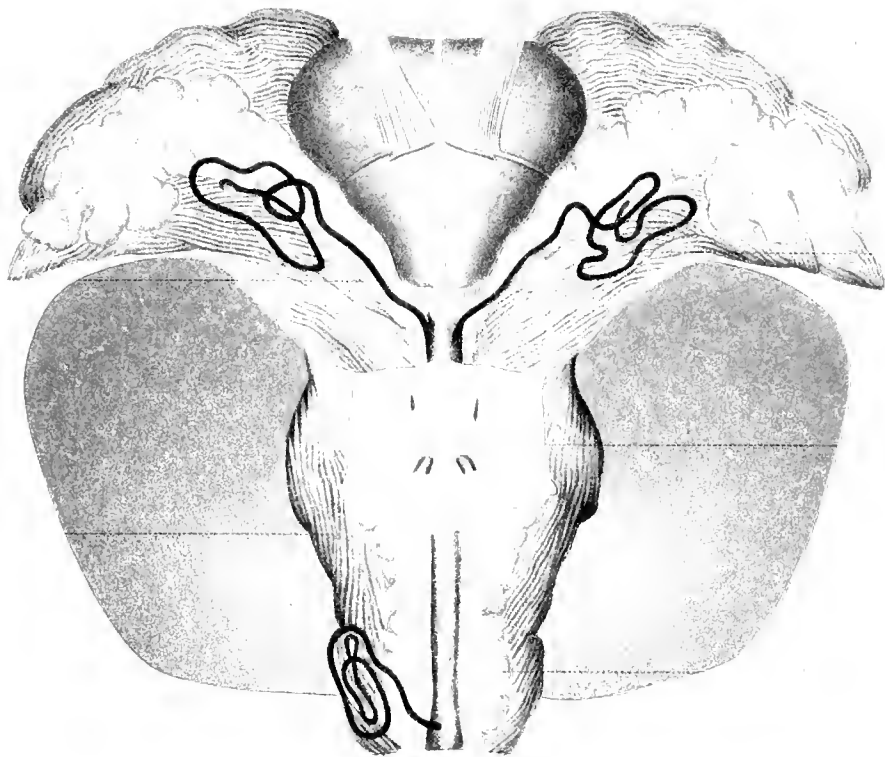
Cyrtomus submi platycerus n. subsp.

Tafel XLI.

Tafel XLI.

- Fig. 1. Geschlechtsfüße von *Benthochascon Hemingi*, ♂.
„ 2. Schere von *Benthochascon Hemingi*, ♂.
„ 3. Haare der Pleopoden mit zoöahaltigen und leeren Eihüllen von *Geryon affinis*.
„ 4. Anatomie von *Geryon affinis*.
„ 5. Daktylopodit der Schreitbeine von *Geryon affinis*.
„ 6. Geschlechtsfüße von *Geryon affinis*, ♂.
„ 7. Daktylopodit der Schreitbeine von *Geryon affinis*.

<i>A</i> Abdomen	<i>d</i> dreizackartige Bildung
<i>Ac</i> Arteria cephalica	<i>Ov</i> Ovar
<i>Aa</i> Arteria abdominalis	<i>LE</i> leere Eihüllen
<i>O</i> merkwürdige Bildung an der Schere (ob Sinnesorgan?)	<i>EE</i> zoöahaltige Eihüllen
<i>Ma</i> Magen	<i>G</i> 1. Geschlechtsfuß
<i>L</i> Leber	<i>G'</i> 2. Geschlechtsfuß

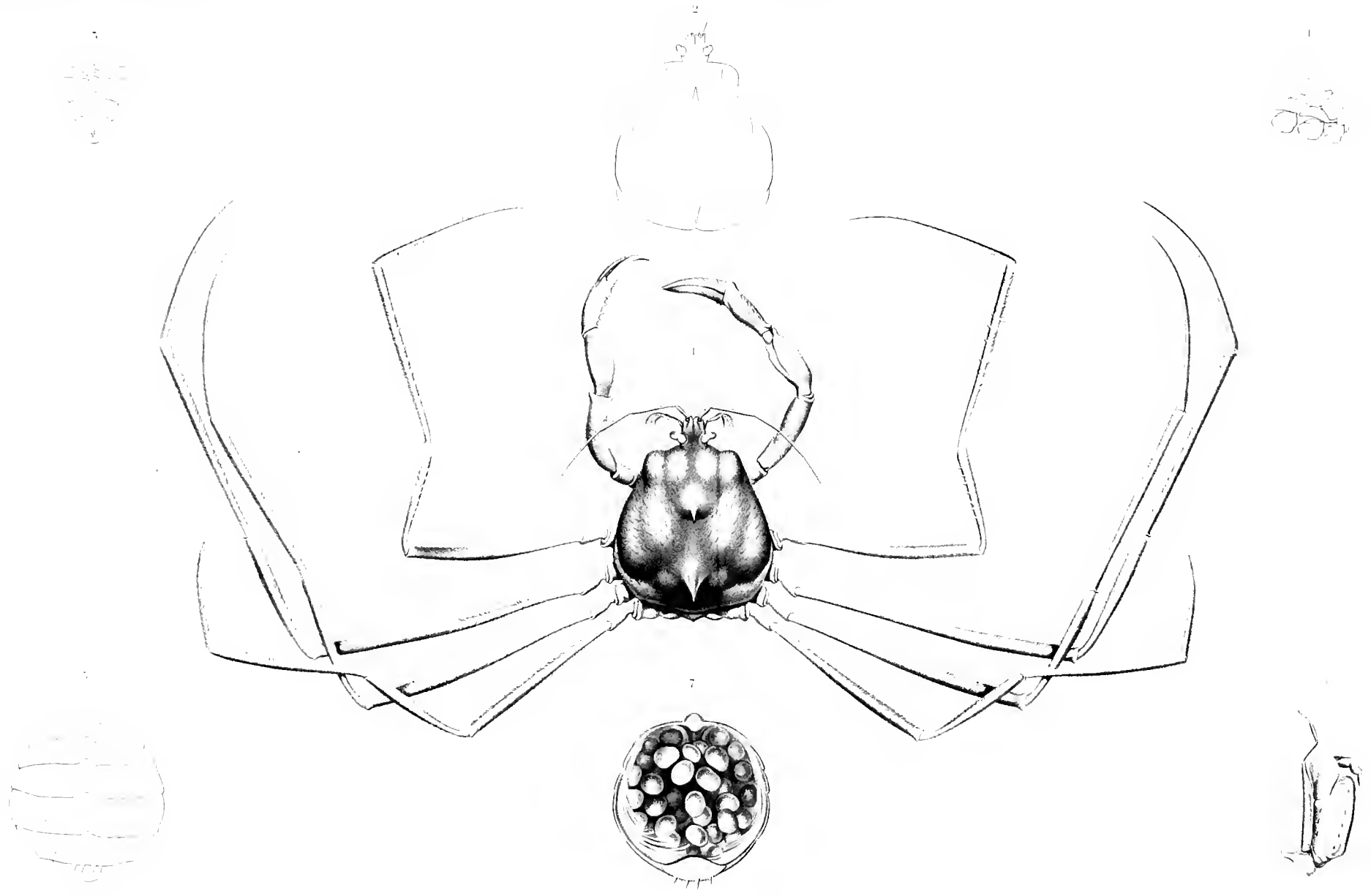


Tafel XLII.

Tafel XLII.

Physachaeus ctenurus.

- Fig. 1. Habitusbild eines ♂.
„ 2. Cephalothorax eines anderen Exemplares.
„ 3. Abdomen des ♂, von unten.
„ 4. Abdomen des ♂, von der Seite.
„ 5. Abdomen des ♀, von unten.
„ 6. 2. Gnathopod.
„ 7. Abdomen des ♀ von innen, mit den Eiern.



Tafel XLIII.

Tafel XLIII.

Innere und äußere Antennen.

- Fig. 1. *Homolochunia Valdiviae*. Innere Antenne.
„ 2. *Geryon affinis*. Außere Antenne.
„ 3. *Homolodromia Bouvieri*. Außere Antenne.
„ 4. *Cyrtomaia Suhmi platyceros*. Außere Antenne.
„ 5. *Platymaia Wyville-Thomsoni*. Außere Antenne.
„ 6. *Platymaia Wyville-Thomsoni*. Innere Antenne.
„ 7. *Physachacus ctenurus*. Außere Antenne.
„ 8. *Geryon affinis*. Innere Antenne.
„ 9. *Physachacus ctenurus*. Innere Antenne.
-



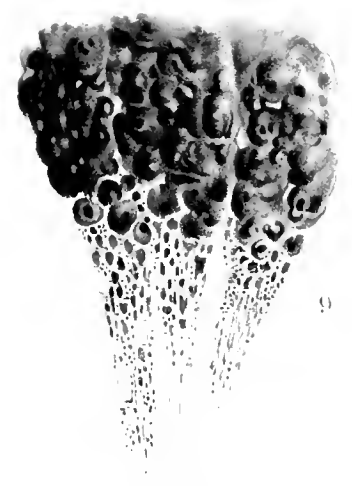
Tafel XLIV.

Tafel XLIV.

Augen.

- Fig. 1. *Ethusina abyssicola*. Auge total.
„ 2. *Ethusina abyssicola*. Dasselbe durchsichtig gemacht.
„ 3. *Ethusina abyssicola*. Desgleichen, Sagittalschnitt.
„ 4. *Ethusa somalica* Auge total, durchsichtig gemacht.
„ 5. *Ethusa somalica*. Sagittalschnitt durch dasselbe Auge.
„ 6. *Cymonomus granulatus typicus*, Auge total. Exemplar aus 440 m.
„ 7. *Cymonomus granulatus Valdiviac*. Rostrum mit Augen, durchsichtig gemacht. Exemplar aus 1000 m.
„ 8. *Ethusina abyssicola*. 2 Augenkeile im Schnittpräparat.
„ 9. *Ethusina abyssicola*. Teil des Nervus opticus.

Bezeichnungen wie auf S. 141/142.



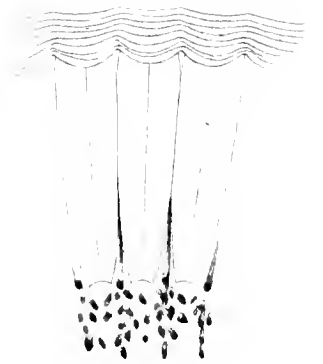
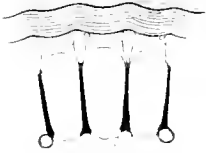
Tafel XLV.

Tafel XLV.

Augen.

- Fig. 1. *Cyrtomaia Suhmi platyceros*. Ganzes Auge.
„ 2. *Cyrtomaia Suhmi platyceros*. Dasselbe, durchsichtig gemacht.
„ 3. *Cyrtomaia Suhmi platyceros*. Sagittalschnitt durch das Auge.
„ 4. *Cyrtomaia Suhmi platyceros*. 3 Augenkeile desselben Auges.
„ 5. *Cyrtomaia Suhmi platyceros*. Tasthaare des Augenhorns.
„ 6. *Lispognathus Thomsoni*. Ganzes Auge.
„ 7. *Lispognathus Thomsoni*. 3 Augenkeile.

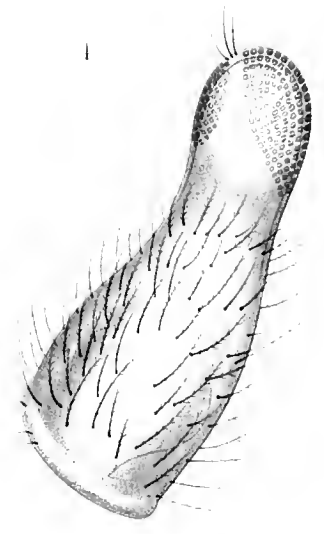
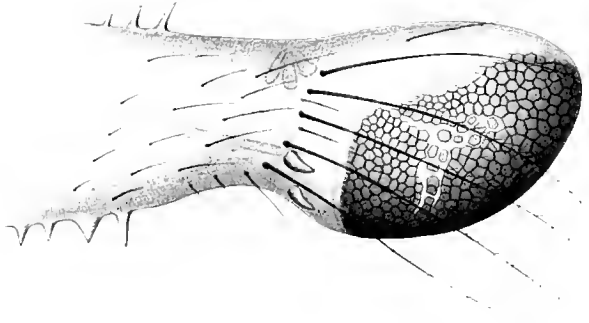
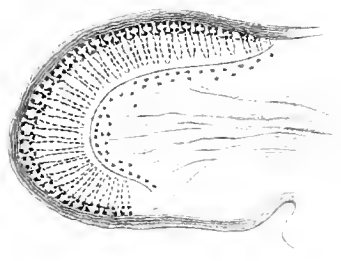
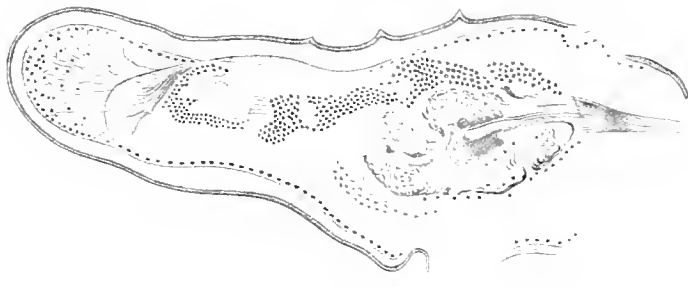
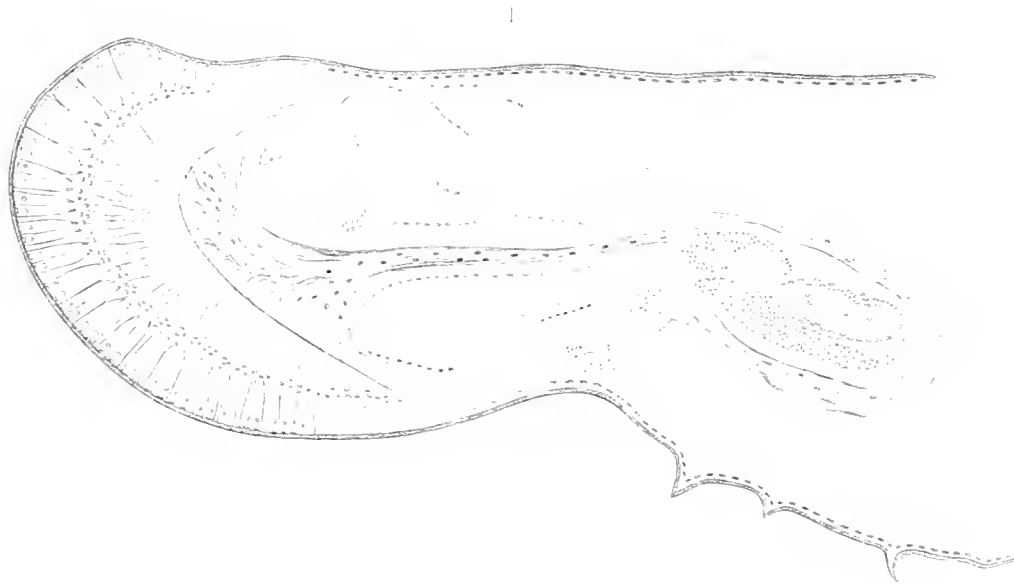
Bezeichnungen wie auf S. 141/142.



Tafel XLVI.

Tafel XLVI.

- Fig. 1. *Homolodromia Bouvieri* DOF. Sagittalschnitt durch das Auge.
„ 2. Dasselbe durchsichtig gemachte ganze Auge vor dem Schneiden.
„ 3. *Cyclodorippe uncifera melanomma* DOF. Schnitt.
„ 4. *Cyclodorippe uncifera melanomma* DOF. Dasselbe Auge total.
„ 5. *Cyclodorippe uncifera melanomma* DOF. 2 Augenkeile desselben Auges.
„ 6. *Cyclodorippe uncifera glaucomma* ALC. Ganzes Auge.
„ 7. *Cyclodorippe uncifera glaucomma*. Sagittalschnitt durch dasselbe Auge.
Bezeichnungen wie auf S. 141/142.



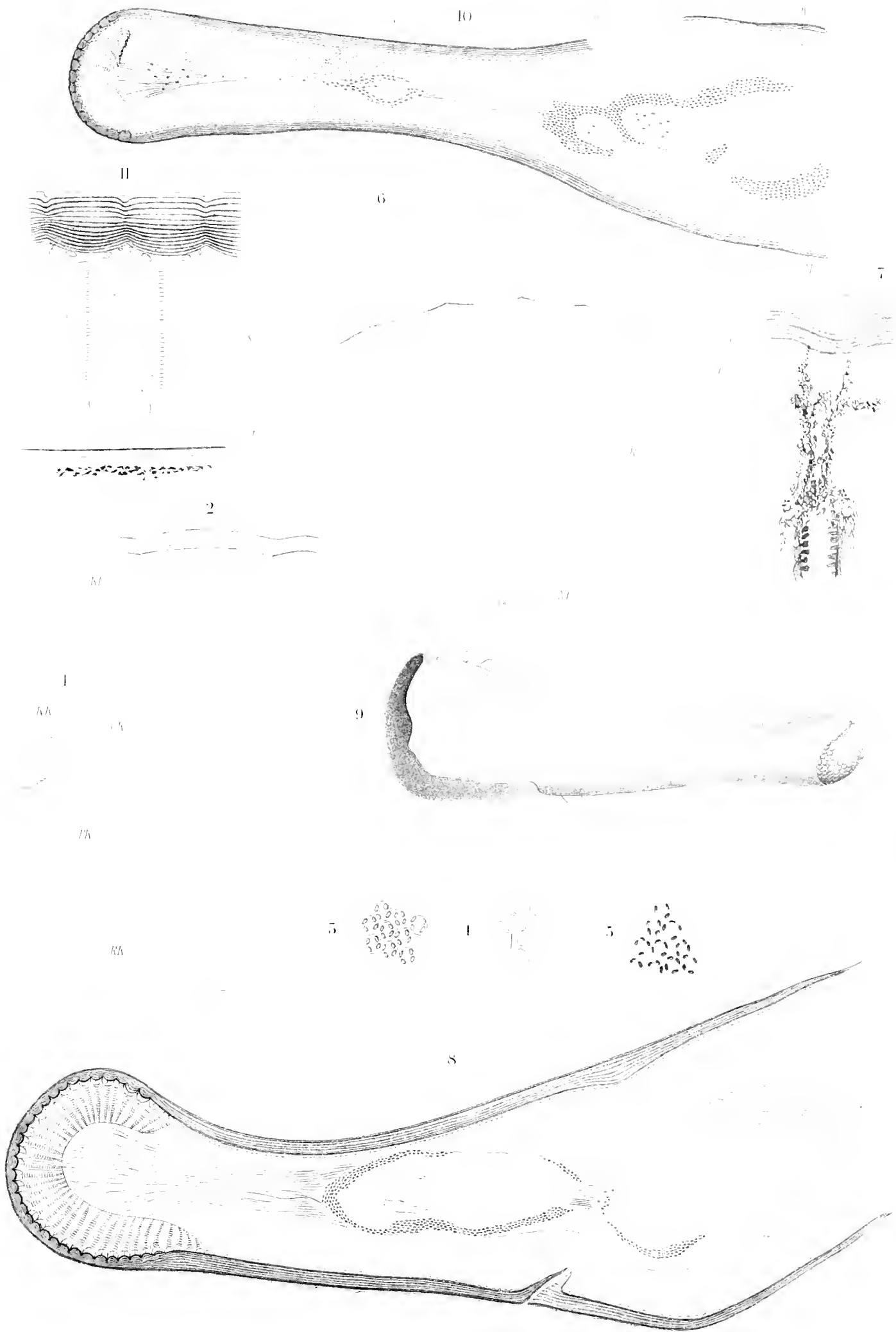
Tafel XLVII.

Tafel XLVII.

Augen.

- Fig. 1. *Homolodromia Bouvieri*. Schnitt durch Grenze von Krystallkegel und Corneafacette.
„ 2. *Homolodromia Bouvieri*. Oberer Teil eines Augenkeils.
„ 3. *Homolodromia Bouvieri*. Querschnitt durch den oberen Teil des Krystallkegels.
„ 4. *Homolodromia Bouvieri*. Querschnitt durch den mittleren Teil des Krystallkegels.
„ 5. *Homolodromia Bouvieri*. Querschnitt durch den oberen Teil des Stäbchens.
„ 6. *Cyclodorippe uncinifera glaucoma*. Teil des Sagittalschnittes durch ein Auge.
„ 7. *Cyclodorippe uncinifera glaucoma*. Augenkeil.
„ 8. *Cyclodorippe dromioides* ORIM. Sagittalschnitt durch das Auge.
„ 9. *Trichopeltarium Alcocki*. Ganzes Auge.
„ 10. *Trichopeltarium Alcocki*. Sagittalschnitt durch dasselbe Auge.
„ 11. *Trichopeltarium Alcocki*. 2 Augenkeile.

Bezeichnungen wie auf S. 141/141.



1. *Himantopus* sp. 2. *Himantopus* sp. 3. *Himantopus* sp. 4. *Himantopus* sp. 5. *Himantopus* sp. 6. *Himantopus* sp. 7. *Camarosiphon melanorma* Des. 8. *Himantopus* sp. 9. *Himantopus* sp. 10. *Himantopus* sp.

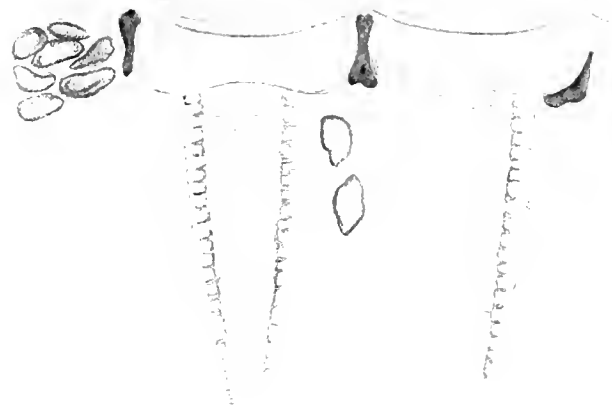
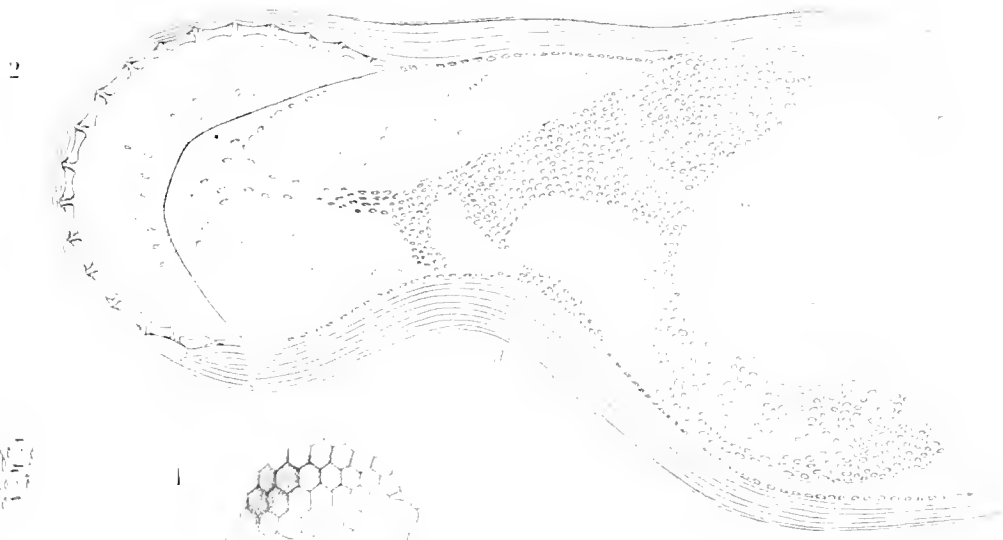
Tafel XLVIII.

Tafel XLVIII.

Auge von *Physachacus denurus*.

- Fig. 1. Ganzes Auge.
„ 2. Sagittalschnitt durch dasselbe.
„ 3. Seitlicher Schnitt durch das Ganglion opticum.
„ 4. Zwei Augenkeile.
„ 5. Flachschnitt durch eine Corneafacette.
„ 6. Sagittalschnitt durch eine Corneafacette, zeigt die eigenartigen Pigmentbrocken.
„ 7. Desgleichen.
„ 8. Querschnitte durch die Krystallkegel.
„ 9. Querschnitte durch deren unteren Teil mit dem oberen Ende des Stäbchens.
„ 10. Querschnitte durch den unteren Teil der Stäbchen.
„ 11. Bindegewebe des Augenstiels bei *Physachacus denurus*.

Bezeichnungen wie auf S. 141/142.



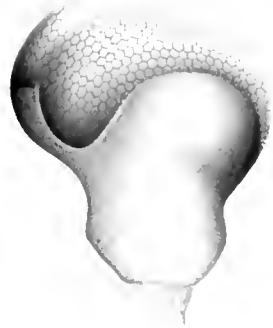
Tafel XLIX und L.

Tafel XLIX und L.

Totalbilder von Augen.

- Fig. 1. *Geryon affinis*.
„ 2. *Platymaia Wyville-Thomsoni*. Stadium IV.
„ 3. *Homolochunia Valdiviae*.
„ 4. *Hypsophrys longipes*.
„ 5. *Platymaia Wyville-Thomsoni*. Stadium VII.
„ 6. Dasselbe Auge von oben, schwächer vergrößert.
„ 7. *Hevaflax megalops*.

Alle stark vergrößert.



Tafel LI.

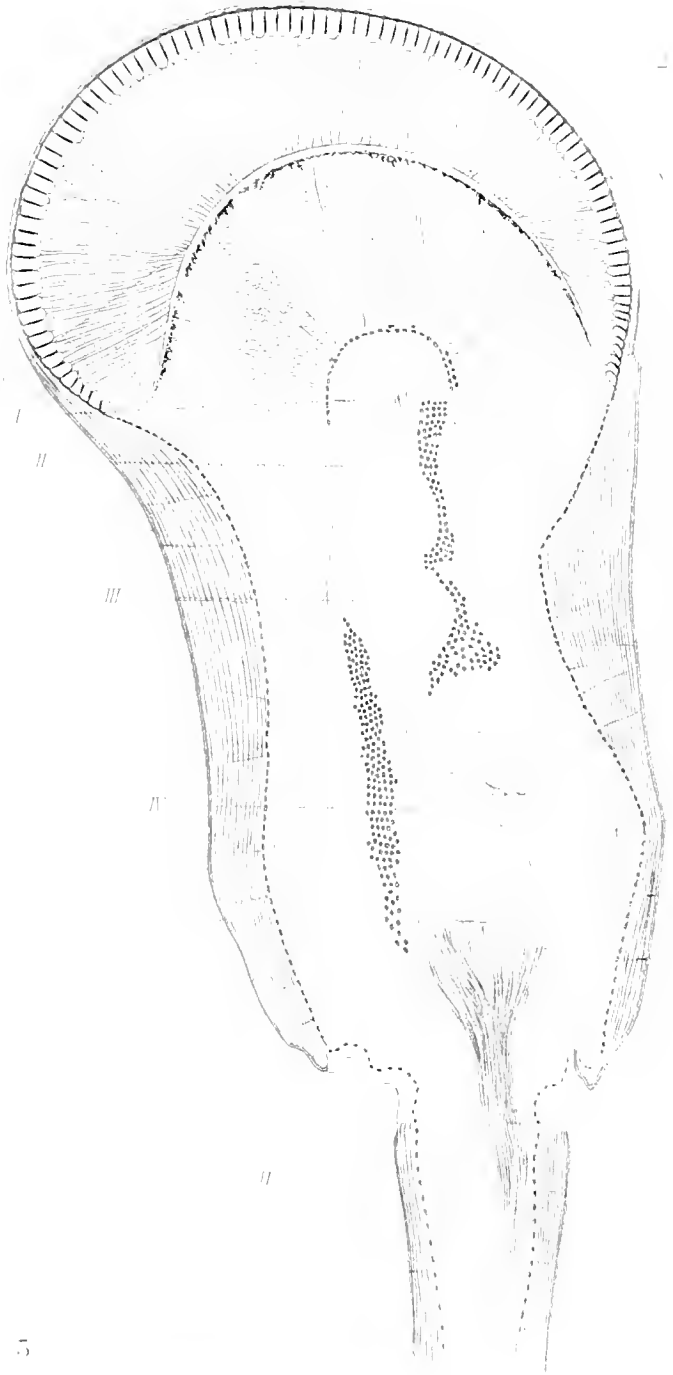
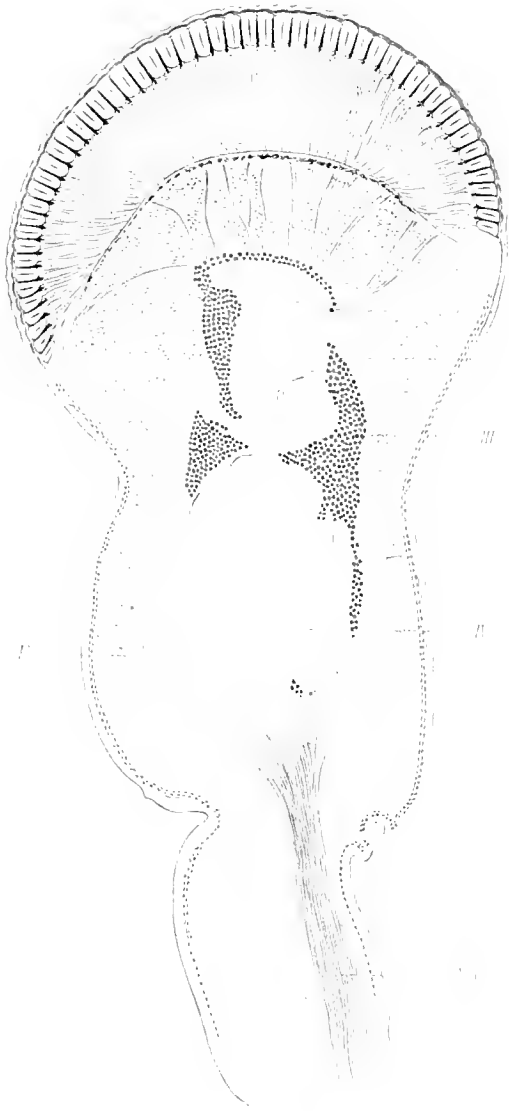
Tafel LI.

Augen.

- Fig. 1. *Hypsophrys longipes*. Sagittalschnitt.
„ 2. *Homolochunia Valdiviac*. Sagittalschnitt.
„ 3. *Platymaia Wycille-Thomsoni*. Sagittalschnitt. Nur Augenkeile eingezeichnet unter Weglassung der Nerven und Ganglien.

Bezeichnungen wie auf S. 141/142.

<i>H</i> Blatthaare	<i>W</i> Wachstumszone
<i>Ta</i> Tapetum	<i>F</i> Füllgewebe



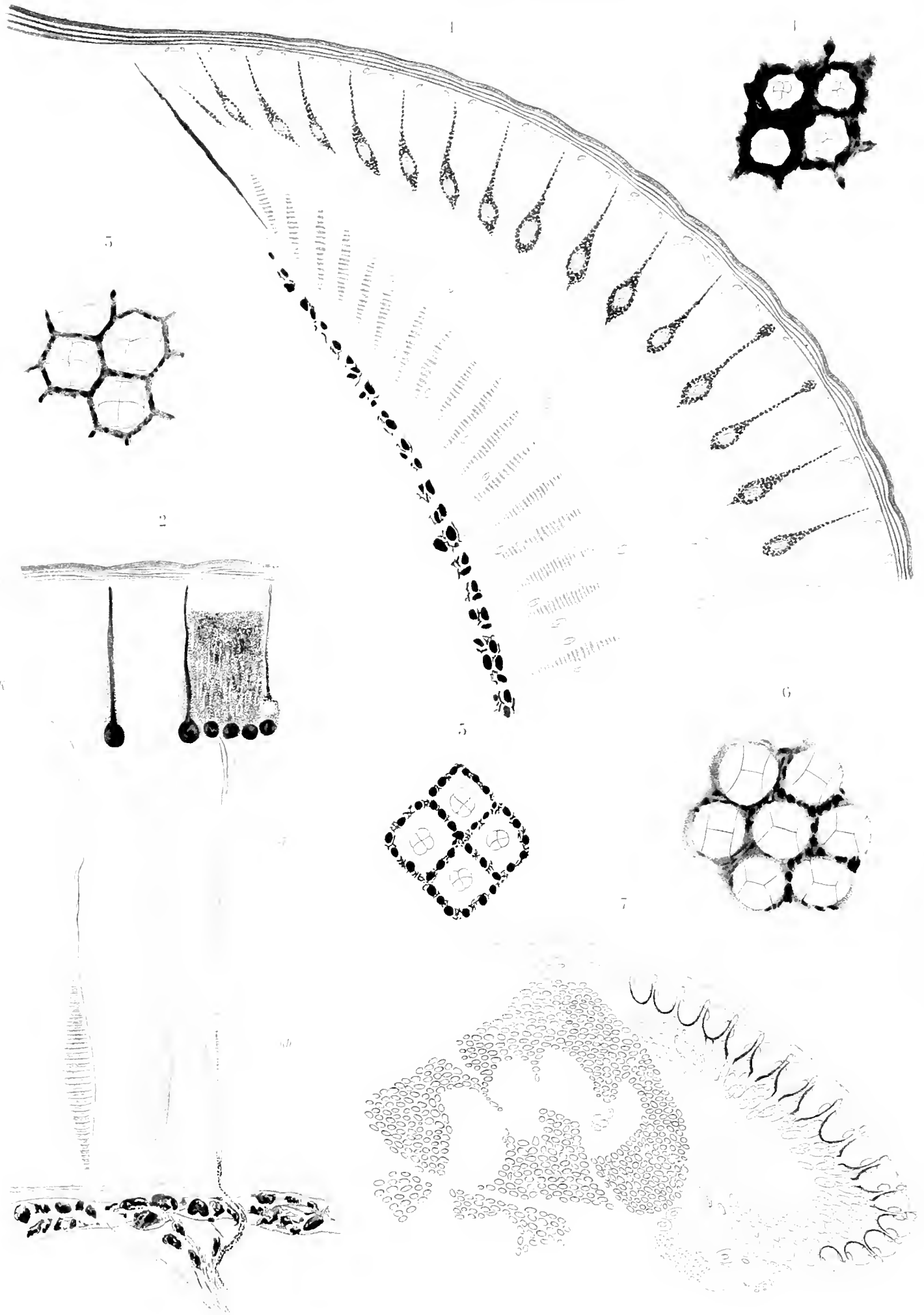
Tafel LII.

Tafel LII.

Augen.

- Fig. 1. *Hypsophrys longipes*. Wachstumszone eines ziemlich ausgewachsenen Auges.
„ 2. *Hypsophrys longipes*. Ausgewachsene Augenkeile des gleichen Auges.
„ 3. *Hypsophrys longipes*. Querschnitt durch den distalen Teil der Krystallkegel.
„ 4. *Hypsophrys longipes*. Querschnitt durch den mittleren Teil der Krystallkegel.
„ 5. *Hypsophrys longipes*. Querschnitt durch den Uebergangsteil zwischen Krystallkegel und Rhabdom.
„ 6. *Cyrtomaia Suhmi*. Querschnitt durch die Krystallkegel.
„ 7. Auge der noch in der Eihülle befindlichen Zoëa von *Gezyon affinis*.

Bezeichnungen wie auf S. 141/142.



15. *Thysanotus longifolius* (Nutt.) C. Gray; 16. *Cyrtocarpus* (Summ.) Gray; 17. *Corydon affinis* Nutt.

Tafel LIII.

Tafel LIII.

Augen von *Platymaia Wyville-Thomsoni* MERS.

- Fig. 1. Auge von Stadium I. Sagittalschnitt.
„ 2. Auge von Stadium IV. Sagittalschnitt.
„ 3. Querschnitte durch die Augenkeile von Stadium I:
A) in der Region der Corneafacetten,
B) im distalen Teil der Krystallkegel,
C) im mittleren Teil der Krystallkegel,
D) in der distalen Region der Stäbchen,
E) Querschnitt durch den mittleren kernlosen Teil der Krystallkegel.
Bezeichnungen wie auf S. 141/142.

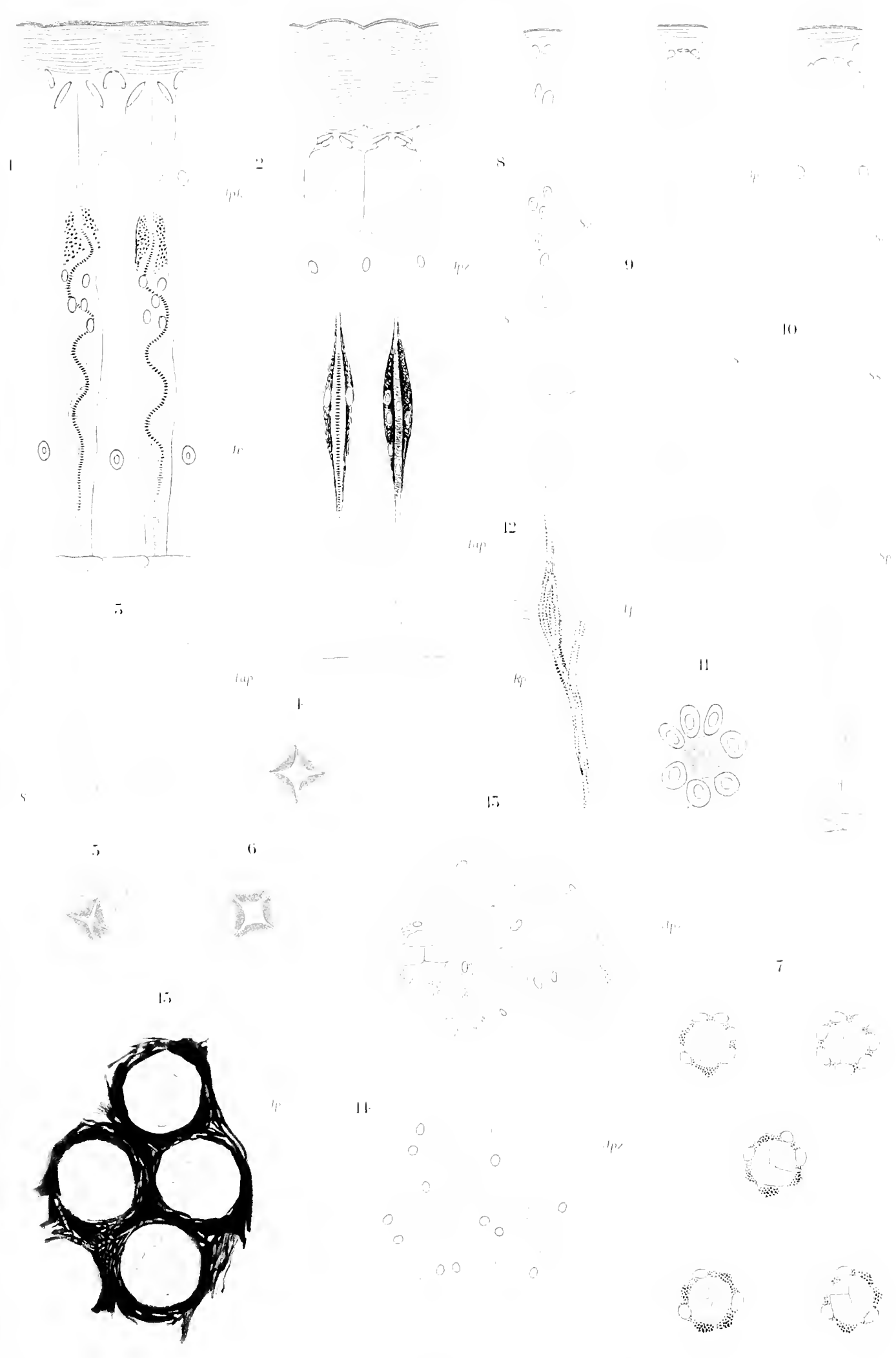


Tafel LIV.

Tafel LIV.

- Fig. 1. *Platymaia Wyville-Thomsoni*. Augenkeile von Stadium IV.
„ 2. *Platymaia Wyville-Thomsoni*. Augenkeile von Stadium VII.
„ 3. *Platymaia Wyville-Thomsoni*. Tapetum und Durchtrittsstellen der Stäbchen.
„ 4. *Platymaia Wyville-Thomsoni*. Querschnitt durch den oberen Teil der Stäbchen.
„ 5. Desgleichen.
„ 6. Desgleichen.
„ 7. *Platymaia Wyville-Thomsoni*. Stadium IV. Querschnitte durch den Uebergangsteil zwischen Krystallkegel und Stäbchen.
„ 8. *Pleistacantha Mosleyi*. Entwicklungsstadium der Augenkeile aus einem Auge vom Stadium I.
„ 9. Desgleichen.
„ 10. Desgleichen.
„ 11. *Pleistacantha Mosleyi*. Stadium I. Querschnitt durch das obere Stäbchenende.
„ 12. *Pleistacantha Mosleyi*. Stadium II. Proximales Stäbchenende mit schwachem Retinapigment.
„ 13. *Pleistacantha Mosleyi*. Stadium I. Mittlere Region der Krystallkegel mit Irispigmentzellen, ohne Pigment.
„ 14. *Pleistacantha Mosleyi*. Dasselbe weiter proximal.
„ 15. *Pleistacantha Mosleyi*. Stadium III. Querschnitt durch die distale Region der Stäbchen; starkes Irispigment.

Bezeichnungen wie auf S. 141, 142



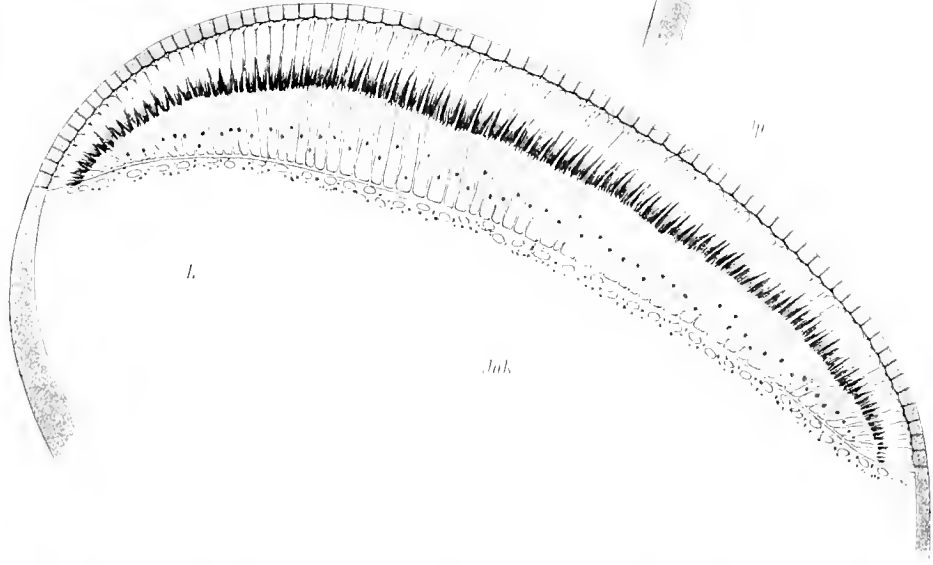
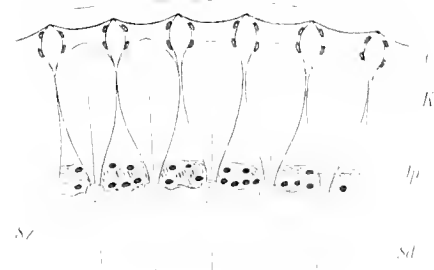
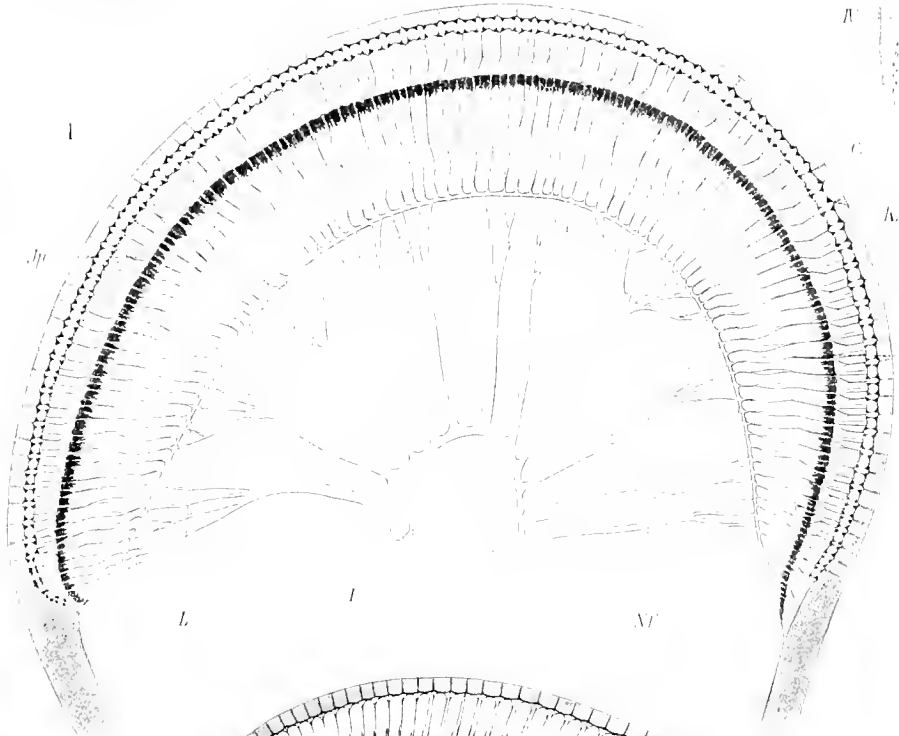
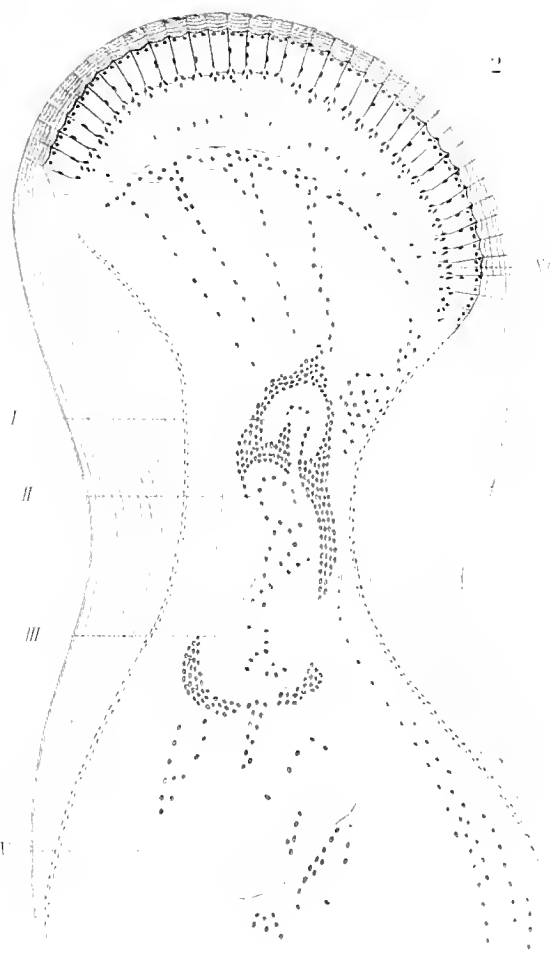
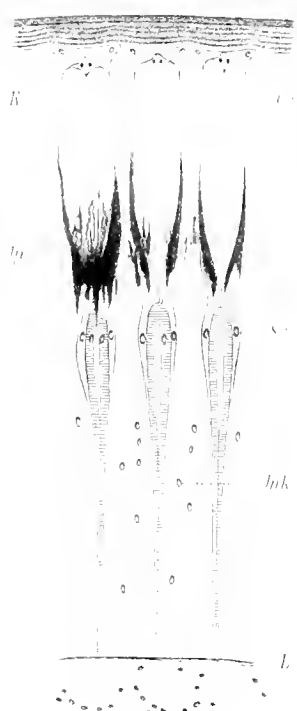
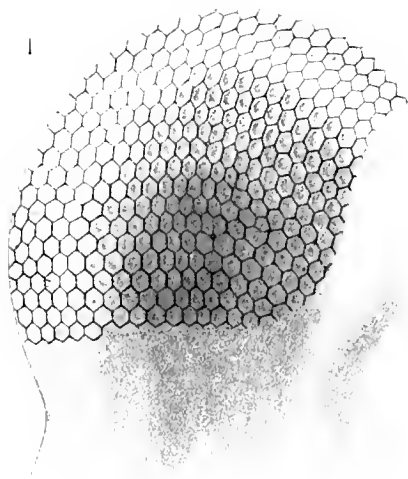
Tafel LV.

Tafel LV.

Augen.

- Fig. 1. *Scyramathia Rivers-Andersoni*. Auge total, durchsichtig gemacht.
„ 2. *Scyramathia Rivers-Andersoni*. Längsschnitt durch das gleiche Auge.
„ 3. *Geryon affinis*. 3 Augenkeile.
„ 4. *Pleistacantha Mosleyi*. Stadium III. Sagittalschnitt durch das Auge.
„ 5. *Pleistacantha Mosleyi*. Stadium I. Teil eines Sagittalschnittes.
„ 6. *Geryon affinis*. Sagittalschnitt durch den distalen Teil des Auges.

Bezeichnungen wie auf S. 141/142.



Polysiphonia ... *Polysiphonia* ...

Tafel LVI.

Tafel LVI.

Innere Antennen.

- Fig. 1. *Homolodromia Bouvieri*. Ganze innere Antenne.
„ 2. *Homolodromia Bouvieri*. Aus verschiedenen Schnitten rekonstruierter Durchschnitt durch dieselbe.
„ 3. *Physachacus denurus*. 3 Stielglieder der inneren Antenne.
„ 4. *Cyclodorippe uncinifera glaucoma*. Totalbild des durchsichtig gemachten Objektes.
„ 5. *Cymonomus granulatus Valdiviae*. Totalbild des durchsichtig gemachten Objektes.
„ 6. *Cyrtomaia Suhmi platyceros*. Totalbild des durchsichtig gemachten Objektes. (Innere Antenne der rechten Seite.)
„ 6a. *Cyrtomaia Suhmi platyceros*. Abnorm gestaltete Endglieder der Außengeißel der inneren Antennen der linken Seite.

Ag Außengeißel

Ig Innengeißel

Rh Riechhaare

Rn Riechnerv

M Muskel

IIIb Statocyste

R Geruchspindeln

Tn Terminalnerven

Lo Lobus osphradicus

Lo' Lobus osphradicus der Gegenseite



Tafel LVII.

Tafel LVII.

Innere Antennen.

- Fig. 1. *Platymaia Wyville-Thomsoni* MERS. Innervierung der Riechhaare.
„ 2. *Homolodromia Bouvieri* DOB. Innervierung der Riechhaare.
„ 3. *Cyclodorippe uncifera glaucoma* (ALC.). Eintritt der Terminalnerven in die Außengeißel der inneren Antenne.

A_g Außengeißel

I_g Innengeißel

I_{gn} Nerv der Innengeißel

Lo Lobus osphradicus

Rh Riechhaare

Rn Riechnerv

Rn' distaler Teil des Riechnerven

Rp Geruchspindeln

Tan Tasthaarnerv

Tn Terminalnerv

III 3. Stielglied

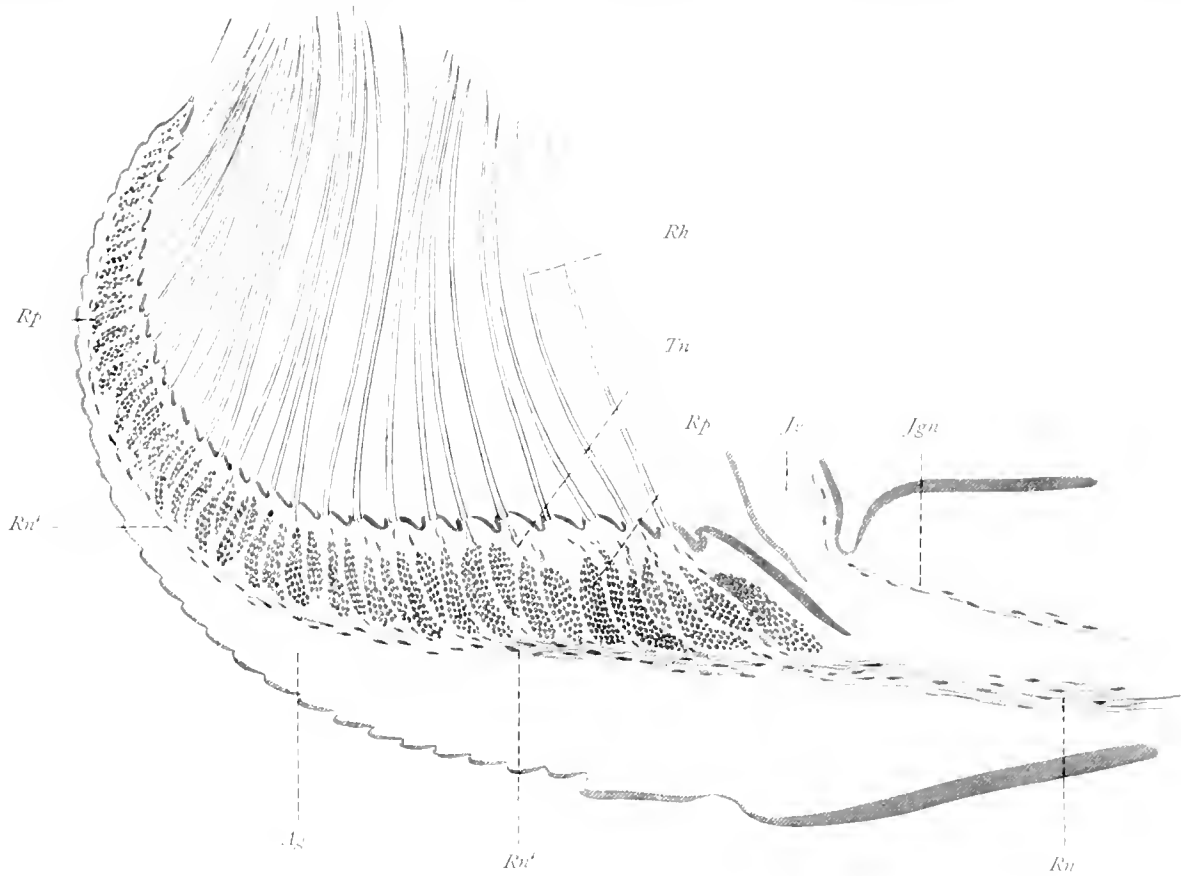


Fig. 1.

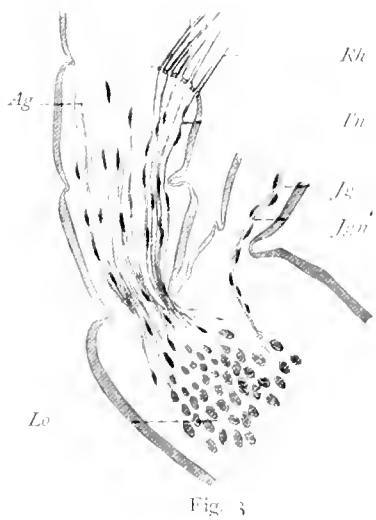


Fig. 3.

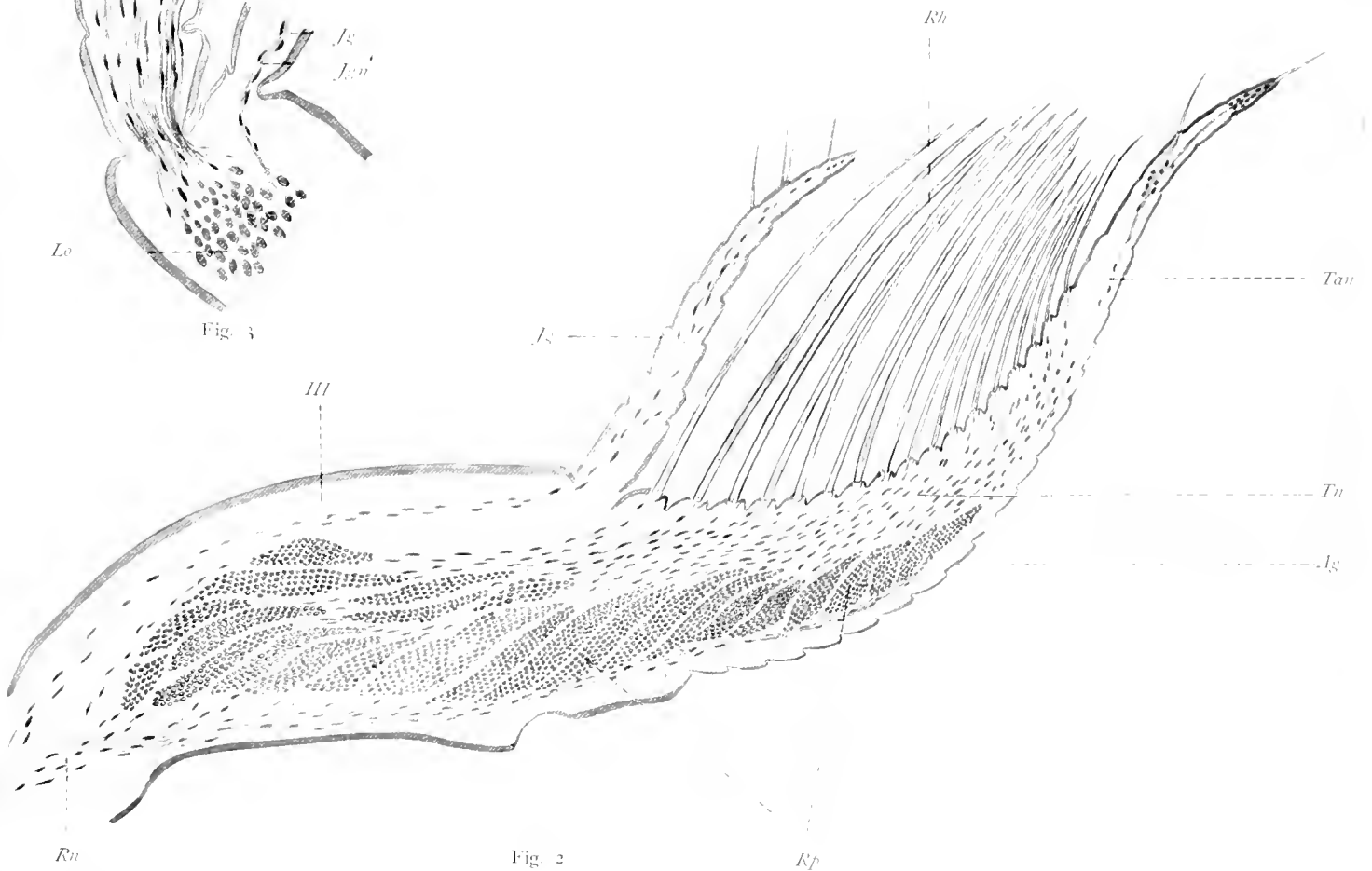


Fig. 2.

Gez. von Lorenz Müller-Mann.

1. *Platymaia Wyville-Thomsoni* MRS. 2. *Homolodromia Boutvieri* DOFL. 3. *Cyclodorippe uncifera glaucomma* (ALC).

Verlag von Gustav Fischer in Jena.

Tafel LVIII.

Tafel LVIII.

Innere Antennen.

- Fig. 1. *Physachacus tenuis*. Anordnung der Riechspindeln.
„ 2*) *Geryon affinis*. Endteil der inneren Antenne.
„ 3*) Spitze eines Riechhaares.
„ 4*) Basalteil eines Riechhaares.

Bezeichnungen wie auf Tafel LVI u. LVII.

*) Auf S. 180 als Taf. LIX. Fig. 1—3 bezeichnet.

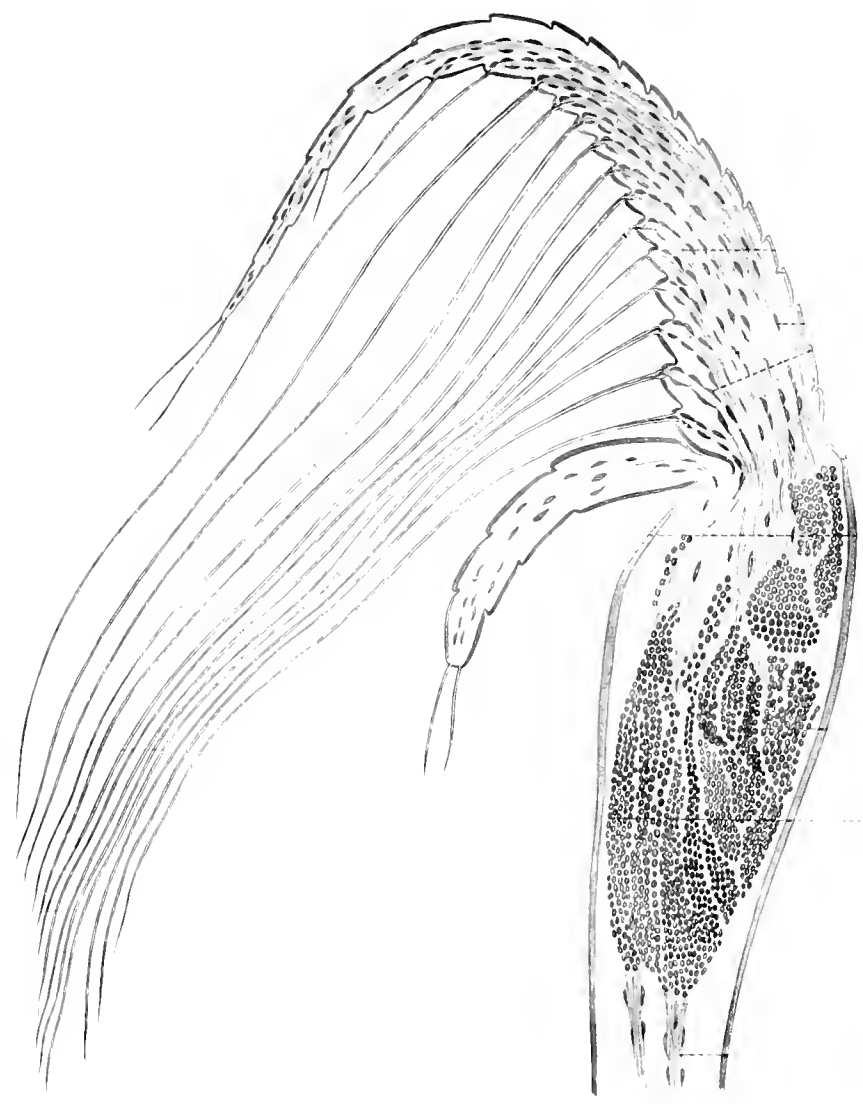


Fig. 1.

A.
B.
C.
D.
E.
F.
G.
H.



Fig. 2.



Fig. 3.



Fig. 4.

Physichinus dentatus

Physichinus dentatus A-D, Geayon affinis M-F, B, C, D

Physichinus dentatus

Wissenschaftliche Ergebnisse der Deutschen Tiefsee-Expedition

auf dem Dampfer „Valdivia“ 1898/1899

Im Auftrage des Reichsamts des Innern

Carl Chun

Lehrer an der Universität zu Bonn

Oceanographie und maritime Meteorologie

Band I des Unternehmens

Herrn Dr. Gerhard Schott

in Bonn

Oceanographie und maritime Meteorologie

Im Auftrage des Reichs-Marine-Amtes

Dr. Gerhard Schott,

Lehrer an der Universität zu Bonn, Mitglied der Expedition

Mit 20 Tafeln in 10 Hefen, 100 Abbildungen, 1 Atlas von 20 Tafeln

100 Abbildungen, 1 Atlas von 20 Tafeln

100 Abbildungen, 1 Atlas von 20 Tafeln

100 Abbildungen, 1 Atlas von 20 Tafeln

100 Abbildungen, 1 Atlas von 20 Tafeln

100 Abbildungen, 1 Atlas von 20 Tafeln

100 Abbildungen, 1 Atlas von 20 Tafeln

100 Abbildungen, 1 Atlas von 20 Tafeln

100 Abbildungen, 1 Atlas von 20 Tafeln

100 Abbildungen, 1 Atlas von 20 Tafeln

100 Abbildungen, 1 Atlas von 20 Tafeln

100 Abbildungen, 1 Atlas von 20 Tafeln

100 Abbildungen, 1 Atlas von 20 Tafeln

100 Abbildungen, 1 Atlas von 20 Tafeln

100 Abbildungen, 1 Atlas von 20 Tafeln

100 Abbildungen, 1 Atlas von 20 Tafeln

100 Abbildungen, 1 Atlas von 20 Tafeln

100 Abbildungen, 1 Atlas von 20 Tafeln

100 Abbildungen, 1 Atlas von 20 Tafeln

100 Abbildungen, 1 Atlas von 20 Tafeln

100 Abbildungen, 1 Atlas von 20 Tafeln

100 Abbildungen, 1 Atlas von 20 Tafeln

100 Abbildungen, 1 Atlas von 20 Tafeln

100 Abbildungen, 1 Atlas von 20 Tafeln

100 Abbildungen, 1 Atlas von 20 Tafeln

100 Abbildungen, 1 Atlas von 20 Tafeln

100 Abbildungen, 1 Atlas von 20 Tafeln

100 Abbildungen, 1 Atlas von 20 Tafeln

100 Abbildungen, 1 Atlas von 20 Tafeln

100 Abbildungen, 1 Atlas von 20 Tafeln

100 Abbildungen, 1 Atlas von 20 Tafeln

100 Abbildungen, 1 Atlas von 20 Tafeln

100 Abbildungen, 1 Atlas von 20 Tafeln

100 Abbildungen, 1 Atlas von 20 Tafeln

100 Abbildungen, 1 Atlas von 20 Tafeln

100 Abbildungen, 1 Atlas von 20 Tafeln

100 Abbildungen, 1 Atlas von 20 Tafeln

100 Abbildungen, 1 Atlas von 20 Tafeln

100 Abbildungen, 1 Atlas von 20 Tafeln

100 Abbildungen, 1 Atlas von 20 Tafeln

100 Abbildungen, 1 Atlas von 20 Tafeln

100 Abbildungen, 1 Atlas von 20 Tafeln

100 Abbildungen, 1 Atlas von 20 Tafeln

100 Abbildungen, 1 Atlas von 20 Tafeln

100 Abbildungen, 1 Atlas von 20 Tafeln

100 Abbildungen, 1 Atlas von 20 Tafeln

100 Abbildungen, 1 Atlas von 20 Tafeln

100 Abbildungen, 1 Atlas von 20 Tafeln

100 Abbildungen, 1 Atlas von 20 Tafeln

100 Abbildungen, 1 Atlas von 20 Tafeln

100 Abbildungen, 1 Atlas von 20 Tafeln

Band IV des Unternehmens

Hexactinellidae

Fr. E. Schulze

Lehrer an der Universität zu Bonn

in Bonn

in Bonn

in Bonn

in Bonn

in Bonn

in Bonn

in Bonn

in Bonn

in Bonn

in Bonn

in Bonn

in Bonn

in Bonn

in Bonn

in Bonn

100 Abbildungen, 1 Atlas von 20 Tafeln

100 Abbildungen, 1 Atlas von 20 Tafeln